

Ústav fyziky plazmatu AV ČR
Technická Univerzita Liberec FSV

TEPLOTNÍ STABILITA
PLAZMOVĚ DEPONOVANÝCH
MATERIÁLŮ

Dízertační práce

2001

Ing. Pavel ROHAN

Ústav fyziky plazmatu AV ČR
Oddělení materiálového inženýrství

Technická Univerzita Liberec FS
Katedra slévárenství a metalurgie

**TEPLOTNÍ STABILITA
PLAZMOVĚ DEPONOVANÝCH
MATERIÁLŮ**

UNIVERZITNÍ KNIHOVNA
TECHNICKÉ UNIVERZITY U LIBERCI



3146071308

DIZERTAČNÍ PRÁCE

Autor: Ing. Pavel ROHAN

(ÚFP AV ČR, TU Liberec)

Školitel: prof. Ing. Jaroslav EXNER, CSc.

(TU Liberec)

Školitel specialista: doc. Ing. Pavel CHRÁSKA, Dr. DrSc.
(ÚFP AV ČR)

2001

U356 S

OBSAH

Obsah	3
Úvod	4
1. Stručný přehled problematiky a dosavadních výsledků	5
1.1. Žárové stříkání, plazmové stříkání	5
1.2. Vybrané nástříkové materiály	9
1.2.1. Al_2O_3 (oxid hlinitý)	9
1.2.2. Čedič	13
1.2.3. Cordierit	15
1.2.4. Granáty	18
1.2.5. Mullit	21
1.2.6. Perovskit	23
1.2.7. Wollastonit	25
2. Cíle práce	28
3. Experimentální část	29
3.1. Použité materiály	29
3.1.1. Stříkací materiály	29
3.1.2. Podložky	31
3.2. Příprava vzorků	32
3.2.1. Plazmové stříkání	32
3.2.2. Dodatečné zpracování	32
3.2.3. Vzorky pro měření	33
3.3. Metody vyhodnocování	37
3.3.1. Diferenční termická analýza, popis zařízení	37
3.3.2. Termodilatometrie, popis zařízení	40
4. Výsledky a jejich diskuse	43
4.1.1. Al_2O_3	43
4.1.2. Čedič	48
4.1.3. Cordierit	50
4.1.4. Granáty	54
4.1.5. Mullit	57
4.1.6. Perovskit	61
4.1.7. Wollastonit	65
4.2. Shrnutí výsledků	70
5. Závěry	71
Literatura	74

ÚVOD

Použití technických materiálů je v praxi limitováno jejich schopností odolávat nepříznivým účinkům prostředí. Vzhledem k již značnému "vyčerpání" možností použití klasických materiálů s vlastnostmi homogenními v celém průřezu součásti je v dnešní době věnována značná pozornost způsobům, jak ovlivnit materiálové vlastnosti právě jen v kritických místech. Situace, kdy v převážné většině technických aplikací je tímto místem povrch součásti, dala vzniknout oboru nazývanému "povrchové inženýrství". Tento obor zkoumá povrchové úpravy, které zahrnují vytváření odolných povrchů změnou jeho původních vlastností (např. povrchové kalení), sycení povrchu součásti prvky reagujícími se základním materiálem (např. cementace, nitridace), popř. nanášení povrchových vrstev s vyšší odolností proti namáhání v provozu (navařování, nástřiky, plátování výbuchem, plátování válcováním, pokovování, PVD, CVD). Jednou z nenahraditelných technologií nanášení odolných vrstev je právě plazmové stříkání (PS), technologie využívající principu žárového nanášení. Vrstvy zhotovené touto technologií se osvědčují jako ochrana před účinky různých druhů namáhání (eroze, abraze, otěr, teplotní šoky, atd.), často za zvýšených a vyšších teplot. Provozní tepelné namáhání a změny teplot během technologického procesu omezují použití materiálů pro plazmové stříkání. Použitá technologie a materiál nástřiku jsou hlavní faktory ovlivňující výsledné vlastnosti naneseného povlaku či vrstvy.

Předmětem studia této práce byly povlaky a vrstvy vytvořené plazmovým stříkáním. Tyto povlaky a vrstvy vznikají z malých částic velmi rychlým ohřevem v proudu plazmatu s následujícím velmi rychlým ochlazením na podložce. Vzhledem k řadě nestabilních, nerovnovážných a velmi rychlých procesů probíhajících v malých částicích je nesnadné určit přesné složení budoucích povlaků či vrstev.

Nástříkové materiály, použité pro plazmové stříkání, byly buď na bázi silikátů nebo titanocitanů. Uvedené materiály se často používají v klasické keramice. Pro plazmové stříkání se však používají zřídka. Některé materiály uvedené v této práci byly pro plazmové stříkání použity dokonce poprvé, např. CaTiO₃, cedič nebo wollastonit. Technologie plazmového stříkání v porovnání s klasickou keramikou umožňuje vytvořit součásti a polotovary klasickými metodami nedosažitelné. Jedná se zejména o přesnost výrobku a poměr příčného rozměru výrobku k tloušťce stěny (vytváření tenkostenných výrobků).

Pro plazmové nanášení bylo použito hořáku s vodní stabilizací elektrického oblouku WSP 500 o výkonu 160 kW. Tento hořák má vyšší entalpii plazmatu než klasické plazmové hořáky s plynovou stabilizací oblouku a výrazně vyšší stříkací výkon. Rozdíl ve výkonech je zhruba desetinásobný.

Povlaky se tímto zařízením vytvářely na ocelových podložkách (substrátech). Patentovaným postupem se pak povlaky z podložek snímaly a takto získané vrstvy byly použity pro další měření.

Pro popis změn v plazmově nanesených vrstvách vyvolaných působením teplot bylo použito metod teplotní dilatometrie a DTA (diferenční termická analýza) doplněné RTG difracíemi a měřením hustoty. Údaje z dilatometrických měření byly použity pro určení teplotního součinitele lineární tepelné roztažnosti (např. ČSN EN821-1) a k indikaci postupu slinovacích pochodů nebo změn krystalografického uspořádání. Podobně jako DTA bylo měření teplotní roztažnosti použito i pro popis fázových transformací.

Znalost tepelného chování (teplotní stabilita, fázové transformace, fázové složení) a vlastnosti povlaků vytvořených plazmovým stříkáním jsou důležité pro průmyslové využití a další aplikace např. ve sklářském průmyslu, hutnictví, strojírenství apod. Pro toto použití má řada zkoumaných materiálů velmi dobré předpoklady. Ve formě povlaků jsou pak pro průmyslové využití rozhodující vztahy mezi kovovým substrátem a keramickým depozitem především za zvýšených teplot.

1. STRUČNÝ PŘEHLED PROBLEMATIKY A DOSAVADNÍCH VÝSLEDKŮ

1.1. ŽÁROVÉ STŘÍKÁNÍ, PLAZMOVÉ STŘÍKÁNÍ

Termín "žárové stříkání" označuje celou skupinu procesů, při kterých je většinou práškový materiál (at' kovový nebo nekovový) nataven a vzápěti s jistou kinetickou energií deponován na připravenou podložku. Jednotlivé natavené částice materiálu po dopadu na podložku ztuhnou a vytvoří vrstvu [1].

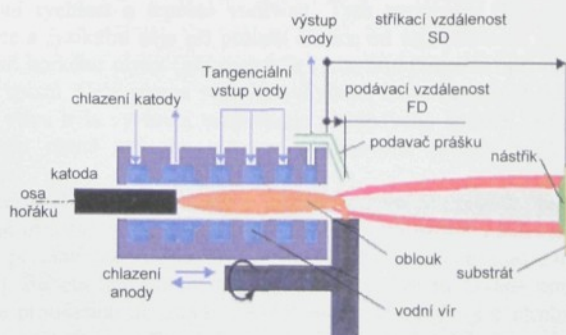
Jednotlivé technologie žárového stříkání (Tab. 1) se od sebe liší především podle zdroje tepelné a kinetické energie, která je předávána jednotlivým částečkám přídavného materiálu. Podle tohoto hlediska lze přijmout dělení do následujících skupin dle způsobu ohřevu.

- Proud spalin hořlavé látky s kyslíkem, detonační vlna
- Elektrický oblouk [2]
- Plazma stabilizované plynem nebo vodou
- Vysokofrekvenční plazma

V případě plazmového stříkání plazma vytékající vysokou rychlosí z plazmatronu nejen ohřívá, ale i dodává kinetickou energii částečkám přídavného materiálu. Ty do plazmového proudu dopravuje nosný plyn z podavače (vzduch, argon) za ústím trysky hořáku. Po urychlení a roztažení nebo jen natavení během průletu plazmatem dopadají částečky na povrch součásti, tuhnou a tvoří plazmový nástřik (Obr. 1).

Metoda	Teplota [°C]	Rychlosí dopadu [m.s ⁻¹]	Výkon [kg.g ⁻¹]
Plamen (prásek)	2200	30	7
Elektrický oblouk (drát)	5500	240	15
Plazma APS plyn	10-15 tis.	200	10
Plazma APS voda	28 tis.	100	30 – 100
Plazma VPS	10-15 tis.	240 – 600	10
HVOF	3000	600 – 1000	Do 15

Tabulka 1: Porovnání hlavních parametrů technologií žárového stříkání [3]. (APS-atmospheric plasma spraying, VPS-vacuum plasma spraying, HVOF high velocity oxy-fuel)



Obr. 1: Kapalinově stabilizovaný plazmatron (schéma) a základní geometrie procesu plazmového stříkání

Plazmově deponované materiály (PDM) jsou používány pro vrstvy měnící povrchové vlastnosti substrátů, většinou strojních součástí. Slouží jako tepelné bariéry, popř. zvyšují odolnost povrchu součásti proti abrazi a jiným škodlivým vlivům. Další možností jejich využití je výroba samonosných součástí a polotovarů pro použití například v chemickém průmyslu nebo při výrobě pecních zařízení apod.

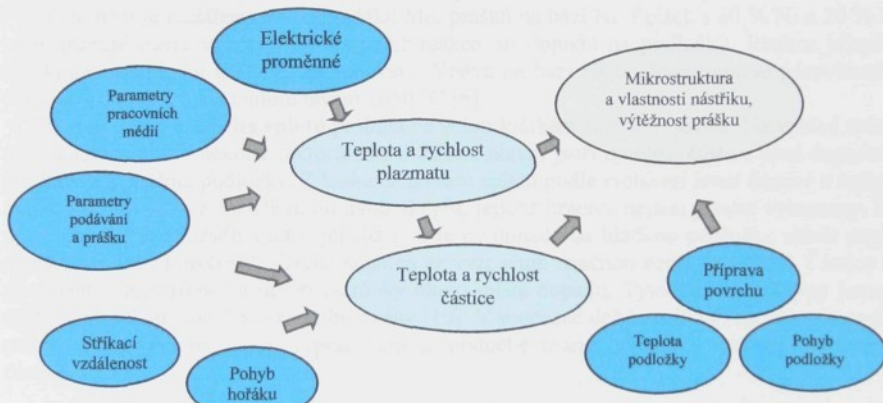
Procesy při plazmovém stříkání materiálů

K úspěšnému vytvoření plazmového nástřiku je třeba dodržet celou řadu parametrů, z nichž většinu nelze získat prostým výpočtem a při jejich matematickém modelování se lze potřebám technické praxe pouze přiblížit. Přesné stanovení stříkacích parametrů se stále pohybuje zčásti v empirické rovině a vnáší tak do tohoto technologického postupu značný podíl technického citu stříkacího personálu.

Soubor stříkacích parametrů lze rozdělit do skupin např. podle [1] na parametry týkající se:

- ohřevu a urychlení přídavného materiálu
- přídavného materiálu.
- vlastního substrátu pro nástřik

Schematické rozdělení parametrů stříkání je uvedeno na Obr. 2.



Obr. 2: Schéma parametrů při žárovém stříkání [4]

Horké medium (plazma, spaliny hořlavých látek) charakterizuje tepelný obsah, složení, teplota, výstupní rychlosť a tepelná vodivost. Tyto parametry řídí natavování, urychlení, chemické reakce a fyzikální děje při průletu čästice od ústí podávací trubičky do dopadu na podložku. Proud horkého plynu (plazmatu) je i hlavním činitelem při ohřevu substrátu nebo již utvořených splatů. Celý proces stříkání ovlivňuje, často negativně, okolní atmosféru. Pro snížení tohoto vlivu byla vyvinuta technologie plazmového stříkání (PS) při sníženém tlaku (VPS) [5], nebo různé způsoby ochrany plazmového proudu před mísením s okolní atmosférou [6].

Přídavný materiál pro technologii žárového stříkání je dodáván ve formě prášku, drátu případně plněné trubičky [7]. Omezení pro materiály, použitelné pro technologii PS, nejsou nijak přísná. V podstatě lze nanášet látky, které se během průletu plazmatem nerozkládají ani nesublimují [1]. Během letu proudem plazmatu je čästice vystavena intenzivnímu působení prostředí rychle proudícího plazmatu. Čästice, které se pohybují centrální částí proudu, jsou plně nataveny a přehřány, u některých dojde i k odpaření. Větší čästice, nebo ty, které jsou unášeny obálkou plazmatu, jsou nataveny jen zčásti anebo vůbec [8]. Na hmotnosti a velikosti čästice také závisí rychlosť, kterou získá urychlením plazmatem. Čästice se po vstupu

do plazmatu pohybuje nižší rychlosti než plazma, aby pak, při letu v již zpomalené části jetu, "předháněla" plazma [9]. Po kolmém dopadu na substrát tuhne, vytváří tzv. "splat" [10] a stává se tak základním stavebním kamenem nástřiku. Kromě parametrů na Obr. 2 ovlivňuje výslednou architekturu nástřiku ještě např. úhel stříkání [11].

Příprava **povrchu podložky** pro stříkání je přízpůsobena následnému využití nastříkané vrstvy. Ve většině případů se nástřik stává prvkem měničím vlastnosti povrchu součásti, v poslední době se však uplatňují i aplikace stříkaných vrstev samostatně, sejmouté ze substrátu. Jedná se zejména o součásti keramické, zhotovené plazmovým stříkáním [12], [13].

V obou případech vyžaduje substrát pečlivou úpravu povrchu před nanesením nástřiku. Pro zajištění co nejlepší přilnavosti musí být povrch zbaven nečistot, odmaštěn a zdrsněn otryskáním, případně jinou metodou (např. soustružením). Jako tryskací medium je v současné době používán korund, ale i ocelová a litinová drť, karbid křemíku, křemenný písek a další [14]. V praxi převažuje použití umělého korundu, jehož výhody jsou například nízká spotřeba, ostrohrannost rozbítých částic, neulpívání prachových částic na substrátu, netvoření korozních produktů na povrchu součásti a nejvyšší hodnoty přilnavosti povlaku [14]. Tryskáním je ovlivněna i podpovrchová vrstvička materiálu, a to až do hloubky 400 µm [15]. K metodám přípravy povrchu lze také počítat i nanesení vazné mezivrstvy, která se používá např. při nanášení keramických povlaků s koeficientem teplotní roztažnosti rozdílným než má substrát. Pro tento účel je rozšířeno použití prášku Mo, prášků na bázi Ni. Prášek s 80 % Ni a 20 % Al se vyznačuje navíc vývinem exotermické reakce při dopadu na podložku. Reakce přispívá k dokonalému ulpění nástřiku na substrátu. Vrstva na bázi NiAl vyniká malou póravitostí a plynopropustností a má teplotu tavení 1650 °C [6].

Tuhnutí částic a **tvorba splátů** probíhá ve velmi krátkém časovém úseku. Na vzhled splatu po ztuhnutí má vliv několik faktorů, z nichž mezi hlavní patří rychlosť částice před dopadem, její teplota a teplota podložky. Z hodnocení tvaru splátů podle rychlosťi leticí částice a teploty podložky [1] vyplývá rozdělení do dvou skupin, jejichž hranice nejsou přesně vymezeny. Do první skupiny lze zařadit splaty, jejichž tvar je po dopadu na hladkou podložku téměř pravidelně kruhový, „koláčový“. Druhá skupina se vyznačuje značnou nepravidelností. Částice se po dopadu „rozstříkne“ a utvoří ostrůvky okolo místa dopadu. Tyto dva hlavní typy konečných tvarů splátů jsou často zkombinovány [10]. V současné době probíhají na řadě pracovišť práce na modelování, resp. vypracování jednoduché teorie dopadu a následného tuhnutí částice.

Plazma a jeho generování, využití pro depozici materiálů

Plazma jako čtvrté skupenství hmoty je složeno z jednotlivých disociovaných molekul a ionizovaných atomů. K disociaci molekuly dochází v situaci, kdy je nárazová energie molekul větší než vazební energie a molekula se rozštěpi. Plazma může být generováno několika různými způsoby. Pro depozici materiálů na povrch součásti se v průmyslu používá nejčastěji tří základních uspořádání: tzv. doutnavého výboje pro PVD procesy, proudicího plazmatu při plazmovém stříkání nebo plazmatu při metalurgickém navářování [16].

Při plazmovém stříkání lze plazma stabilizovat plymem či vodou. Většina hořáků komerčně využívaných pro žárové nástříky plazmatem pracuje na principu plynové stabilizace (Ar, Ar-He). Tyto hořáky dosahují teplot okolo 15000 °C a jsou schopny deponovat 6 - 10 kg materiálu za hodinu. Dlouhodobý výzkum v ÚFP AV ČR v oblasti vodou stabilizovaného plazmatu umožnil uvést plazmatron s vodní stabilizací do stadia, kdy jej lze využívat pro nástříky širokého spektra materiálů. Mnohé z těchto materiálů jsou pro žárové stříkání klasickými způsoby použitelné jen za velmi specifických podmínek či vůbec. Jedná se zejména o materiály na keramické bázi typu silikátů, titaničitanů, popř. korundu, dále pak horniny a minerály tvořené soustavami oxidů.

druh oblouku	výhody	nevýhody
Kapalinou stabilizovaný oblouk (WSP)	<ul style="list-style-type: none"> • Vysoký výkon, vysoká hustota energie • Vysoká <i>velikost</i> natavení prášku (kg/kW.h) • Laciná a snadná manipulace s vodou • Systém s jedním mediem • Přítomnost atomického H a O v plazmatu • Možnost použití méně kvalitních prášků. 	<ul style="list-style-type: none"> • Složitá mechanická konstrukce • Složité zapalování • Eroze elektrod => <ul style="list-style-type: none"> - přerušení procesu - možnost znečištění nástřiku • nižší stabilita hoření zapříčiněná pohybem elektrody a vodního víru • nižší účinnost
Plynem stabilizovaný oblouk (APS, VPS)	<ul style="list-style-type: none"> • jednoduchá mechanická konstrukce • jednoduché zapalování • dlouhá životnost elektrod • vyšší účinnost 	<ul style="list-style-type: none"> • dražé plazmové plyny • systém dvou médií (chlazení a stabilizace) • nízký výkon odtavení (kg/kW.h) • vysoká kvalita prášků pro depozici

Tabulka 2: Porovnání základních vlastností hořáků s plynovou a kapalinovou stabilizací [17]

Z údajů uvedených v Tab. 1 a 2 vyplývá vhodnost využití jednotlivých systémů v určitých oblastech.

Kapalinou stabilizovaný hořák: pro výrobu tlustých vrstev, depozici na velké plochy a výrobu samonosných prvků.

Plynem stabilizovaný hořák: pro vysoce kvalitní malé povrchy, použití speciálních nebo drahých prášků

Plazmatron WSP® PAL160

Žárově nastříkané materiály, které jsou předmětem této práce, byly ve většině případů zhotoveny pomocí unikátního plazmatronu s Gerdienovým obloukem [18]. Elektrický oblouk stabilizovaný vodním výrem byl poprvé popsán před více než 70 lety pracovníky fý Siemens (Gerdien, Lotz) [19]. Experimentální výzkum byl prováděn v 50. letech, kdy byly popsány základní elektrické veličiny a zkoumán vliv délky a průměru stabilizačního kanálu oblouku [20], [21]. První použití oblouku s kapalinovou stabilizací pro plazmové stříkání bylo popsáno v roce 1962 [22]. V roce 1968 byl vodou stabilizovaný oblouk použit pro plazmové stříkání a řezání [23].

Vlastní hořák (Obr. 1) stabilizovaný vodou se skládá z tělesa hořáku s komorou, do které je v tangenciálním směru vháněna pod tlakem voda tvorící vodní vír. Uprostřed kanálu utvořeného vířící vodou hoří elektrický oblouk mezi uhlíkovou katodou a rotační, ocelovou nebo měděnou anodou. Oblouk je od stěn komory izolován parní vrstvou a vodou. Přetlak vznikající intenzivním vypařováním v obloukové komoře vypuzuje plazma výstupní tryskou. V podávací vzdálenosti je do proudu plazmatu proudem nosného plynu (Ar, vzduch) přiváděn přídavný materiál ve formě prášku. Ten je v proudu plazmatu nataven, urychlen a po dopadu tvoří na substrátu vrstvu složenou ze splatů, nástřik.

1.2. VYBRANÉ NÁSTŘIKOVÉ MATERIÁLY

V dalších kapitolách jsou popsány některé vybrané materiály. Jejich volba nebyla náhodná. Oxid hliníku (alumina) je nejčastěji používaný materiál pro WSP® pro svou dostupnost a nízkou cenu. Na pracovišti existuje velké množství dokumentace o Al_2O_3 a tento materiál slouží často jako referenční. Vzhledem k výhodám WSP je výzkum v ÚFP zaměřen na netradiční materiály s nízkou cenou, dobře dostupné, jejichž vybrané vlastnosti by mohly nahradit některé drahé materiály (např ZrO_2 , apod.). Systematická pozornost je věnována již několik let skupině silikátů a dále začíná výzkum v oblasti perovskitů.

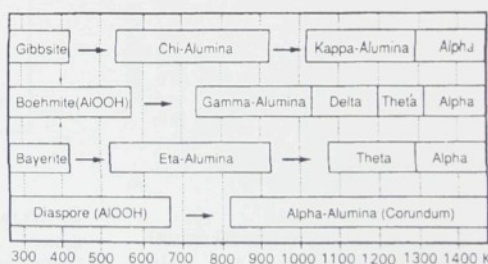
1.2.1. Al_2O_3 (oxid hlinity)

Al_2O_3 je materiál vyráběný převážně synteticky, ale vyskytuje se i v přírodě. V přírodě se vyskytuje jako minerál korund (tj. α - Al_2O_3). Surovinou pro výrobu čistého oxidu hlinitého jsou bauxity, směsi hydroxidů hlinitých s podílem jednotlivých složek podle lokality a znečištění zejména SiO_2 , TiO_2 a Fe_2O_3 . Výrobní postup se nazývá Bayerův a spočívá v louhování bauxitu horkým roztokem $NaOH$, ochlazení se vznikem hlinitanu sodného a kalcinaci při asi 1200 °C. Kalcinaci se převede surovina na α - Al_2O_3 . Na teplotě kalcinace závisí i vlastnosti různých druhů Al_2O_3 a s jejím zvyšováním se snižuje rozptyl vlastností výrobku. Pro vysokoteplotní aplikace se používá zpracování na teploty blížící se 2000 °C. Tento postup poskytuje Al_2O_3 s obsahem nečistot obvykle několik desetin procenta Na_2O , pod 0,1 % SiO_2 a ostatní netěkavé nečistoty do 0,03 % [24].

Podle starších pramenů vzniká dehydratací hydroxidů modifikace γ - Al_2O_3 , která je kubická a má hustotu 3,5 až 3,6 g·cm⁻³. Při 1100 °C až 1200 °C přechází v trigonální α - Al_2O_3 o hustotě 4,0 g·cm⁻³, který je stálý od normální teploty až po teplotu tání (2054 ± 6 °C). Zpětný přechod na γ - Al_2O_3 nenastává, γ - Al_2O_3 je metastabilní fází v celém rozsahu teplot. Z taveniny se tvoří jen při velmi rychlém přechlazení, jinak vzniká přímo α - Al_2O_3 .

Sled přeměn po odvodnění hydroxidů je však složitější a tzv. γ - Al_2O_3 představuje vlastně početnou skupinu strukturálně příbuzných forem. V zásadě je možno tyto modifikace rozdělit do dvou skupin. První zahrnuje η , χ , γ - Al_2O_3 . Tyto formy vznikají při nízkých teplotách (250 - 500 °C) a obsahují určité množství vody (až 2 %) nebo jiných stabilizujících látek. Modifikace δ , θ - Al_2O_3 se tvoří při 800 až 1000 °C a obsahují pouze nepatrné množství stabilizujících příměsí [24], [25]. Z praktických důvodů lze tuto skupinu nazývat γ - Al_2O_3 [24]. Ucelený pohled na transformace základních surovin podává schéma na Obr. 3 a Obr. 4 [25]. V této práci [25] jsou také uvedena hlavní krystalografická data jednotlivých modifikací Al_2O_3 . Produkty vznikající během těchto přeměn mohou mít trojrozměrnou podobnost svých struktur. Tento jev se nazývá *topotaxe* a jeho důsledkem je zachování vnějšího tvaru, který se pak nazývá *pseudomorfni*.

Výpalem velmi čistého Al_2O_3 lze získat keramiku s hustotou blížící se teoretické. Její světlá propustnost je 90 až 94 %. [26], [27]. Snaha o zvýšení hustoty a stejnoměrnosti zrna a tím i lepších vlastností spákané keramiky vede k hledání nových principů, spočívajících



Obr. 3: Transformace výchozích materiálů pro Al_2O_3 [25]

např. ve změnách v tepelném zpracování [28], nebo ve zpracování prášků o velikosti zrna cca 10 - 20 nm [29].

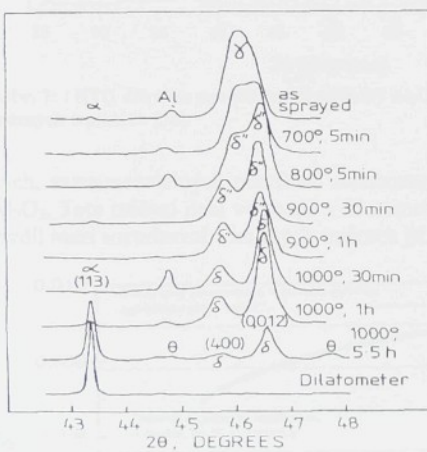
Zpracováním velmi jemné suroviny o velikosti zrn nejvýše 0,3 μm při hustotě za syrova minimálně 58 %, lze dokonale slinutou korundovou keramiku získat již při výpalu na 1450 °C. Stručný přehled vlastností korundové keramiky je uveden v Tab.3.

Obsah Al_2O_3 [% hm]	85 - 95	nad 95	99,5
Objemová hmotnost [g . cm^{-3}]	2.6-3.3	2.6-3.3	3.98
Stř. souč. teplotní. délka. rozt. [$\text{K}^{-1}\cdot 10^{-6}$]	5-6	5-6	5-6
Tepelná vodivost [$\text{WK}^{-1}\text{m}^{-1}$]	2,3-17,5	4,6-16,3	-
Žáruvzdornost [°C]	1790	1850	

Tabulka 3: Vlastnosti slinuté korundové keramiky [26]

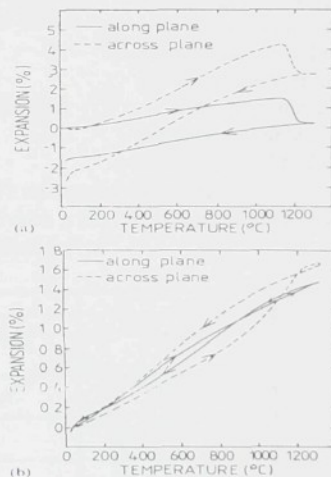
Plazmový nástřik Al_2O_3 . Průchod plazmovým proudem a děje při utváření stříkané vrstvy jsou natolik intenzivní a rychlé, že v deponovaném Al_2O_3 lze nalézt všechny jeho modifikace. Tato situace komplikuje přímé nasazení nástřiku při teplotách nad přibližně 1100 °C. Poměry při tuhnutí splátů a jejich další ovlivnění ohřevem nebo dopadem bylo popsáno v pracích [30],

INTENSITY, ARBIT UNITS



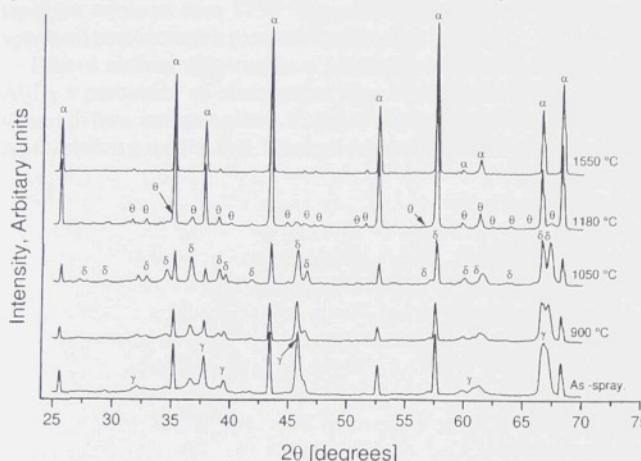
Obr. 5: Tepelné zpracování stříkaného γ - Al_2O_3 na vzduchu při různých teplotách a časech. Vzorek z dilatometru byl ohříván rychlosťí 5 K.min⁻¹ na 1300°C v Ar a ochlazován stejnou rychlosťí [33]

[31], [32], [33], [34], [35]. Jednotlivé splaty tuhnou podle toho, zda je v nich obsažen zbytek alfa modifikace, či nikoliv. Jestliže je splat při průletu plazmatem dokonale roztaven, tuhne přednostně na gama modifikaci. Je-li ovšem splat nataven pouze zášti, at' už vlivem letu po okraji plazmatu, či například díky velikosti částice, působí zbytek alfa modifikace jako nukleační zárodek pro další solidifikaci splatu na α - Al_2O_3 [32]. Takové tuhnutí nastává obvykle také tehdy, když je splat silnější než 10 μm a podložka je předebehřátá na více než 1000 °C, nebo když je splat silnější než 20 μm na chladné podložce [30]. Částice α - Al_2O_3 jsou v tomto případě na příčném řezu nástříkem viditelné jako pravidelně okrouhlé, což potvrzuje, že při dopadu na podložku nebyly dostatečně protaveny. V práci [33] jsou publikovány poznatky o tvorbě nástříku s převažujícím obsahem α - Al_2O_3 , resp. γ - Al_2O_3 .



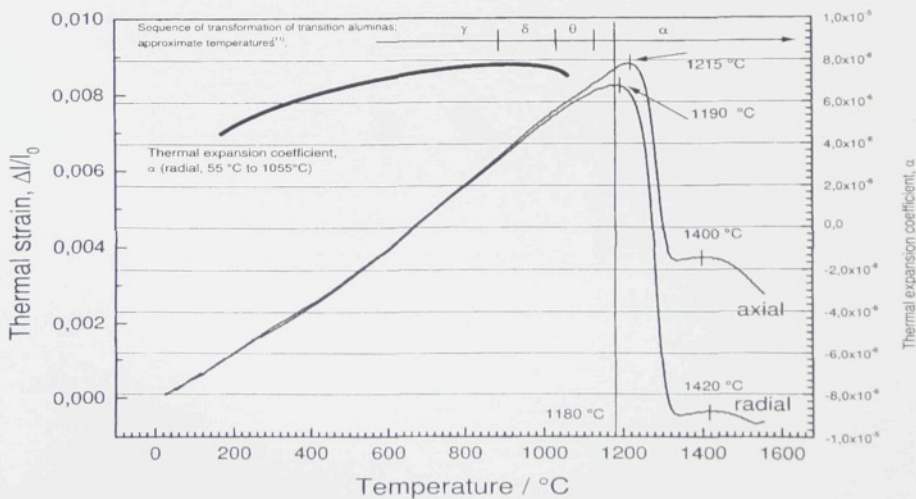
Obr. 4: Dilatometrická měření (a) – γ - Al_2O_3 , (b) - α - Al_2O_3 rovnoběžně a kolmo k rovině nástříku [33]

U obou těchto dvou typů nástřiku byly měřeny teplotní roztažnosti kolmo a ve směru stříkání (Obr. 5) [34]. Ve strukturách nástřiku byla také identifikována fáze δ - Al_2O_3 , která vzniká pouze při dodatečném ohřevu fáze γ - Al_2O_3 nad teploty 900 °C, po proběhnutém ztuhnutí splatu. [30]. Metastabilní fáze γ - Al_2O_3 transformuje na α - Al_2O_3 a δ - Al_2O_3 dle vývoje difraktogramu z (Obr. 4) [33], případně (Obr. 6) [34]. V [30] je dále podrobně popsána metastabilita komponent nástřiku Al_2O_3 , jejich formování z taveniny, dále děje při dopadu částice na podložku, tvorba α - Al_2O_3 a tvorba δ - Al_2O_3 . Přednostní ztuhnutí na γ - Al_2O_3 je teoreticky zpracováno a odůvodněno v [31], a to na základě teorie homogenní nukleace kryštalačních zdrojů.



Obr. 7: : RTG difrakce pro plazmově stříkaný Al_2O_3 žíhaný 12 hod při různých teplotách [34].

kých, zaznamenatelných například dilatometrií (Obr. 7) na vzorku obsahujícím převážně γ - Al_2O_3 . Toto měření není ve shodě s dilatometrickou křivkou z Obr. 5, kde se projevil značný rozdíl mezi roztažností v kolmých směrech již od nejnižších teplot.



Obr. 6: Dilatometrie plazmově stříkaného Al_2O_3 při rychlosti ohrevu 5 K.min⁻¹ na vzorcích odebraných z válcového nástřiku [34].

Nástríky Al_2O_3 se pro svou dostatečnou tvrdost a přilnavost používají k ochraně kovových součástí před opotřebením abrazi. Plazmovým nástríkem plynem i vodou stabilizovaným hořákem lze deponovat jak čistý, tak technický Al_2O_3 s přídavkem TiO_2 . Čistý Al_2O_3 má lepší tepelnou odolnost (cca 1750 °C) než technický (cca 1500 °C). Oba typy lze pak použít na vytváření samonosných plazmově stříkaných prvků.

Fázové složení slinovaného a plazmově stříkaného Al_2O_3 a vyšší póravitost nastříkaného Al_2O_3 v porovnání se slinovaným jsou základní rozdíly mezi keramikou Al_2O_3 zhotovenou těmito dvěma technologiemi. Zatímco slinutá keramika obsahuje pouze α - Al_2O_3 , je nástrík Al_2O_3 složen z mnoha fází, které při tepelné expozici prodělávají transformace.

1.2.2. Čedič

Basalt (čedič) je vyvřelá hornina černošedé až černé barvy. Čediče jsou třetihorního stáří a vznikly utuhnutím gabrového magmatu na zemském povrchu. Z mineralogického hlediska jsou jejich podstatnou součástí plagioklasy (labradorit až anortit) a tmavé součásti – augit, čedičový amfibol a popř. olivín (olivnický čedič) [36].

Čedič vyniká mimořádnou odolností proti otěru (4násobná až 10násobná ve srovnání s ocelí při použití pro transport sypkých látek [24]), má vysokou chemickou odolnost (kromě kyseliny fluorovodíkové). Vyznačuje se též vysokou pevností v tlaku (přes 300 MPa) a tvrdostí. Jako další výhodné vlastnosti lze uvést také nízkou nasákovost, mrazuvzdornost, ekologickou a hygienickou nezávadnost [37]. Některé další vlastnosti jsou uvedeny v Tab. 4.

Čedič je výborným stavebním materiálem používaným již dlouhou dobu pro svou vysokou tvrdost a odolnost vůči povětrnostním vlivům. Čedič začíná tát při cca 1250 °C. První snahy o použití taveného čediče byly zaznamenány ve Francii asi před 50ti lety. Výrobky však byly velmi křehké a trpěly občasným samovolným praskáním [38].

Výroba taveného čediče probíhá podobně jako u ostatních slévárenských technologií natavením materiálu v peci při 1350 - 1400 °C a odlitím do pískové formy nebo kovové kokily. Vzhledem k velké strmosti viskozitní křívky nelze použít běžných sklářských postupů tvarování [24]. Trubky lze vyrábět metodou odstředivého lití. Při výrobě rekrytalizovaného čediče jsou výrobky podrobny přesnému tepelnému zpracování, při kterém dochází k rekrytalizaci na pravidelnou jemnozrnou strukturu s nízkou hladinou zbytkových pnutí [38]. Pro výrobu přesných a tvarově složitých součástí byla vyvinuta výroba slinutého čediče. Prášek taveného čediče se mísí s plastifikátorem a lisuje se. Výrobky se slinují v elektrické peci při 1120 – 1140 °C. Nejvhodnější chemické složení čedičové horniny je v [24] udáváno dle Tab. 5. Při nižším obsahu SiO₂ krystalizují čediče rychle a hrubožrně, při vyšším pomalu a nerovnoměrně v celém průřezu. Jako primární se zpravidla vylučují krystaly magnetitu Fe₃O₄, působící zároveň jako krystalizační zárodky [38].

Maximální pracovní teplota pro rekrytalizovaný čedič je 450 °C. Odolnost proti teplotním šokům je v [38] deklarována v rozsahu do 100 °C změny teploty bez vzniku trhlin.

		tavený čedič [37]	rekrytalizovaný čedič [38]
Pevnost (MPa)	V tlaku	300 až 400 (DIN51067)	≈ 460 minimum (4500 kg/cm ²) ≈ 560 průměrně (5500 kg/cm ²)
	V ohybu	45 (ČSN-EN 102)	≈ 40 minimum ≈ 46 průměrně
	V tahu	-	≈ 28 minimum ≈ 36 průměrně
Dovolená pracovní teplota [°C]		Max 450	450
Střední. součinitel lineární tepelné roztažnosti [10 ⁻⁶ K ⁻¹]		0 - 400 °C 9,0. 0 - 100 °C 8,0 (EN103)	7,5 - 8,0
Tepelná vodivost [W.m ⁻¹ K ⁻¹]		1,9 - 2,2 (ČSN-EN993-14)	-
Nasákovost		0 % (DIN 51056)	Do 0,15 % hmotnosti
Tvrdost (Mohsova stupnice)		min. 8. stupeň	-

Tabulka 4: Vybrané vlastnosti tavených a rekrytalizovaných čedičů

Tavený čedič je za studena prakticky stálý v prostředí zásad a solí. Nerozrušuje jej ani nejsilnější anorganické kyseliny mimo kyselinu fluorovodíkovou. Podle ISO 8890 je

- Kyselinovzdornost 90 % [37].
- Louhovzdornost 98 % [37].

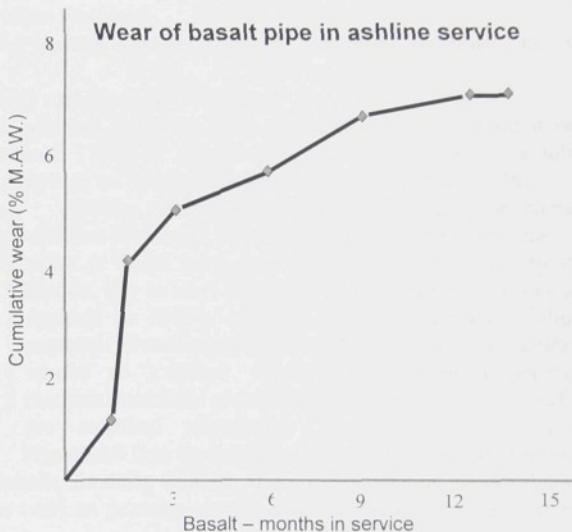
Optimální složení čedičové horniny

	SiO ₂	Al ₂ O ₃	Fe ₂ O ₃	FeO	MgO	CaO	TiO ₂	Na ₂ O+K ₂ O
Obsah[Hm. %]	43,5-47	11 – 13	4 - 7	5 – 8	8 – 11	10 – 12	2 – 3,5	3 – 5,5

Tabulka 5: Doporučené složení pro tavený čedič [24]

Hustota odstředivé litého čediče se pohybuje mezi 2,854 až 2,926 g.cm⁻³ k obvodu v radiálním směru. Gradient vlastnosti takto vyrobených výrobků se projevil i na diagramu opotřebení potrubí na Obr. 8. Opotřebení strmě narůstalo během prvních 3 měsíčních kontrol, aby pak, po opotřebení méně hustých vrstev, postupovalo jen mírně. Katalogová hodnota hustoty čediče dodávaného od fy Eutit je 2,9 – 3,0 g.cm⁻³.

Čedič je vyráběn ve formě dlaždic, trubek, nebo půlkruhových segmentů. Dlaždice se vyrábějí v tloušťce 32 mm, pro případy velmi těžkého namáhání až 75 mm. Odstředivé lité trubky mají sílu stěny 19 mm.



Obr. 8: Opotřebení čedičového potrubí pro doružování popílku [38]

Materiál	Otěruvzdornost
Surový čedič	730-909
Litý čedič, amorfní	757-806
Litý čedič, krytalizovaný	1587-2700
Sintrováný čedič	2222-2940
Tabulové sklo, mechanicky tažené	609
Optické sklo	299-735
Spec. tvrdé sklo	892
Kamenina	862
Tvrzý porcelán	1369
Sintrováný korund	5000

Tabulka 6: Porovnání odolnosti opotřebení některých nekovových materiálů. Měření otěruvzdornosti při zatížení 4,5 kg, moký brusný papír No.60, dráha 500 mm, rychlosť 48 m.min⁻¹[38]

Obklady a čedičová potrubí se s úspěchem využívají tam, kde dochází zároveň ke korozivnímu a erozivnímu opotřebení. Například v potrubí pro vedení popílku, maltových nebo jiných směsí [38]. Porovnání některých materiálů z hlediska odolnosti opotřebení je uvedeno v Tab. 6.

Materiál typu čediče nebyl podle dostupných literárních pramenů dosud plazmově stříkán na jiných pracovištích než v ÚFP.

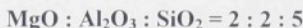
1.2.3. Cordierit

Tento minerál se nazývá po francouzském geologovi P. L. Cordierovi (1777-1867). Příbuzným minerálem se stejným chemickým složením je iolit. Další známý název je dichroit. Pro ozdobnou formu tohoto minerálu se díky jeho jasně modré barvě také používá název "vodní safír" [36].

Cordierit je minerálem skupiny $MgO \cdot Al_2O_3 \cdot SiO_2$. V přírodě se vyskytuje v blízkosti křemene, andaluzitu, sillmanitu, biotitu, spinelu, případně korundu.

V soustavě $MgO \cdot Al_2O_3 \cdot SiO_2$ zaujímá cordieritová keramika v ternárním diagramu místo dle Obr. 9 [24] a tvoří spolu se steatitovou a forsteritovou keramikou hlavní technicky využívané komponenty této soustavy. Kromě dobré elektrické izolační schopnosti mají keramiky tohoto systému další zvláštní vlastnosti.

V průmyslu se běžně používá keramika na bázi tohoto ternárního systému (Obr. 9) v poměru



a to pro svou vysokou tepelnou odolnost, odolnost proti tepelným šokům a velmi nízký koeficient lineární teplotní roztažnosti (Tab. 7). Vyrábí se v různých čistotách a z toho vyplývá barva keramiky, která se pohybuje od bílé po žlutohnědou až tmavě hnědou [26].

Interval teploty / °C	TEC [K ⁻¹]
20-100	$0,80 \cdot 10^{-6}$
20-200	$1,24 \cdot 10^{-6}$
20-400	$1,56 \cdot 10^{-6}$
20-600	$1,88 \cdot 10^{-6}$
20-800	$2,10 \cdot 10^{-6}$

Tabulka 7: Součinitel střední délkové roztažnosti

Výrobky sintrované cordieritové keramiky se tvarují většinou lisováním, případně tažením. Vypalovací interval teplot je velmi úzký, protože se pohybuje blízko teploty liquidu, kde se tvoří velké množství taveniny. Výrobky se vypalují na 1300 - 1430 °C. Může dojít i k lokálnímu natavení vlivem nepatrného rozdílu teploty. V keramické výrobě se k úpravě vypalovacích vlastností používá různých kombinací surovin, nebo se přidává živec či ZrO_2 pro rozšíření slinovacího intervalu. Kromě hlavní

kristalické fáze cordieritu mohou být v keramice přítomny i další, např. mullit, spinel, cristobalit, forsterit, enstatit. Vhodným složením lze dosáhnout samoglazovatelnosti, jevu, kdy se tvoří na povrchu glazura z vlastní taveniny, vytěsněné na povrch.

Slinutá cordieritová keramika se používá na mechanicky namáhané součásti v elektrotechnice, případně na topné desky, nosiče topných spirál atp. Výrobky z cordieritové keramiky byly také známy pod označením Pyrostat, případně Pyroceram (code 9606) [39].

Cordierit krystalizuje v rhombické, pseudohexagonální soustavě, má hustotu $2,53 \text{ g.cm}^{-3}$, teplotu tání $1470 \text{ }^{\circ}\text{C}$ ($1471 \text{ }^{\circ}\text{C}$ dle [40]) a střední koeficient lineární teplotní roztažnosti $\alpha = 2,6 \cdot 10^{-6} \text{ K}^{-1}$ v teplotním rozsahu $25 - 700 \text{ }^{\circ}\text{C}$. Podle [39] je $\alpha = 4,72 \cdot 10^{-6} \text{ K}^{-1}$ pro $25 - 870 \text{ }^{\circ}\text{C}$. Teplota měknutí cordieritu je $1000 - 1370 \text{ }^{\circ}\text{C}$ a maximální pracovní teplota $700 - 800 \text{ }^{\circ}\text{C}$ [24].

Modifikace α je rhombická a vyznačuje se záporným koeficientem α ve směru osy c při teplotách do $200 \text{ }^{\circ}\text{C}$. Chemické složení synteticky připraveného cordieritu se může pohybovat v rozmezí poměru 2:2:5 až 2:1:10. Podle obsahu SiO_2 ve vsázce se mění složení základní krystalické fáze. S rostoucím obsahem SiO_2 v krystalech roste také teplotní roztažnost.

Cordierit je také stěžejní krystalickou fází při přípravě skeletně krystalických materiálů [39] podle ternárního diagramu systému z Obr. 9. Polykrystalické materiály na bázi tohoto systému mohou obsahovat další stabilní krystalické fáze jako enstatit ($MgO \cdot SiO_2$), forsterit ($2 \text{ MgO} \cdot SiO_2$), spinel ($MgO \cdot Al_2O_3$), mullit ($3SiO_2 \cdot 2Al_2O_3$) aj. Z metastabilních krystalických fází se při krystalizaci těchto materiálů uplatňují především pevné roztoky β -křemene, Mg-petalitu, případně Mg-osumilitu. Pevné roztoky β -křemene jsou natěsnané

struktury β -kremene, vznikající substitucí $2\text{Si}^{4+} \leftrightarrow \text{Mg}^{2+} + 2\text{Al}^{3+}$, označované ve starší literatuře jako μ -cordierit. Pro výchozí složení skel kolem 70 – 75 % hmot. SiO_2 a vyšších teplotách krystalizace vznikají anomální pevné roztoky kremene, které si na rozdíl od metastabilních neuchovávají vysokoteplotní strukturu při ochlazení na pokojovou teplotu [39].

Pro zajištění objemové krystalizace se používají nukleátoru TiO_2 , ZrO_2 , nebo jejich směsi. Vybrané vlastnosti některých skelně krystalických materiálů s hlavní složkou cordieritem jsou uvedeny v [39]. Jedná se o materiály tepelně zpracované, s přídavkem TiO_2 , případně Li_2O , obsahující mimo cordieritu rutil, cristobalit a fází $\text{MgO} \cdot 2\text{TiO}_2$. Tyto materiály se vyznačují nízkým koeficientem $\alpha_{20-300^\circ\text{C}}$ pohybujícím se mezi hodnotami 1,41 až $2,15 \cdot 10^{-6}\text{ K}^{-1}$ pro obsahy SiO_2 do 50 %. Materiál s 58,1 % SiO_2 má $\alpha_{20-300^\circ\text{C}} = 6,33 \cdot 10^{-6}\text{ K}^{-1}$.

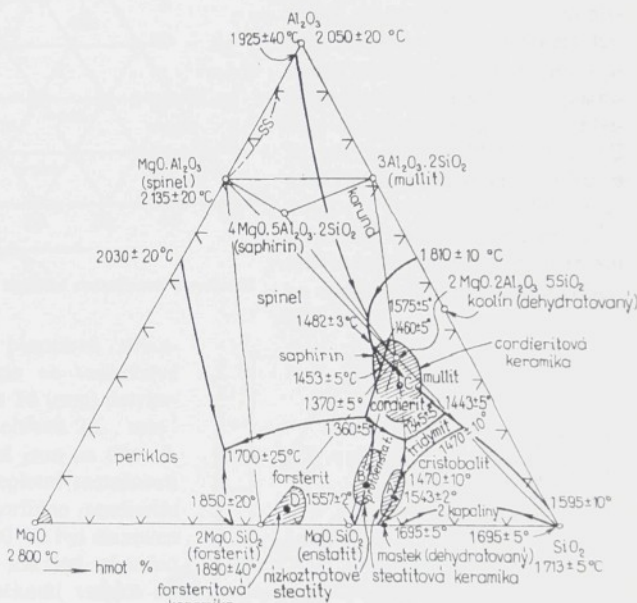
Tepelně zbarvené

děje v cordieritu. Krystallizace amorfního cordieritu probíhá při teplotách, které závisí na chemickém složení [41]. Vzorky v práci [41] obsahovaly přídavek cca 1,5 % CaO ; 7; 8,2; 5,3; 10,28 % TiO_2 a základní složky v množství blízkém stechiometrickému poměru. Vzorky cordieritu byly vyrobeny z roztavených homogenizovaných surovin držením, mísením a spékáním. Krystallizace byla zjištěována termální analýzou a pro vzorek s obsahem 1,7 % CaO činí $1028,09^\circ\text{C}$. Je však nutné poznamenat, že se jedná o teplotu „maximum crystallization“, což je vrchol píku na křivce DTA, nikoliv počátek krystalizace. Nejnižší teplotu vrcholu píku prokázal vzorek s nejvíce (10,28 % TiO_2 a 1,48 % CaO) % TiO_2 a to $974,84^\circ\text{C}$. TiO_2 působí jako krystalizační zárodky.

Dilatometrické chování: termodilatometrickým měřením byly stanoveny významné teploty amorfního cordieritu [41] a koeficienty α . Transformační teplota a teplota měknutí se pohybovaly v rozmezí 682 až 728°C resp. 707 až 766°C . Teplotní roztažnost byla stanovena mezi $3,6$ a $5,0 \cdot 10^{-6}\text{ K}^{-1}$ pro teploty 20 až 300°C .

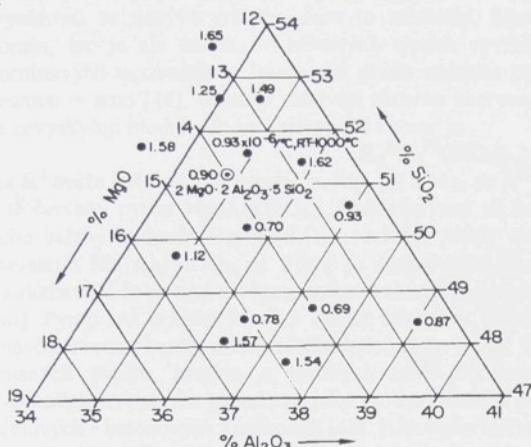
U částečně krystalického cordieritu se v rozsahu do 300°C projevila záporná hodnota α , která byla stanovena do 800°C při rychlosti ohřevu $5\text{ K} \cdot \text{min}^{-1}$ [41]. Závislost koeficientu α na chemickém složení je na Obr. 10 [43].

Fázové složení bylo stanoveno RTG difraccí. Bylo zjištěno, že přídavek nukleačních pří-sad (TiO_2 , CeO) způsobil snížení krystalizační teploty a snížením aktivační energie zvýšil poměr krystalického cordieritu k amorfnímu [41].



Obr. 9: Fázový diagram soustavy $\text{MgO}-\text{Al}_2\text{O}_3-\text{SiO}_2$ (podle Kingreyho)

Plazmově stříkaný cordierit byl studován v [40], [42], [44] a [45]. V [40], [45], bylo zjištěno, že plazmově stříkaný cordierit o složení 17,9 % MgO, 31,2 % Al₂O₃, 50,2 % SiO₂ a 0,7 % nečistot, má plně amorfni strukturu. Amorfni byl i cordierit z práce [44]. V plazmově stříkaném cordieritu kapalinou stabilizovaným hořákem z [42] byly nalezeny stopy krystalického cordieritu i jiných, neidentifikovaných krystalických fází. Termická analýza takto deponovaného cordieritu ani měření teplotní roztažnosti nebyly dosud prováděny.

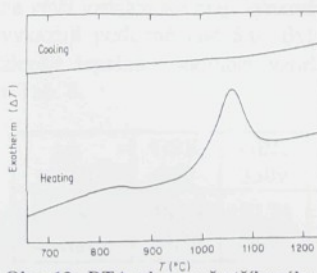


Obr. 10: Koefficienty lineární teplotní roztažnosti v systému MgO-Al₂O₃-SiO₂ [43]

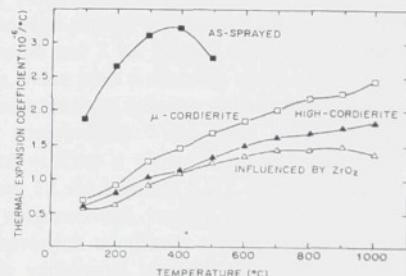
Dilatometrické chování plazmově stříkaného cordieritu bylo měřeno ve vzduchové atmosféře na vzorku 1 x 5 x 16 (mm) dotykovým dilatometrem rychlosti ohřevu 7K · min⁻¹ [76]. Výsledky tohoto měření jsou na Obr. 4. Střední součinitel lineární teplotní roztažnosti plazmově nastríkaného amorfniho cordieritu v teplotním rozsahu 25 – 400 °C byl stanoven na $3,21 \cdot 10^{-6} \text{ K}^{-1}$. Tento test byl ukončen vzhledem k počínajícímu měknutí vzorku od 400 °C. Dále byly stanoveny hodnoty α pro a horní cordierit získané žiháním na 1000, resp. 1100 °C. Koefficient α pro teplotní rozsah 25 –

1000 °C je $2,43 \cdot 10^{-6} \text{ K}^{-1}$ pro μ -cordierit a $1,84 \cdot 10^{-6} \text{ K}^{-1}$ pro horní cordierit. Podobné hodnoty platí i pro cordieritovou keramiku vyrobenou jinými technologiemi. Např. $\alpha_{24-800} \text{ } ^\circ\text{C}$ pro μ -cordierit a horní cordierit vyrobené slinováním je $1,37 \cdot 10^{-6} \text{ K}^{-1}$ a $2,47 \cdot 10^{-6} \text{ K}^{-1}$. Tyto hodnoty se nijak zvlášť neliší od hodnot plazmově stříkaného cordieritu [44].

Dalšími plazmově stříkanými materiály ze systému MgO-Al₂O₃-SiO₂ se zabývá práce [40]. (forsterit a spinel). Tyto materiály byly deponovány plynem stabilizovaným hořákem. Zatímco spinel byl plně krystalický, nástřik forsteritu měl strukturu složenou z amorfni i krystalické fáze.



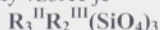
Obr. 12: DTA plazmově stříkaného cordieritu [45]



Obr. 11: Dilatometrické měření - plazmově deponovaného cordieritu [44]

1.2.4. Granáty

Početná skupina křemičitanů s podobnými vlastnostmi, z níž všechny krystalují v soustavě krychlové, se nazývá granáty. Jsou to minerály, které bývají součástí metamorfovaných hornin, lze je ale nalézt i v některých typech vyvřelin i v úlomkovitých sedimentech a horninových usazeninách. Jméno má granát nejspíše pro svůj izometrický tvar z latinského *granum* = zrno [46]. Granáty nabývají různého zbarvení, většinou jsou hnědočervené, nikdy se nevyskytuji modré. Obecný chemický vzorec je



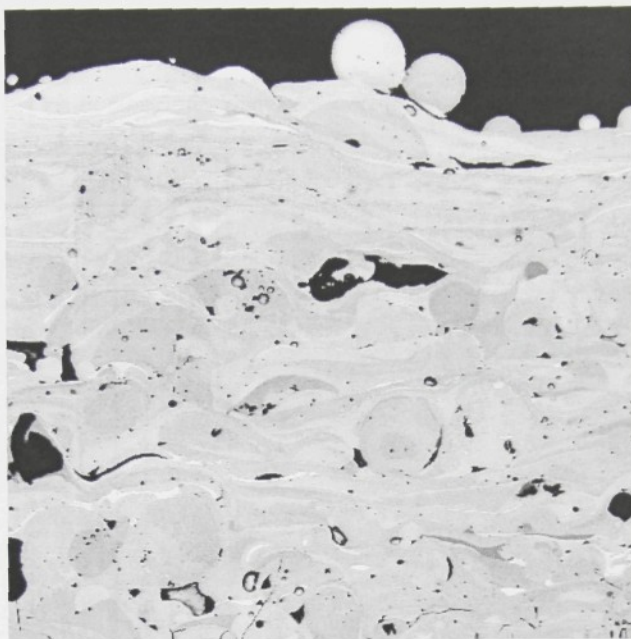
za R^{II} může být dosazen prvek Ca, Mg, Fe a Mn, za R^{III} prvek Al, Fe a Cr [36]. Odrůdy jsou sytě červený pyrop $\text{Mg}_3\text{Al}_2(\text{SiO}_4)_3$, hnědočervený až hnědý almandin $\text{Fe}_3\text{Al}_2(\text{SiO}_4)_3$, hnědý nebo zelený andradit $\text{Ca}_3\text{Fe}_2(\text{SiO}_4)_3$, zelený, někdy čirý, grossular $\text{Ca}_3\text{Al}_2(\text{SiO}_4)_3$, žlutavý spessartin $\text{Mn}_3\text{Al}_2(\text{SiO}_4)_3$, aj. Pyrop je známý také jako český granát a je hojně užíván ve šperkařství. Zde se také můžeme setkat s almandinem pod jeho názvem orientální granát [47], [46]. Pyrop má tvrdost 7 – 7,5 stupně Mohsovy stupnice a charakteristickou červenou až tmavě červenou barvu, někdy přecházející až do černé. Ve využití almandinu převládá výroba brusných papírů, brusiva a brusných nástrojů. Používá se jako abrazivo pro řezání vysokotlakým vodním paprskem, jako protiskluzové a otěruvzdorné povrchy, pro otryskávání ocelových i betonových konstrukcí [48]. Almandin má ze skupiny granátů nejvyšší tvrdost (8. stupeň). Almandin může být na činné plochy nástrojů nanesen také technologií plazmového střikání [49].

Pro granáty typu almandinů označené GBK a GBM podle místa naleziště udává výrobce teploty tání 1320 °C (GBM) a 1310 °C(GBK) [49]. Obsah volného SiO₂ je pod 1 %, z hygienického hlediska je tedy fibrogenita granátového prachu přípustná. Plazmové nástříky granátů v určitých případech vykázaly porozitu menší než 2 %. Přičinu takto nízké porozity lze hledat v kruhovitém, pro nástříky neobyvyklém, tvaru pórů a skelném stavu nástříku [47]. Pory jsou navíc malé a nepropojené, což je výhodné z hlediska ochrany proti korozi (Obr. 13).

Dilatometrická měření na nástříci granátů studovaných v této práci byla provedena v ÚSK VŠCHT [51]. Měřeny byly dilatometrické veličiny a viskozita na vzorcích tepelně nezpracovaných i na vzorcích vychlazených. Postup TZ viz kapitola 3.2.2. Prokázalo se, že u stejněho typu granátového složení pro tepelně nezpracované vzorky je střední součinitel délkové teplotní roztažnosti nižší u vzorků připravených nástříkem z větší vzdálenosti. Na dilatometrickou transformační teplotu (t_g) neměla vzdálenost nástříku vliv. Dilatometrická teplota měknutí (t_d) zůstala konstantní pro vzorek GBM, pro GBK byla t_d u vzorku připraveného nástříkem z menší vzdálenosti o cca 20 °C vyšší. Pro vzorky tepelně zpracované, vychlazené, platí obdobné závěry jako pro nezpracované s tím, že vzorky stříkané na větší vzdálenosti mají výrazněji nižší hodnoty koeficientu teplotní roztažnosti. Teploty t_g , t_d vykazují podobné chování. Bylo konstatováno, že se vzrůstající vzdáleností nástříku lze zlepšit tepelnou odolnost vzorku i ovlivnit viskozitu. Některé hodnoty α jsou shrnutы v Tab. 8.

$\alpha \cdot 10^{-7} [\text{K}^{-1}]$	GBK 350	GBK 350v	GBK 450	GBK 450v	GBM 350	GBM 350v	GBM 450	GBM 450v
$\alpha_{20-100^\circ\text{C}}$	48,24	50,74	45,76	47,26	45,24	47,51	45,51	45,27
$\alpha_{20-400^\circ\text{C}}$	53,36	58,05	53,00	57,16	53,89	59,16	52,48	56,06

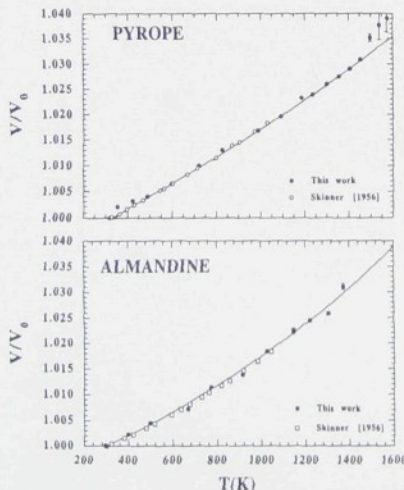
Tabulka 8: Dilatometrické hodnoty granátů almandinového typu [51]



Obr. 14: Příčný řez nástříkem granátu GBM (stříkací vzdálenost SD=350mm, zvětšeno 100x, SEM).

Objemová roztažnost granátů byla měřena v [52]. Měření byla provedena na přírodním

pyropu a almandinu do 1630 a 1370 K. Chemické složení vzorků zjištěné mikrosonodou je v Tab. 9. Při teplotě 1400 K má pyrop koeficient teplotní roztažnosti $3,0 \cdot 10^{-5} \text{K}^{-1}$, almandin $3,3 \cdot 10^{-5} \text{K}^{-1}$ a jejich průběh je na Obr. 14 (objemová teplotní roztažnost). Jak je vidět z Obr. 14, průběh teplotní roztažnosti je v celém měřeném rozsahu plynulý až do teploty rozkladu. Pyrop se rozkládá při teplotách okolo 1500 K na korund a enstatit, almandin se začíná rozkládat při 1300 K oxidací Fe s tvorbou hematitu, silimanitu a křemene nebo kristobalitu, což bylo potvrzeno výpočty [53]. Rozkladná reakce je ukončena při 1435 K, kde byly zaznamenány pouze tři slabé odrazy almandinu. Pro čistý almandin je udávána teplota liquidu 1590 K [54]. Nečistoty ve vzorku snižují teplotu liquidu s tím, že oxidace může mít opačný efekt vzhledem k produktům oxidace. Částečné natavování nebylo pozorováno do teploty 1435 K, natavené fáze ale byly pozorovány při 1600 K během předběžných experimentů.



Obr. 13: Teplotní objemová roztažnost přírodního pyropu a almandinu, kde V_0 je objem při pokojové teplotě. Chyby jsou menší než velikost symbolů [52].

Vzorek granátu složený z 72,6 % pyropu, 15,7 % almandinu, 0,7 % spessartinu, 0,6 % grossularu, 4,3 % andraditu a 6,1 % uvarovitu (mol %) o hustotě 3,705 g·cm⁻³ byl podroben analýze elasticity a dilatometrickému měření v [55]. Hodnoty koeficientu teplotní roztažnosti byly sledovány do teploty cca 1000 K. Závislost teplotní roztažnosti je plynulá, stejně jako v [52]. Nástřík granátu GBK byl úspěšně aplikován na činnou plochu pilníku GRADECOR. Jako podklad byl využit pilník z nástrojové oceli. Vlastnostmi se tento druh pilníku pohybuje

na přechodu mezi ocelovým pilníkem a rašplí. Jeho využití je především v obrábění měkčích materiálů [47]. Využití vrstvy pyropu nanesené plazmovým nástříkem v technické praxi nebylo v dostupné literatuře nalezeno. Podobně je tomu v případě almandinu, jehož technické využití je soustředěno na brusné nástroje.

Tabulka 9: Chemické složení zkoumaných granátů (hmot. %).

* 1,74 % MnO₃, a méně než 0,1 % Cr₂O₃ a TiO₂.[51]

	SiO ₂	Al ₂ O ₃	CaO	MgO	FeO
Pyrop	45,70	24,59	0,12	28,02	0,69
Almandin*	37,01	20,80	1,00	2,80	36,91

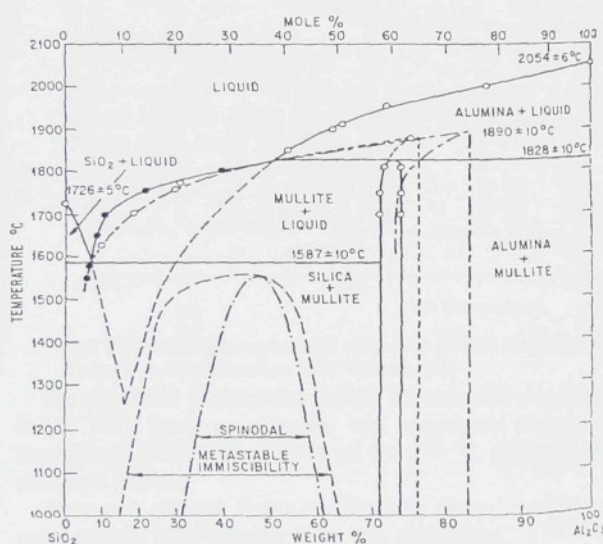
1.2.5. Mullit

Minerál mullit je nazván podle místa naleziště na skotském ostrově Isle of Mull. Poprvé byl popsán v r. 1924. Chemický vzorec je



Jeho krytalická struktura byla ověřena v [56]. Jde o jedinou chemickou sloučeninu v soustavě Al_2O_3 - SiO_2 . Základní surovinu pro výrobu mullitové keramiky, prášek, lze vyrobit několikerým způsobem [57], [58].

Hustoty $3,01 \pm 0,02 \text{ g.cm}^{-3}$ bylo dosaženo sintrováním komerčně dodávaného prášku mletého na $0,8 \mu\text{m}$ na $1630^\circ\text{C}/4$ hod. [59]. Při teoretickém složení obsahuje 71,80 hmot. % Al_2O_3 . Mullit taje při 2054°C (Aksay a Pask 1974), za metastabilních podmínek při cca 1890°C . [24], [59]. Viz Obr. 15.



Obr. 15: Rovnovážný binární diagram $\text{Al}_2\text{O}_3\text{-SiO}_2$ [59]

Al_2O_3 lze získat podíl 72 hmot. %, příslušející mullitu. Žáruvzdornost, při použití čistého syntetického mullitu je $1770 - 1850^\circ\text{C}$ při vypalovací teplotě $1500 - 1600^\circ\text{C}$ [24]. Pro tavený mullit je udávána komerční hodnota 1900°C [62] při měrné hm. $3,14 \text{ g.cm}^{-3}$.

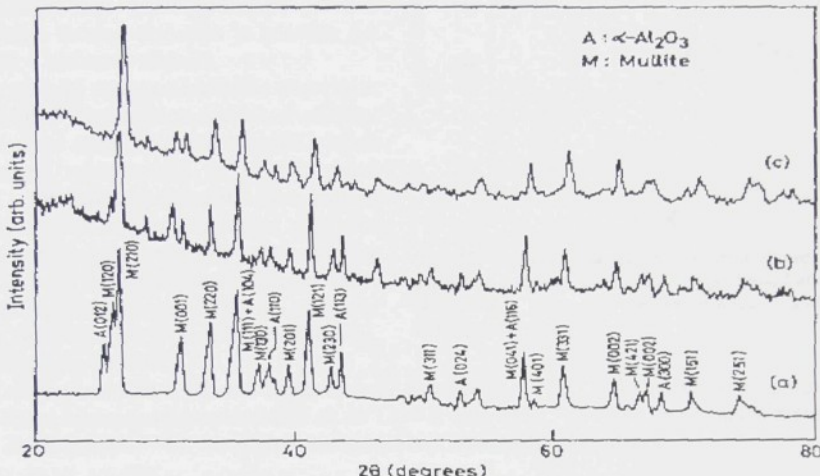
Mullit sintrovaný při teplotách nad 1000°C byl zkoumán na vzorcích zhotovených metodou sol-gel a reakcí v tuhé fázi [60]. Pro měření teplotní roztažnosti (do 1000°C) Guinierovou RTG difrakcí [61] byly použity vzorky sintrované a následně zbavené skelných fází směsi HF/HCl a jednotlivé krystaly zhotovené Czochalského postupem [63]. Byly naměřeny značné rozdíly teplotní roztažnosti v jednotlivých osách.

Mullit vyrobený metodou sol-gel [60], [64], [65], [66] má amorfní strukturu a vysokou čistotu. Údaje o teplotě počátku krystalizace se liší podle použitého způsobu přípravy i podle autorů práce. Například během ohřevu amorfního mullitu [65] dochází ke krystalizaci při teplotách okolo 1250°C . Přítomnost krytalické fáze byla zjištěna RTG difrakcí již od cca 1100°C , ale plně rozvinutá krystalizace byla pozorována při 1250°C . To je také teplota

Mullit je jedním z důležitých keramických materiálů, který odolává teplotním změnám, je odolný chemicky a vyznačuje se dobrou teplotní stabilitou a chováním při namáhání creepem [61].

Mullit je jednou ze základních složek žáruvzdorných materiálů. V celém teplotním rozsahu pevné krytalické fáze neprodělává žádné polymorfni přeměny, které bývají spojeny s objemovými změnami. Je hlavní složkou tzv. *vysoce hlinitých* žáruvzdorných materiálů soustavy Al_2O_3 - SiO_2 s obsahem 60 - 75 % Al_2O_3 . Výrobků, pro jejichž výrobu se používá přírodní kyanit, sillimanit, případně andalusit. Dalším přidáním

exotermického piku křivky DTA při ohřevu rychlosí $10 \text{ K} \cdot \text{min}^{-1}$, který odpovídá krystalizaci. Do této teploty není na DTA křivece žádná nepravidelnost ukazující na krystalizaci jakékoliv fáze. V práci [64] jsou publikovány křivky DTA, kde je formování krytalického mullitu omezeno nebo se projevuje méně výrazným píkem při 980°C . V práci [67] je diskutována samotná exotermická reakce při 980°C . Jsou zde uvedeny tři hlavní hypotézy děje. Bud' jde o přímou krystalizaci mullitu z plně homogenizovaného gelu, nebo krystalizace spinelu či SiO_2 nahrazujícího Al_2O_3 , případně spinelu a mullitu najednou.

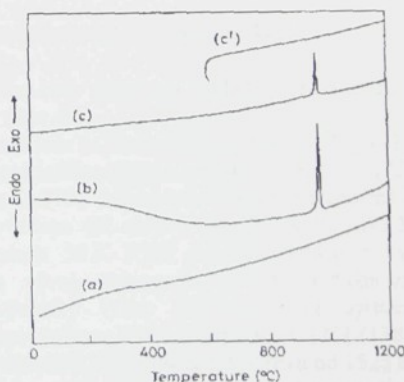


Obr. 16: Difraktogram plazmově stříkaného mullitu a) základní materiál, b) nastříkaný mullit, c) nástřík mullitu žíhaný na $1025^\circ\text{C}/8\text{ hod}$. [67]

Při sintrování mullitového prášku zhotoveného rozstříkáním do předechnaté křemenné trubky [68], který po rozstřiku také neprokázal žádnou přítomnost krytalické fáze, se krystalizace, podle měření DTA při cca 970°C , projevila také jedním ostrým exotermickým píkem při ohřevu.

Plazmově stříkaná vrstva mullitu byla zkoumána pomocí RTG difrakce (Obr. 16), optického mikroskopu, SEM a DTA v [69]. Nástřík byl proveden plazmovým stříkáním na mezivrstvu na bázi Ni-Cr-Al-Y. Tloušťka mullitové stříkané vrstvy byla 0,425 mm. Součástí této práce, zabývající se odolností nástříku proti tepelným šokům, je měření DTA. Křivky ukazují exotermické píky při 970°C , resp. mezi 967 a 971°C (Obr. 17). Tyto píky se objevují i po 150 teplotních cyklech, což je vysvětleno rychlým přechodem přes teplotní oblast krystalizace [69].

Dilatometrická měření na vrstvách mullitu tlustých více než 1 mm a na samonosných prvcích nebyla dosud publikována.



Obr. 17: DTA křivky a) prášek mullitu pro stříkání, b) nástřík mullitu, c) po 150 tepelných šocích, c') mullit po DTA [68]

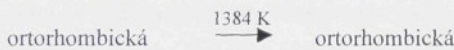
1.2.6. Perovskit

Minerál popsaný chemickým vzorcem CaTiO_3 (obecně ABO_3)

byl pojmenován po ruském mineralogovi L. A. Perovském (1792 – 1856). Hustotou 4 g.cm⁻³ se řadí mezi průměrné kovové minerály. Tvrdost minerálu je udávána 5,5 stupně v Mohsově stupnici.

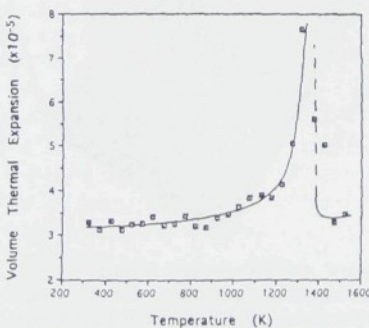
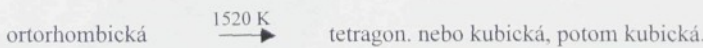
Krystalová struktura ideálního perovskitu má plošně centrovou kubickou mřížku. Obsazením atomů základních prvků a jejich možnými substitucemi se zabývá práce [70]. Struktura perovskitů je jedním z nejvíce rozšířených uspořádání v zemské kůře, proto jsou minerály této skupiny zkoumány z hlediska chování zemské kůry, seismologie a geologie. Dalšími zástupci této skupiny jsou například: CaGeO_3 , SrZrO_3 , $(\text{Mg}, \text{Fe})\text{SiO}_3$.

Teplotní stabilita a tepelná kapacita byly zkoumány v [71]. Bylo zjištěno, že perovskit CaTiO_3 si udržuje nízkoteplotní fázi až do 1384 K (cca 1111 °C) s tím, že se začíná měnit již od 1220 K (cca 947 °C). Jde o přeměnu modifikaci ortorombické mřížky.

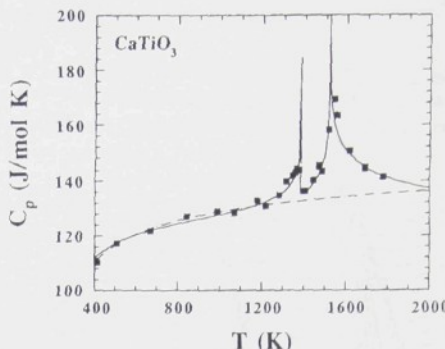


Malý rozdíl mezi těmito dvěma strukturami (Pbnm a Cmcm) může činit potíže při identifikaci této přeměny.

Další fázová změna nastává při 1520 K (cca 1247 °C). Při této teplotě se mění ortorombická mřížka na tetragonální nebo kubickou, následně potom na kubickou.



Obr. 19: Objemová roztažnost CaTiO_3 ukazující na transformaci tetragonální – ortorombické uspořádání mezi 1373 a 1423 K [70]



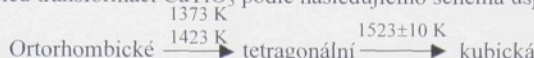
Obr. 18: Tepelná kapacita CaTiO_3 . Plné čtverce jsou naměřené hodnoty, plná čára – vypočítané hodnoty, čárkovaná čára – extrapolované hodnoty nízkoteplotní fáze. [70]

Tyto závěry byly přijaty na základě měření tepelné kapacity (Obr. 18).

Jako náhrada za izostrukturní perovskit MgSiO_3 , který je nejrozšířenějším v zemské kůře, byl v [72] zkoumán CaTiO_3 . Stanovení fázových transformací bylo provedeno při ohřevu od 323 K do 1523 K v intervalech 50 K RTG difrací. Současně byl stanoven vývoj objemové teplotní roztažnosti, jehož výsledky (Obr. 19) potvrzují zjištění indikované změnou tepelné kapacity v [71] (1384 K). Na základě RTG difracce při ohřevu do 1523 K byl sestrojen graf na Obr. 20 a 21. Nářušt pozadí je zde vysvětlen zvýšenou mobilitou kyslíkové podmřížky ve vysoce symetrických fázích, obzvlášť v kubické. Přeměnu na tetragonální uspořádání reprezentuje vymízení odrazu na

$2\theta = 37^\circ$ a na krychlové uspořádání $2\theta = 39^\circ$.

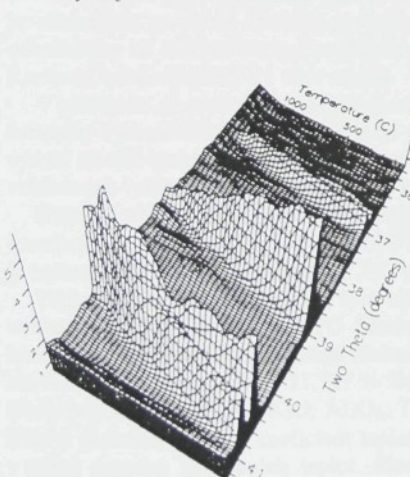
Z [71] vyplývá sled transformací CaTiO_3 podle následujícího schéma uspořádání:



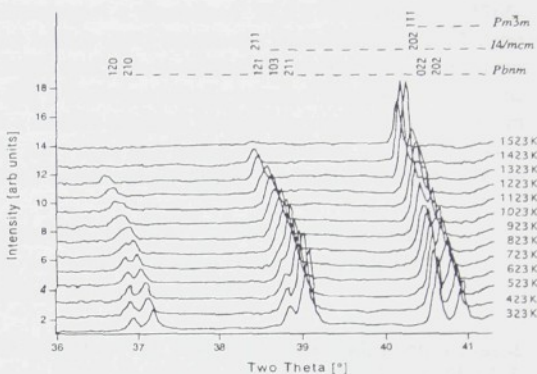
Tyto výsledky jsou v dobré shodě s [70], kdy trasformace při 1373 – 1423 K odpovídá nestejnoměrnosti na křivce specifického tepla a transformace při 1523 ± 10 K odpovídá druhé nestejnoměrnosti při 1520 K.

Podle [73] má perovskit CaTiO_3 nad 1613 K kubickou mřížku ($\text{Pm}3m$), tetragonální ($\text{I}4/\text{mcm}$) v oblasti 1493 – 1613 K a ortorombickou (Pbnm) do 1493 K.

Teplotní vodivost nástřiku CaTiO_3 byla stanovena v [74]. Vodivost byla stanovena v teplotním intervalu od 20 do 600 °C. Měření probíhalo v atmosféře Ar zábleskovou metodou. Křivka závislosti tepelné vodivosti na teplotě má tvar rozevřeného písmene U s minimem na 400 °C. Zvyšující se vodivost při vyšších teplotách může být mj. ovlivněna změnou odrazivosti vzorku.



Obr. 21: Teplotní vývoj fází CaTiO_3 . Vyhlazení odrazu na 37 st. je důsledkem přechodu na tetragonální uspořádání, 39 st. na krychlové. [72]



OBR. 20 Vývoj fázových transformací CaTiO_3 . Vyhlazení odrazu na 37st. a přetrvání na 39st. ukazuje na $\text{I}4/\text{mcm}$ symetrii. [72]

Další materiály na bázi perovskitů byly plazmově deponovány a popsány v [75]. Jednalo se o materiály ze skupiny titaničitanů, jmenovitě $\text{CaTiO}_3\text{-LaMg}_{0.5}\text{Ti}_{0.5}\text{O}_3$, $\text{Zr}_{0.8}\text{Sn}_{0.2}\text{TiO}_4$ a směs geikielitu a perovskitu MgTiO_3 - CaTiO_3 v poměru 94 : 6. Tyto materiály byly vybrány především pro své elektrické vlastnosti. Vlastnosti plazmově deponovaných a sintrovaných vzorků se nijak zvlášť nelišily, nebyly zjištěny žádné zvláštní tepelně indukované děje. Vlastnosti nástřiků zhotovených plynem stabilizovaným a vodou stabilizovaným hořákem se neliší. Materiály jsou dobře stříkatelné.

Perovskitům, jejich strukture a využití z nich vytvořených nástřiků se věnuje disertační práce ing. Ctibora [76]. Jde například o podložky pro růst supravodivých vrstev, katalyzátory pro reduci NO_x , ale také elektrody palivových článků. Teplotní vlastnosti plazmově nanesených perovskitů dosud nebyly zkoumány.

1.2.7. Wollastonit

Wollastonit je silikátem ze skupiny pyroxenitových minerálů. Chemický vzorec je:



Svůj název získal po anglickém mineralogovi a chemikovi W. H. Wollastonovi (1766-1828). Krystalizuje převážně v triklinické mřížce (bývá označován jako wollastonite-1T nebo -1A), další modifikací je mnohem vzácnější výskyt monoklinického wollastonitu (popisován jako parawollastonit, nebo wollastonite-2M). Další modifikace jsou rozlišeny podle přípon na -3A, -4A, -5A, -7A. Jedná se v podstatě o detailní rozlišení modifikace wollastonitu-7A, která krystalizuje také v triklinickém systému, ale v jeho jiné formě v porovnání s w-1A či w-1T. (Označení bez přípony zpravidla znamená nejobvyklejší formu: wollastonit-1T). V [77] je uvedeno názvosloví:

- $\alpha\text{-CaSiO}_3$ -pseudowollastonit (tj. wollastonit -3A, -4A, -5A, -7A) monoklinický
- triklinický $\beta\text{-CaSiO}_3$ - wollastonit, (tj. wollastonit-1A nebo -1T) (nejobvyklejší)
- monoklinický $\beta\text{-CaSiO}_3$ – parawollastonit (tj. wollastonit-2M)
- vysokotlaký CaSiO_3

Další krystalografická data jsou uvedena např. v [78], [79]. Barvu má wollastonit převážně bílou, přecházející do odstínu šedé. Teplota tavení je udávána 1540 °C [42], [24], [80], [81]. Má nízkou adsorpci vody a olejů, je chemicky odolný v široké oblasti chemikálií a je biologicky nezávadný. Jako nejčastější zdroj chemického znečištění působí záměna Ca za mangan nebo železo. Tyto nečistoty mohou dosahovat až 20 % hmotnostního podílu wollastonitu. Podíl nečistot a následně přechod přírodního wollastonitu na bustamit je diskutován v [82].

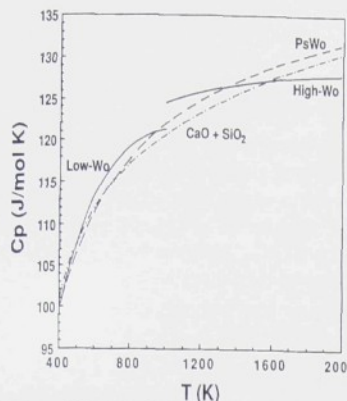
V technické praxi převažuje použití přírodního minerálu, synteticky vyrobený wollastonit je zastoupen pouhými dvěma procenty ze světové produkce. Evropské kapacity jsou odhadovány na 162 tis. t roční produkce převážně ze Španělska, Finska, Německa, Turecka, Řecka a České republiky s 1 tis. t za rok.

V průmyslu se wollastonit běžně používá jako surovina pro výrobu vláken, při výrobě keramiky i jako náhrada azbestu. V malé míře je na trhu zastoupeno použití v metalurgii a při výrobě třecích materiálů. Cena wollastonitu na světovém trhu již delší dobu stagnuje či klesá vzhledem k velké produkci a rozrůstající se konkurenci [83], [84].

Hustota wollastonitu (triklinická mřížka) je $2,92 \text{ g.cm}^{-3}$ a koeficient lineární teplotní roztažnosti $\alpha = 9,4 \cdot 10^6 \text{ K}^{-1}$ v teplotním rozsahu 100 – 200 °C [24]. Podle zdrojů z internetu je hustota $2,8 - 2,9 \text{ g.cm}^{-3}$, průměrně $2,84 \text{ g.cm}^{-3}$, tvrdost $4^{1/2} - 5$ Mohsovy stupnice.

Teplotní závislost změny fázi byla zkoumána v [85] na vzorku přírodního triklinického wollastonitu. Pomocí teplotní RTG difracce bylo zjištěno, že do teploty 1022 °C neprodélavá wollastonit též ideálního složení žádnou náhlou změnu parametrů krystalové mřížky a tím ani fází. Složení vzorku bylo 51,787 % SiO_2 , 48,117 % CaO a zbytek do 100 % byly nečistoty (FeO , MgO , MnO , Na_2O , K_2O , Al_2O_3 , TiO_2). Všechny parametry krystalové mřížky kromě úhlu α prokázaly kladný koeficient teplotní roztažnosti a jeho plynulou závislost na teplotě v celém rozsahu zkušebních teplot. Sledování Ramanova [85] spektra naopak prokázalo nespojitost při teplotě $995 \pm 10 \text{ K}$ (722 °C). Tuto nespojitost autoři vysvětlují malými transformačními posuvy nebo uspořádáváním nahromaděných vrstevnatých chyb struktury.

Měření termodynamických vlastností wollastonitu, pseudowollastonitu a amorfniho CaSiO_3 (hustota $2,8955 \text{ g.cm}^{-3}$) bylo provedeno na základě měření tepelných kapacit v [80]. Jako vzorku bylo použito přírodního minerálu, charakterizovaného v pracích [86], [87]. Při měření tepelné kapacity byla zjištěna nespojitost při vratné transformaci $995 \pm 10 \text{ K}$ (722 °C). Tato transformace nebyla indikována předchozími měřeními díky své minimální entalpii



Obr. 22: Tepelné kapacity pseudowollastonitu, wollastonitu dolního a horního a součet tepelných kapacit CaO a kristobalitu [81]

$= 5.3 \pm 1.6$ a 5.7 ± 2.2 kJ/mol [90]. Rovnovážná teplota transformace dle [92] je 1398 ± 10 K (1125°C).

Entalpie přechodu wollastonitu do tekuté fáze byla stanovena v [80] na 57.3 ± 2.8 kJ/mol. Teoreticky stanovený bod nulového rozdílu Gibbsovy energie pro wollastonit a tekutý CaSiO_3 je 1767 K (1494°C) [81].

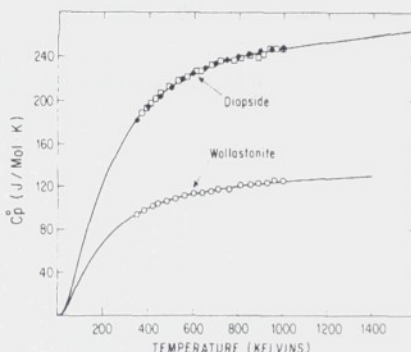
Umištění wollastonitu a jeho modifikací v systému $\text{CaO}-\text{MgO}-\text{SiO}_2$ znázorňuje fázový diagram na Obr. 24. Wollastonit je také popisován jako okrajová sloučenina systému $\text{CaSiO}_3-\text{MgSiO}_3-\text{FeSiO}_3$, což je modelový systém pro geochemické výpočty. Hodnoty objemové tepelné roztažnosti některých sousedních perovskitů (vč. CaSiO_3) jsou tabelovány v [93]. Wollastonitem v systému $\text{CaSiO}_3-\text{CaMnSi}_2\text{O}_6-\text{CaFeSi}_2\text{O}_6$ se zabývá práce [94]. Krystalografie wollastonitu je podrobně popsána v [77], kde se autoři zabývají zkoumáním monokrystalu α - CaSiO_3 (pseudowollastonitu) a také srovnáním se strukturou SrGeO_3 v [82].

Plazmové střikání wollastonitu nebylo dosud v odborném tisku publikováno a tepelné vlastnosti plazmových nástřiků wollastonitu nebyly dosud přesně stanoveny.

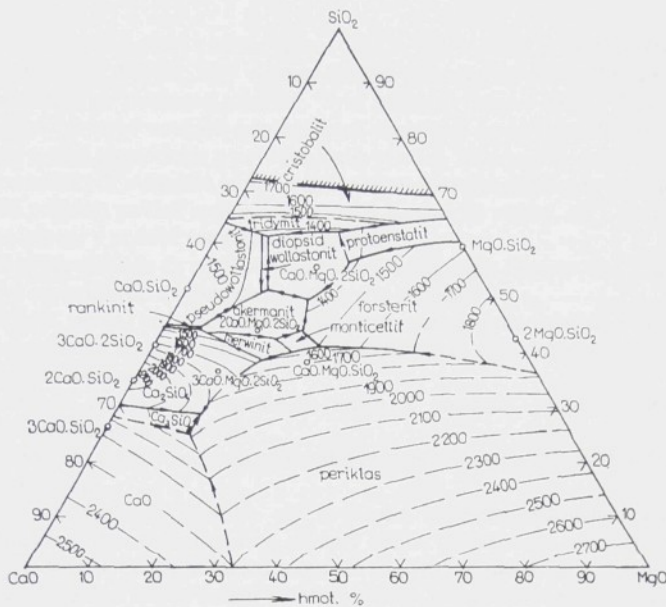
(200 J/mol). Na základě této transformace byl zaveden pojem "horní" resp. "dolní" wollastonit. [81]. Viz Obr. 22.

V [87] nebyla zjištěna nespojitost v průběhu specifického tepla v okolí výše uvedených teplot transformaci, viz. Obr. 23. Lineární teplotní roztažnost na vzorku přírodního wollastonitu byla stanovena v [89], kde byl zkoumán wollastonit s vláknitou strukturou, a to ve dvou kolmých směrech. Hodnoty TEC jsou: pro směr podél osy vláken [010] $6.23 \cdot 10^{-6} \text{ K}^{-1}$ a pro směr kolmý (010) $7.77 \cdot 10^{-6} \text{ K}^{-1}$ ($25 - 650^{\circ}\text{C}$). Dále jsou v [89] uvedeny hodnoty TEC různých autorů – Stutzman, Salvaggi, Kirchner (1959): $9.4 \cdot 10^{-6} \text{ K}^{-1}$ ($100 - 200^{\circ}\text{C}$), Whitmer(1969): $6.5 \cdot 10^{-6} \text{ K}^{-1}$ ($25 - 800^{\circ}\text{C}$), Rigby, Lovell, Green (1945); asi $6 \cdot 10^{-6} \text{ K}^{-1}$ ($100 - 1000^{\circ}\text{C}$).

Entalpie přechodu wollastonit – pseudowollastonit byla stanovena ve dvou pracích a to pro $T = 970\text{K}$: $\Delta H_i = 6,53 + 2,8 \text{ kJ/mol}$ [62], a pro $T = 973 \text{ K}$ a 1070 K : ΔH_i



Obr. 23: Molární tepelné kapacity diopsidu a wollastonitu [87]



Obr. 24: Fázový diagram systému CaO-MgO-SiO₂ [Muan a Osborn, 1965]

2. CÍLE PRÁCE

Na základě výzkumných prací v rámci grantu GAČR 104/96/1354 a 104/99/0304, ale i bachelorských projektů ÚFP AV ČR, byly vybrány některé perspektivní materiály na bázi silikátů a oxidické keramiky pro plazmové nástříky. Tyto materiály jsou v dnešní době využívány v sériové keramické výrobě součástí odolávajících namáhání za zvýšených teplot, abrazivnímu opotřebení a také chemickým a povětrnostním vlivům. Jednou z možností jak lépe využít vlastnosti keramických materiálů je jejich aplikace plazmovým stříkáním. Tato technologie umožňuje nejen ochránit povrch součásti nanesením keramické vrstvy, ale i zhotovit vlastní součást nebo polotovar v podobě samonosného prvku.

Předkládaná práce si klade za cíl zhodnotit účinek technologie plazmového stříkání na vybrané nástříkové materiály při zvýšených teplotách a to zejména:

Stanovit rozsah změn pro jednotlivé plazmově deponované materiály po expozici v plazmatu generovaném vodou stabilizovaným plazmatronem a po dopadu na podložku, případně po následném tepelném zpracování.

Změny zhodnotit na základě literárních údajů a porovnat s procesy probíhajícími u materiálů v sériové keramické výrobě.

V rozsahu teplot do teploty měknutí stanovit význačné teploty a střední koeficienty lineární teplotní roztažnosti.

Oblast dějů v materiálech nástříků při zvýšeném tepelném namáhání bude řešena s ohledem na působení konstantní teploty, plynulý ohřev, ochlazování nebo jejich prudkých změn - tepelných šoků s využitím metod termické analýzy, zejména DTA a teplotní dilatometrie. Na základě těchto řešení budou navrženy limity praktického použití předkládaných materiálů.

Z naměřených skutečností budou vyvozeny důsledky omezující nasazení zkoumaných materiálů v inženýrské praxi a doporučeno využití jednotlivých materiálů jak k výrobě samonosných součástí, tak pro nanesení na substrát pro zvýšení jeho užitných vlastností.

3. EXPERIMENTÁLNÍ ČÁST

3.1. POUŽITÉ MATERIÁLY

Následující kapitoly popisují materiály vzorků a podložek pro stříkání. Je zde uvedeno chemické složení použitých materiálů.

3.1.1. Stříkací materiály

Al_2O_3 byl použit umělý korund hnědý A96, který obsahuje min 96 % Al_2O_3 , max. 0,6 % Fe_2O_4 , max. 1,4 % SiO_2 , 1,5 – 3,0 % TiO_2 , max. 0,20 % CaO. Jmenovitý rozměr zrna hlavní frakce je 50 – 40 μm . Značení dle ČSN 22 4012 je 4, dle ISO 525-75 je 240. Tloušťka nástríku pro zkoušky vlastností napříč a podél roviny nástríku byla cca 12mm, pro ostatní měření 2,5 mm [95].

Čedič Výchozí prášek pro stříkání plazmatronem s vodní stabilizací byl získán prostým drcením a tříděním litého skelného čediče, vyráběného fy Eutit Mariánské Lázně. Hustota materiálu byla určena na 2,882 g. cm^{-3} (výchozí prášek). Chemické a fázové složení výchozího prášku a nástríku udává Tab. 10 [50].

Stav materiálu	SiO_2	Al_2O_3	Fe_2O_3	CaO	MgO	CR_2O_3	TiO_2	Na_2O	K_2O
výchozí	49,4	11,8	10,6	10,8	11,1	0,1	2,3	2,7	1,1
nástrík	46,0	12,9	11,2	12,0	12,0	0,1	2,5	5,3	0,9

Tabulka 10: Chemické složení čediče*

Cordierit Prášek pro stříkání cordieritu byl vyroben mletím a tříděním z tvarově chybných výrobků fy STEATIT Klenčí p.Čerchovem. Jde o materiál skupiny „C 410 – slinutý kordierit“ (označení výrobce), jehož hustota je 2,53 g. cm^{-3} a střední součinitel lineární roztažnosti $\alpha = (1,5 - 2,6) \times 10^{-6}\text{K}^{-1}$.

Stav materiálu	Si	Al	Mg	Fe	Ca	Ti	O
výchozí	22,3	20,6	6,9	0,6	0,1	0,6	48,9
nástrík	21,7	20,0	8,5	0,5	-	-	48,6

Tabulka 11: Chemické složení cordieritu⁺

Granáty typu almandinu (GBK, GBM) byly získány od výrobce Garnet Bohemia. Jednotlivé typy almandinů se nepatrně liší v chemickém složení díky různému nalezišti. GBK – naleziště Ktiš v jižních Čechách, GBM – naleziště Měděnec. Granáty GBK o hustotě 3,989 g. cm^{-3} , GBM o hustotě 4,115 g. cm^{-3} a pyrop o hustotě 3,823 g. cm^{-3} byly deponovány stejně jako ostatní materiály na vyleštěné podložky z austenitické oceli.

materiál	SiO ₂	Al ₂ O ₃	Fe ₂ O ₃	CaO	MgO	Cr ₂ O ₃	TiO ₂	Na ₂ O	K ₂ O
GBK vých.	33,6	18,6	37,4	0,6	7,2	0	0,8	0	1,6
	K nástř.	21,6	36,9	0,7	7,2	0,03	0,02	0	0
GBM vých.	33,2	21,4	38,6	1,3	4,0	0	0	0	0
	K nástř.	29,7	20,8	38,3	1,0	3,3	0	6,3	0
Pyrop vých.	38,2	21,1	9,9	4,1	23,9	2,0	0	0	0
	nástř.	36,3	22,8	9,4	4,5	24,2	2,0	0	0

Tabulka 12: Chemické složení granátů GBK, GBM a pyropu*

Mullit byl syntetizovaný, mletý a tříděný v Ústavu nerostných surovin v Kutné Hoře. Jeho specifická hustota je $3,0 \text{ g.cm}^{-3}$, koeficient lineární teplotní roztažnosti $\alpha = 5,3 \times 10^{-6}\text{K}^{-1}$, použitá granulometrie $60 - 100\mu\text{m}$.

stav materiálu	Si	Al	Fe	K	Ca	Na	O
výchozí	12,8	37,4	0,5	0,5	0,2	0,1	48,3
nástřik	106	40,1	0,5	0,3	0,2	-	48,1

Tabulka 13: Chemické složení mullitu⁺

Perovskit Chemické složení výchozího prášku a nástřiku je uvedeno v tabulce 5. Složení bylo zjištováno pomocí rentgenové fluorescenční analýzy.

stav materiálu	TiO ₂	CaO	ZrO ₂	La ₂ O ₃	SiO ₂
výchozí	57,3	39,8	0,5	0,4	0,9
nástřik 350	58,6	39,4	0	0	0
nástřik 450	59	39,6	0,2	0	0,6

Tabulka 14: Chemické složení perovskitu CaTiO₃

Wollastonit Pro žárové střikání [42] v ÚFP AV ČR plazmatronem WSP® byla použita zrnitost $40 - 90 \mu\text{m}$ o hustotě $2,904 \text{ g.cm}^{-3}$.

stav materiálu	Si	Ca	O
výchozí	24,1	34,1	41,3
nástřik350	22,4	36,7	40,9
nástřik450	22,5	36,4	41,1
nástřik550	22,3	36,8	40,4

Tabulka 15: Chemické složení wollastonitu⁺

*chemické složení bylo zjištováno mikrosondou na skenovacím mikroskopu. Obsah kyslíku byl dopočítán ze stechiometrického složení

⁺chemické složení bylo získáno energiově disperzní analýzou z 20 až 30 náhodně vybraných bodů na příčném řezu každého vzorku. Obsah kyslíku byl dopočítán do 100 %.

Tloušťka nástřiku u všech materiálů, s vyjimkou AH, se pohybovala okolo 2,5 mm. Stříkací vzdálenosti byly stanoveny na 350, 450, 550 mm (SD). Vzhledem ke značnému počtu zhotovených nástřiků byly pro zkoumání v této práci vybrány nástříky podle údajů stříkacího personálu nejlépe zhotovitelné a vykazující nejvýhodnější vlastnosti z hlediska dalšího použití na základě publikovaných prací [42], [50], [95], [96].

Pro fluorescenční analýzu byl použit energiově disperzní analyzátor XR-200(LINK ANALYTICAL, VB) vybavený polovodičovým detektorem Si dopovaným Li. Stopa primárního svazku na vzorku je velká 14 mm^2 . Jako standardy byly použity čisté kovy a jednoduché sloučeniny.

3.1.2. Podložky

Při výrobě samonosných prvků z perovskitu bylo stříkáno na hliníkovou podložku s naneseným grafitem jako mezivrstvou pro zhoršení soudržnosti. Materiál technicky čistý hliník dle ČSN 42 4003 byl vybrán pro jeho vysokou teplotní roztažnost ($23,7 \cdot 10^{-6} \text{ K}^{-1}$), která umožňuje vlivem rozdílu teplotních roztažností sejmout nastříkanou vrstvu.

Ostatní materiály byly stříkány na desky z austenitické oceli třídy 17 240 a 17 241. Rozměry desek byly cca $60 \times 80 \times 8 \text{ mm}$.

3.2. PŘÍPRAVA VZORKŮ

3.2.1. Plazmové stříkání

Pro všechny vzorky byl pro depozici použit plazmatron s kapalinovou stabilizací WSP®PAL 160. Základní princip jeho funkce je uveden v kapitole 1.1. Žárové stříkání. Podávací výkon byl u všech vzorků seřízen na 22 kg . hod⁻¹, což je asi 50 % dosažitelného výkonu. Geometrické stříkací parametry (SD, FD) byly voleny podle zkušeností a pro jednotlivé materiály jsou uvedeny v Tab. 16. Většina materiálů byla stříkána z několika různých vzdáleností. Stříkání probíhalo ve vodorovné poloze s pevně upnutými podložkami. Hlavní pohyb vykonával plazmatron upnutý na robotu. Podložky pro stříkání byly předebrány na 270 °C s tím, že při stříkání se jejich teplota zvyšovala až na 370 °C. Elektrický výkon plazmatronu WSP® PAL 160 byl trvale nastaven na 160 kW.

Materiál	Stříkací vzdálenost[mm]	Podávací vzdálenost[mm]	Granulometrie [μm]	Poznámka
Al ₂ O ₃	350	30	40-63	Stopa nástřiku
	350	30	40-63	Nástřik 5a
	350, 450	30	40-63	
Čedič	450	21	56 - 200	
Cordierit	350	26	63 – 125	
Gra-nát Pyrop	400	21	56 - 200	
	350, 450	21	56 - 200	
Mullit	300, 350	27,5; 26	60 – 100	
Perovskit	350, 450	30	63 - 125	
Wollastonit	400	28	40 - 90	

Tabulka 16: Hlavní parametry plazmového stříkání zkoumaných materiálů

3.2.2. Dodatečné zpracování

Jen některé ze vzorků byly dodatečně tepelně zpracovávány. Jde o granáty, které byly podrobeny „vychlazení“ [51]. Režim vychlazení je :

1. Vzestup teploty rychlostí 20 K . min⁻¹ do teploty t_g (dilatometrická transformační teplota)
2. Vzestup teploty rychlostí 10 K . min⁻¹ do teploty t_d (dilatometrická teplota měknutí)
3. Výdrž 12 hod na teplotě t_d
4. Sestup teploty rychlostí 1K . min⁻¹ až do teploty 100 °C pod teplotou t_g.
5. Samovolný sestup teploty po vypnutí pece až na pokojovou teplotu.

Jiné tepelné zpracování nebylo prováděno, i když k jistému tepelnému ovlivnění mohlo dojít při snímání samonosných destiček z podložky. Ohřev byl zajištěn topnou spirálou el. vařiče a ochlazování ponořením do tekutého dusíku. Rozsah teplot byl volen tak, aby k ovlivnění struktury pokud možno nedošlo (max. teplota cca - +150 °C).

K ovlivnění struktury a změnám v materiálu dochází při každém měření tepelných vlastností, proto lze považovat cykly měření za režim tepelného zpracování. Postupy jednotlivých měření jsou popsány u každého vzorku a pokud není řečeno jinak, platí, že vzorek nebyl tepelně zpracován a prošel prvním cyklem měření (DTA, dilatometrie).

3.2.3. Vzorky pro měření

Vzorky pro dilatometrická měření byly odrezávány diamantovým kotoučem ze samonosných nástřiků zkoumaných materiálů tak, aby bylo možno provést poslední dva řezy na jedno upnutí. Tím byla zajištěna dostatečná rovnoběžnost protilehlých ploch určených pro dotyk s podložkou vzorku a sondou dilatometru. Měřící plochy po oddělení vzorku byly ponechány v původním stavu, dále se neopracovávaly.

Délka při pokojové teplotě byla stanovena dilenškým mikrometrem s přesností 0,01 mm.

Pro termickou analýzu byly vzorky odebrány ze zbytků nerozrezných nástřiků samonosných desek. Prášek byl získáván ručním drcením v korundové třecí misce. Velikost částic a jejich podíl byl orientačně měřen pro Al_2O_3 a pro cordierit.

Označení vzorků byla sestavena podle následujícího klíče:

MATERIÁL RYCHLOST OHŘEVU METODA CYKLUS POZNÁMKA

Např. Ba10DTAII značí druhý cyklus termické analýzy vzorku čediče při ohřevu rychlosť $10\text{K}\cdot\text{min}^{-1}$. Pokud u označení vzorku chybí popis rychlosti ohřevu, metody, cyklu, jde o dilatometrické měření rychlosť $5\text{K}\cdot\text{min}^{-1}$ v prvním cyklu.

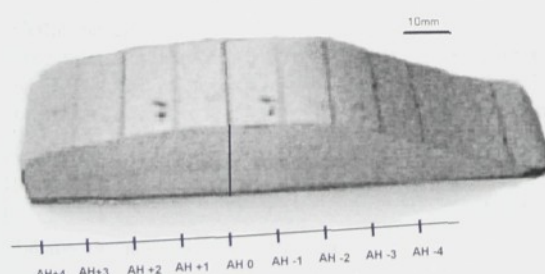
Teploty, rychlosť ohřevu a chlazení jsou uvedeny v Tab. 17 – 29.

Al_2O_3

Vzorky byly odebrány z nástřiků zhotovených během tří druhů zkoušek technologie plazmového stříkání:

1. Nástřík tlusté vrstvy samonosné desky (tl. vrstvy cca 12 mm)
2. Nástřík stopy hořáku, vzniklý vodorovnými nájezdy plazmatronu na krytu zařízení při výrobě samonosných trubek. Obr. 25
3. Nástřík z různých stříkacích vzdáleností (350, 450).

Add 1: V prvním případě byly vyříznuty hranoly tak, aby měřený rozměr u jednoho vzorku souhlasil se směrem stříkání a u druhého byl na něj kolmý. Jednotlivé vzorky jsou podle směrů dále nazývány jako vz. *kolmo na směr* a vz. *ve směru*.



Obr. 25: Nástřík stopy technického korundu s vyznačenými osmi vzorky pro dilatometrická měření označením polohy jednotlivých vzorků.

Práškové vzorky pro DTA byly drceny z odštěpků příslušných sekcí nástřiků ručně v korundové třecí misce. Jako referenční látka pro DTA vzorků technického korundu byl použit bílý korund.

Add 2: Vzorky byly odděleny tak, aby svým nejdéleším rozměrem sledovaly směr pohybu hořáku. Na Obr. 25 je tento směr znázorněn jednotlivými čarami rozřezového plánu. Dilatometrická měření byla tedy prováděna v rovině nástřiku ve směru pohybu plazmatronu.

Add 3: Podložky pro nástříky byly umístěny v jednotlivých vzdálenostech od hořáku na přípravku. Stříkání probíhalo stejně jako u předchozích případů vodorovně na svislou podložku.

Vzorek	Hmotnost vsázký [mg]	Procedura
5a15DTA	66,0	40-3-120(15)-15- 1450 (3)-15-50
AH+215DTA	96,9	Dto

Tabulka 17: Hlavní parametry DTA Al_2O_3

Vzorek	Popis polohy vz., označení	Měřený rozměr vzorku [mm]	Teplotní cyklus *
Nástrík tlusté desky	Kolmo na směr stříkání (5a-k)	11,25	50- <u>5</u> - 1450(15)-10-50
	Rovnoběžně se směrem stř. (5a-k)	6,6	50- <u>5</u> - 1450(15)-10-50
Nástrík stopy nástríku	AH+4	16,72	50- <u>3</u> -120(20)- <u>5</u> - 1450(15)-30-50
	AH +3	16,295	dtto
	AH +2	17,07	dtto
	AH +1	7,765	dtto
	AH 0	19,45	dtto
	AH -1	19,20	dtto
	AH -2	17,5	dtto
	AH -3	17,30	dtto
	AH -4	16,72	dtto
	AH 350	20,0	dtto
Nástrík z různých SD**	AH 450	20,0	dtto

*zápis teplotního cyklu: teploty ve °C prostým písmem, rychlosť ohřevu či chlazení v K.min⁻¹ podtrhnuté, výdrž na teplotě v minutách (v závorce) a maximální teplota **tučně**.

** stříkací vzdálenost (350 a 450 mm)

Tabulka 18: Teplotní cykly a měřený rozměr vzorků Al₂O₃ při dilatometrických měřeních.

Všechna měření DTA na vzorcích Al₂O₃ probíhala v kelímčích o objemu 100 µl vyrobených z Pt/Rh (90/10) %.

Čedič (basalt)

Jako referenční látka pro termální analýzu byl použit kaolín. Měření probíhalo v kelímčích Al₂O₃. Vzorek se po expozici na zkušebních teplotách nespekl ani nepropojil s korundovým kelímkem. K odstranění vsázky z kelímků stačilo vysypání a vyfouknutí.

vzorek	Rozměr [mm]	Teplotní cyklus
Ba5Dil	9,985	50- <u>3</u> -120(20)- <u>5</u> - 1100(15)-20-50

Tabulka 19: Dilatometrické měření čediče

vzorek	Hmotnost [mg]	Teplotní cyklus
Ba10DTA	79,6	50- <u>5</u> -120- <u>10</u> - 980(10)-10-50
Ba10DTAII	79,6	50- <u>5</u> -120- <u>10</u> - 980(10)-10-50

Tabulka 20: DTA čediče

Cordierit

Prášek pro stříkání cordieritu byl vyroben mletím a tříděním z tvarově chybňých výrobků fy. STEATIT Klenčí p. Čerchovem.

vzorek	Hmotnost [mg]	Teplotní cyklus
Cor25DTA	85,2	40-3-100-25- 1400(10) -25-100-3-40
Cor15DTA	92,5	40-3-120(15)-15- 1400(3) -15-50

Tabulka 21: DTA cordieritu

vzorek	Rozměr [mm]	Teplotní cyklus
Cor5Dil	12,31	50-3-100-5-150-5- 1350(2) - <u>30</u> -50
Cor5IIDil	11,04	50-3-100-5-150-5- 1350(2) - <u>30</u> -50

Tabulka 22: Dilatometrická měření cordieritu

Dilatometrické měření bylo na základě výsledků DTA omezeno do teploty 1350 °C. Nad touto teplotou dochází k částečnému natavení, které by mohlo zničit nákladné vnitřní vybavení dilatometru. Vzorek pro dilatometrické měření byl po prvním cyklu měření zabroušen na metalografickém papíru pro obnovení rovnoběžnosti protilehlých konců.

Granáty

Pyrop: Nástřík ze stříkací vzdálenosti 400 mm tohoto minerálu byl ručně nadrcen v korundové misce. Vsázka byla navážena v obou případech na stejnou hmotnost a sklepána v Al₂O₃ kelímku. Jako reference byl použit kaolin.

vzorek	Hmotnost [mg]	Teplotní cyklus	Vakuování prac. prostoru
PY10DTAP	73,9	50-5-120-10- 980(5) -10-50	Ne
PY10DTAV	73,9	dtto	Ano
PY10DTAIIIV	73,9	dtto	Ano

Tabulka 23: Vzorky pro DTA plazmového nástříku pyropu ze stříkací vzdálenosti 400mm.

vzorek	Hmotnost [mg]	Teplotní cyklus
GBK350DTAN	52,1	50-5-120-10- 980(5) -10-50
GBK350DTAV	58	dtto
GBK450DTAN	57,7	dtto
GBK450DTAV	54,4	dtto
GBM350DTAN	53,0	dtto
GBM350DTAV	56,2	dtto
GBM450DTAN	50,5	dtto
GBM450DTAV	63,1	dtto

Tabulka 24: DTA nástříku granátu almandinu. Měření předcházelo vakuování prostoru vzorku u všech měření (V-vychlazeno, N-bez tepelného zpracování)

Mullit

vzorek	Rozměr [mm]	Teplotní cyklus
MU5Dil	12,29	40-5-150-5-1450-5- 1480(15) -30-50
MU5DilIII	12,15	dtto
MU5DilIII	12,15	dtto

Tabulka 25: Dilatometrická měření nástříku mullitu

vzorek	Hmotnost [mg]	Teplotní cyklus
MU5DTA	96,7	40-5-150-5-1450-5- 1480(15) -30-50
MU5DTAII	96,7	40-5-150-5-1450-5- 1480(15) -30-50
MU15DTA300	138,07	40-3-120-15- 1400(3) -15-50
MU15DTA400	128,08	dtto
MU15DTA400II	99,38	dtto
MU20DTA	104,0	40-20-150-20-1450-20- 1480(10) -30-50
MU5DTA	107,4	454-5-500-5-1450-5- 1480(15) -30-50
MU2,5DTA	96,1	40-20-500-2,5-1450-2,5- 1480(10) -30-50

Tabulka 26: DTA náštřiku mullitu

Perovskit (CaTiO_3)

vzorek	Hmotnost [mg]	Teplotní cyklus
CaTi15DTA350	85,9	40-3-120-15- 1400(3) -15-50
CaTi15DTA450	66,7	40-3-120-15- 1400(3) -15-50

Tabulka 27: Vzorky pro DTA perovskitu CaTiO_3

vzorek	Rozměr [mm]	Teplotní cyklus
CaTi350Dil	9,97	50-3-120(20)-5- 1450(15) -30-50
CaTi350DilII	9,85	50-3-120(20)-5- 1450(15) -30-50
CaTi450Dil	10,01	50-3-120(20)-5- 1450(15) -30-50

Tabulka 28: Dilatometrická měření perovskitu CaTiO_3 **Wollastonit**

vzorek	Hmotnost [mg] Rozměr [mm]	Teplotní cyklus
W5Dil	10,0	40-5-150-5- 1500(15) -30-50
W15DTAN	101,8	40-3-120-15- 1400(3) -15-50
W15DTANII	101,8	40-3-120-15- 1400(3) -15-50
W15DTAP	101,8	40-3-120-15- 1400(3) -15-50
W15DTAPII	101,8	40-3-120-15- 1400(3) -15-50

Tabulka 29: Teplotní režimy dilatačního měření a DTA wollastonitu. Prášek „prostřik“ (P) byl získán z částic nedopadlých na podložku při stříkání s umístěním podavače 30 mm od ústí horáku

3.3. METODY VYHODNOCOVÁNÍ

3.3.1. Diferenční termická analýza, popis zařízení

DTA je dynamická tepelně analytická metoda, při níž se sledují teplotní efekty zkoumaného vzorku, spojené s fyzikálnimi nebo chemickými změnami při jeho lineárním ohřevu nebo ochlazování [97]. Vlastní princip metody spočívá v měření teploty vzorku a referenční látky diferenčně zapojeným termočlánkem. Takto zapojený termočlánek umožňuje měřit rozdíly teplot mezi měřenými místy. Pokud dojde ve vzorku k tepelně zabarvenému ději, růst (popř. pokles) teploty zkoumané látky přestane sledovat naprogramovaný lineární průběh. Pokud dochází k exotermické reakci, teplota vzorku roste, a pokud k endotermické, teplota klesá. Rozdíl teploty vzorku a plánovaného průběhu teploty sledovaného referenčním materiálem vytvoří křivku s odezvami na teplem zabarvené děje (píky). Jedná se například o děje fyzikálního charakteru: změna modifikace, sublimace, krystalizace nebo chemického char. dehydratace, reakce v pevné fázi, tavenině, plynné fázi.

Zásadní rozdíl mezi DTA a ostatními termicko-analytickými metodami je v tom, že u ostatních metod se snažíme udržet teplotu co nejpřesněji v mezích daných programem. U DTA je naopak odchylka od požadované teploty hlavním měřeným parametrem. Nevýhodou je, že v průběhu reakce se stává teplota v podstatě nekontrolovatelnou, což znesnadňuje vyhodnocování kinetických dat [98].

Vzhledem k tomu, že teplotní odchylky jsou závislé na uspořádání měřicího systému, je třeba věnovat značnou pozornost experimentálním podmínkám. Např. geometrické uspořádání, nosiče vzorků, materiál nosiče i kelímku, druh termočlánků a jejich kontakt se vzorkem, fyzikální a chemické vlastnosti, teplotní regulace, druh atmosféry. V podstatě lze rozdělit faktory a vlivy, které mohou ovlivnit průběh zkoušky, do tří skupin [97]:

- Faktory instrumentálního charakteru
 - tepelný zdroj a teplotní regulační systém
 - systém měření teploty
 - systém snímání a záznamu hodnot
- Faktory metodické
 - způsob ohřevu
 - geometrické uspořádání a řešení přístroje
 - vliv atmosféry a způsob komunikace atmosféry a vzorku
 - způsob umístění a úpravy vzorku
- Vlastnosti zpracovávaných látek
 - fyzikální a chemické vlastnosti zkoumaného materiálu
 - fyzikální a chemické vlastnosti referenčního materiálu

Kvalitativní pohled na křivku DTA umožňuje zjistit o tepelně zabarveném ději následující informace [98]:

- Jeho přítomnost při dané teplotě
- Charakter (endotermický nebo exotermický)
- Časový průběh
- Teplotu počátku a konce
- Vratnost (během teplotního cyklu ohřev/chladnutí jsou u vratného děje píky příslušející těmto dějům v zrcadlové orientaci endo/exo)

Charakteristické teploty jsou ovlivněny výše uvedenými vlivy. Konkrétně lze z oblasti instrumentálních faktorů uvést například vliv materiálu kelímku pro vzorek a pro referenční látku: keramický kelímek poskytuje křivky s dobře vytvořenými endotermickými efekty na rozdíl od kovového, který poskytuje lepší efekty v užším teplotním intervalu a lépe vytvořené

endotermní efekty. Dále rychlosť ohřevu má vliv nejen na posun teplot píku, ale i na jeho tvar (Obr. 26). Vliv atmosféry zahrnuje působení dynamické nebo statické atmosféry, její složení a interakci se zkoumanou látkou. Například inertní atmosféra může potlačit exotermický pík oxidační reakce. Z metodických faktorů má vliv mj. úprava vzorku, udusání, předběžná úprava. Zrnitost, resp. velikost částice má velký vliv na polohu teploty píku. Menší částice mají více aktivních míst, jako jsou hrany a rohy. Aktivní povrch, na němž závisí reaktivita látky, tedy roste se zmenšováním rozdílu částic a jeho velikost se stává důležitou hlavně při vyšších teplotách, je tedy přrozené, že menší částice má snahu reagovat ochočněji. Většina reakcí v tuhé fázi je kontrolovaná difúzním mechanismem a lze očekávat, že tento mechanismus bude velikostí částic ovlivňován. S velikostí částice lze spojit i vliv stupně její kryštaličnosti, který je vyjádřen dokonalostí krystalové mřížky. Se vzrůstem stupně kryštaličnosti roste i zřetelnost a ostrost pozorovaných efektů.

Při DTA registrujeme teplotní rozdíl, tj. elektromotorické napětí diferenčního termočlánku umístěného ve zkoumaném a referenčním materiálu. V okamžiku, kdy ve vzorku neprobíhá reakce, má být hodnota teplotního rozdílu co nejmenší a základní nulová linie má mít co nejmenší sklon. Lze říci, že čím rychlejší bude ohřev a čím rozdílnější bude hmota nebo poloměr vzorku a jejich tepelně fyzikální vlastnosti, tím více se bude křivka odklánět od nulové linie.

Touto metodou lze tedy sledovat entalpicke změny, při vědomí, že je to metoda dynamická, nedochází při ní k ustálení rovnováhy, a tak některé teploty nemusí odpovídat termodynamickým rovnovážným teplotám. Lze říci, že fázové změny, redukce, dehydratace a některé reakce rozkladné se projevují endotermními efekty, zatímco oxidace, některé rozkladné reakce a kryštalizace jsou provázeny efekty exotermními.

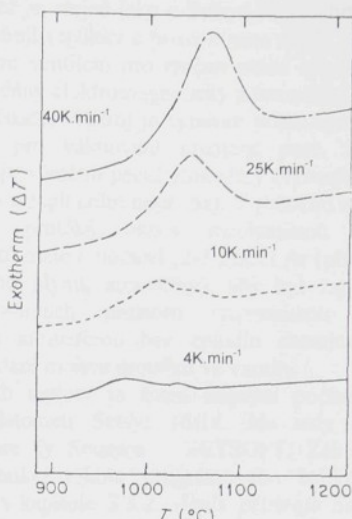
Kromě záznamu diferenční termické křivky jsou známy ještě způsoby zaznamenání přímo křivky ohřevu a ochlazování, nebo záznam inverzní křivky ohřevu [99].

Integračním intervalom je v této práci nazýván úsek na křivce DTA ohrazený teplotami při kterých dochází k odchýlení průběhu tepelného toku od nulové osy. V tomto intervalu dochází k tepelně zabarvenému ději a jeho okrajové teploty jsou zadávány do programu pro výpočet charakteristických teplot odeszvy (píku). Jde o počáteční teplotu, teplotu vrcholu píku, koncovou teplotu a velikost plochy píku určenou integrací zpravidla nad lineární spojnici okrajových bodů integračního intervalu [100].

Popis měřicího zařízení (TGA-DTA 92/16.18)

Sestava měřicího přístroje fy Setaram z Francie umožňuje současně provádět termogravimetrická měření a DTA vzorku v práškové podobě.

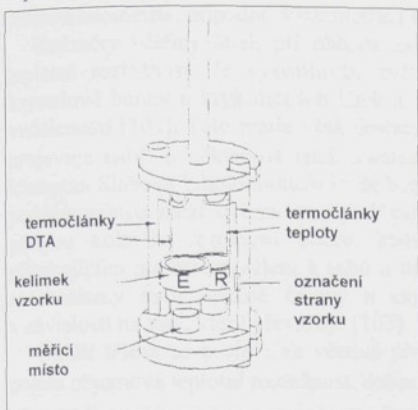
Základní součástí přístroje je měřicí tyč, zavěšená na citlivých vahách. Měřicí korundová tyč je opatřena držáky kelímků, ve kterých jsou umístěny konce diferenčně zapojených termočlánků. Dva kelímky o obsahu 100 mm^3 s Pt nebo čistého Al_2O_3 stojí vlastní vahou na těchto držácích. V jednom z nich je vzorek a v druhém je referenční látka, případně zůstává volný (Obr. 27). Vlastní měření probíhá v peci s různou atmosférou, ohřev je



Obr. 26: Vliv rychlosti ohřevu na křivku DTA plazmově stříkaného cordieritu [45]

prováděn grafitovým topným tělesem. Topný element je, stejně jako u Setsys-16/18 chráněn průtokem Ar. Termočlánky Pt/Rh 6 %/30 % umožňují regulaci a provoz pece do 1750 °C [101]. Přístroj v ÚFP AV ČR je vybaven přídavným ventilem pro změnu pecní atmosféry v průběhu měření. Venty tohoto přístroje jsou ovládány elektromagneticky z terminálu řídícího počítače. Přístroj je vybaven přídavným zařízením pro vakuování prostoru pece, které usnadňuje výměnu pecní atmosféry (vyčerpáním vzduchu a zaplněním např. Ar). V průběhu experimentu protéká okolo mechanismu vah a kelímku malé množství (2-3 l/hod) Ar (případně jiného plynu, atmosféry), aby byl zajištěn stálý průplach prostoru mechanismu vah čerstvou atmosférou bez zplodin chemických reakcí, které mohou probíhat ve vzorku.

Průběh teploty je řízen stejným počítačem jako dilatometr Setsys 16/18. Jde tedy opět o software fy Setaram – SETSOFT. Základní výčet funkcí tohoto programového balíku je uveden v kapitole 3.3.2. *Popis přístroje Setsys 16/18*. Na rozdíl od dilatometru se zaznamenává křivka průběhu teploty, tepelného toku a změny hmotnosti.



Obr. 27: Měřící hlava pro termickou analýzu

Aplikace DTA na materiály zkoumané v této práci: Křivky DTA byly stanoveny ve všech případech měření na vzorcích prášku nadrceného ručně v korundové třecí misce, a to pokud možno na nejmenší velikost částic. Na vzorku cordieritu byly měřeny podíly různých velikostí částic ve vzorku. Průměrná hodnota zrnitosti obsažené z 50 % je 35,5 µm. Kelímky, které byly použity pro vzorky i srovnnávací materiál, byly vyrobeny ze slitiny PtRh 10 % a jejich rozměr je 5,2 x 6,5 při objemu 100 µl.

Jako srovnnávací materiály byly použity dvě látky. Kaolín a korund, jejichž orientační chemická analýza, získaná RTG fluorescencí, je uvedena v Tab. 30.

	Al ₂ O ₃	SiO ₂	K ₂ O	TiO ₂	Fe ₂ O ₃	CaO
kaolín	32,9	62,9	1,1	0,8	0,7	0,2
korund	98,2	1,0	-	-	0,2	-

Tabulka 30: Orientační chemické složení referenčních látek pro DTA (údaje v hm %).

3.3.2. Termodilatometrie, popis zařízení

Metodika a příslušný vědní obor zabývající se teplotní roztažností látek se nazývá termodilatometrie, případně dilatometrie (TMA - thermomechanical analysis).

Rozměry většiny látek při ohřevu za konstantního tlaku rostou. Tento jev se nazývá teplotní roztažnost. Je vysvětlován zvětšením tepelných kmitů atomů a tím zvětšením krytalové buňky u krytalických látek a zvětšováním meziatomárních a mezimolekulárních vzdáleností [102]. Tato teorie však dostatečně neobjasňuje zápornou tep. roztažnost, která se projevuje např. u některých látek s tetraedrální mřížkou při nízkých teplotách a u fáze β křemene. Slabostí tohoto modelu je, že bere v úvahu pouze podélné složky vibračního pohybu podél spojnice mezi dvěma atomy. V pevných látkách se nacházejí též složky relativního pohybu kolmého k tomuto směru, které způsobují vzrůst vlivu druhého mechanismu, přitahujícího atomy navzájem k sobě a tím zmenšujícího vzdálenost mezi atomy. Tyto dva mechanismy mají opačné účinky a expanze materiálu bude pozitivní, resp. negativní v závislosti na tom, který převažuje [103].

Ohřátí tělesa se projeví ve většině případu zvětšením objemu, [104] proto byl zaveden pojem objemová teplotní roztažnost, definovaný jako

$$\beta = \frac{1}{V_0} \cdot \frac{dV}{dT} \quad [\text{K}^{-1}] \quad (1)$$

V technické praxi je častěji používaná délková teplotní roztažnost (např. ČSN ISO 7991).

Střední součinitel délkové teplotní roztažnosti [102] v uvažovaném teplotním intervalu α (t_0 ; t) vyjadřuje poměr rozdílu délky vzorku ($l - l_0$) v teplotním intervalu ($t - t_0$) k rozpětí tohoto intervalu, vztázený na původní délku vzorku

$$\alpha_{t_0; t} = \frac{l}{l_0} \cdot \frac{l - l_0}{t - t_0} = \frac{\Delta l}{l_0 \cdot \Delta t} \quad (2)$$

Udává relativní změnu délky vzorku zkoušeného materiálu při změně teploty o $1 \text{ } ^\circ\text{C}$ v teplotním intervalu (t_0, t).

Je také vyjádřen jako směrnice dilatometrické křivky

$$\alpha = \frac{l}{l_0} \cdot \left(\frac{dl}{dT} \right) \quad (3)$$

kde dl je prodloužení při dané teplotě T .

Pro materiály isotropní nebo s mřížkou krychlově symetrickou je vztah mezi α a β vyjádřen jednoduchou rovnicí

$$\beta = 3\alpha$$

U materiálů s anizotropní roztažností je třeba α vztáhnout k jednotlivým směrům. V [102] je popsán výpočet pro nejčastější krytalografická uspořádání. Nejjednodušším z nich je osová souměrnost, pro kterou lze α v určitém směru vyjádřit jako

$$\alpha = \alpha_{rovn.} \cos^2 \Theta + \alpha_{kol.} \sin^2 \Theta$$

a následně pro objemový součinitel β :

$$\beta = 2\alpha_{kol.} + \alpha_{rovн.}$$

kde $\alpha_{kol.}$ je α ve směru kolmém k rovině souměrnosti,

$\alpha_{rovн.}$ je α ve směru rovnoběžném s rovinou souměrnosti.

Součinitel teplotní délkové roztažnosti je charakteristickou látkovou konstantou, může se tedy v některých případech použít k identifikaci přechodu mezi jednotlivými fázemi materiálu vzorku. Fázové transformace jsou zpravidla provázeny změnou součinitele teplotní roztažnosti, která se projeví na dilatační křivce [104]. Proměny prvního druhu se projevují na

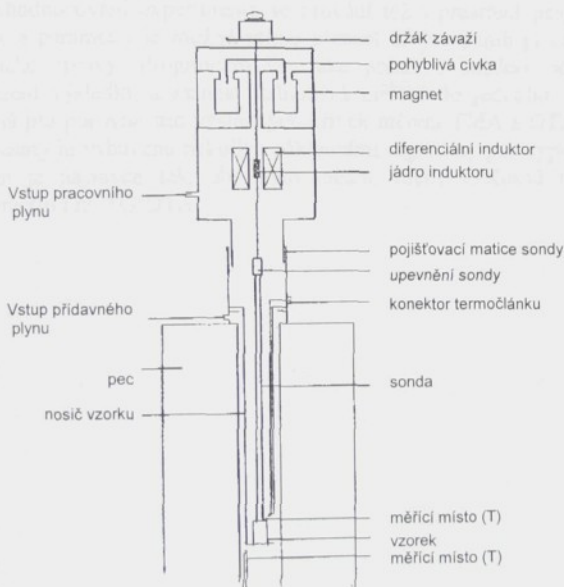
křívkách délkového prodloužení skokem a druhého druhu zlomem. Pomocí dilatometrického měření lze také sledovat procesy slinování [104] a průběhy chemických reakcí v tuhých látkách [102].

Měření teplotní roztažnosti je založeno na odečítání prodloužení vzorku při (zpravidla) konstantní rychlosti ohřevu. Podle způsobu odečtu změny délky můžeme rozdělit dilatometrická měření podle několika hlavních principů. Nejpoužívanější je mechanický převod délkových změn měřící tyčí na indukční snímač při minimálním zatížení. Další možnosti jsou opticko-mechanické nebo tenzometrické. Podle uspořádání a konstrukce lze rozdělit zařízení na dilatometry se svislou a vodorovnou měřící komorou.

Popis měřicího zařízení (Setsys 16/18)

Dilatometr fy Setaram, používaný pro měření v této práci (Obr. 28), má svislou měřící komoru. Toto uspořádání umožňuje minimalizovat přitlačnou sílu mezi dotykem sondy a vzorkem, jehož maximální rozměry jsou: průměr 10 mm a délka 20 mm. Dilatometr je opatřen

systémem pro zajištění řízené atmosféry v prostoru vzorku. Může pracovat se zatížením od 2 g s možností přídavného závaží až 200 g. Dilatometr Setsys 16/18 laboratoře ÚFP je vybaven držákem vzorku z Al_2O_3 pro měření při provozních teplotách do 1750 °C a termočlánkem PtRh 10 % / PtRh30 % pro teploty do 1750 °C. Přístroj je chlazen protékající vodou z vodovodního řádu. Při poklesu tlaku vody (resp. průtoku) dojde automaticky k odpojení topného tělesa a přístroj začíná samovolně chladnout. To je výhoda při trvalém poklesu vody ve vodovodním řádu, při krátkodobém výpadku tlaku však



Obr. 28: Schema dilatometru SETSYS 16/18

způsobí nežádoucí ukončení měření. Ohřev vzorku se provádí ve válcové svislé korundové trubce, která tvoří vnitřní plášť peci. Prostor peci je hermeticky uzavřen a měření probíhají ve zvolené atmosféře. Je možné uskutečnit měření v inertní nebo aktivní atmosféře, případně za sníženého tlaku. Jako aparatura pro vakuování prostoru vzorku je instalována rotační vývěra. Vzhledem k urychlení výměny pecní atmosféry po zavezení vzorku je doporučeno odčerpat vnitřní prostor a poté jej propláchnout zvýšeným průtokem ochranného plynu. Jako ochranný plyn je v ÚFP instalován Ar 99,99. Všechna uskutečněná měření tedy probíhala v atmosféře Ar. Vlastní ohřev zajišťuje grafitový topný element, ohřívaný odporovým teplem. Pracuje v ochranné atmosféře Ar 99,999. Průtok plynu pro prostor vzorku je $1 - 2,5 \text{ l} \cdot \text{min}^{-1}$, okolo topného elementu $1 - 2,5 \text{ l} \cdot \text{min}^{-1}$.

Vzorek se vkládá při nahoru vytaženém držáku vzorků. Opěrná tyč, převádějící pohyb čela vzorku do měřícího elementu, je řízena z ručního módu ovládání. Pro zavážení vzorků bylo použito zatížení 55 g, při vlastním měření potom 5 g. Jako ochrana před kontaminací měřícího zařízení materiélem vzorku byly používány vložné korundové destičky, silné 1,0 – 1,03 mm. Vzhledem k nenulové a nelineární roztažnosti vnitřního vybavení dilatometru je třeba provést pro každý teplotní cyklus kalibrační měření, jehož výsledek se odečte od vlastního měření vzorku. Rozlišovací schopnost snímače pohybu sondy je udávána 0,4 nm.

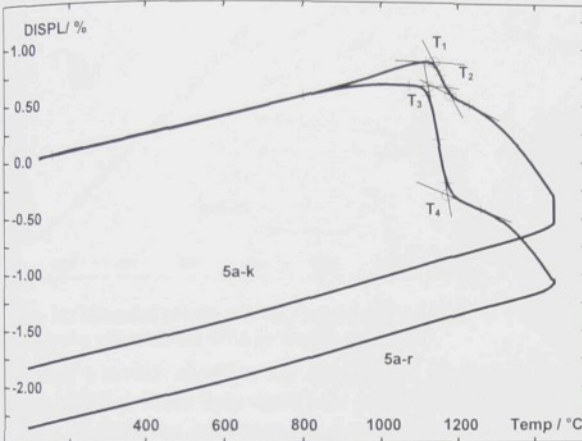
Řídícím systémem s programovým balíkem Setsoft výrobce (Setaram, Francie) lze volit průběh teploty měření v libovolných lineárních na sebe navazujících úsecích. Ohřev a ochlazování je možné nastavit až do rychlosti $99\text{ }^{\circ}\text{C}.\text{min}^{-1}$. Měřené hodnoty jsou odečítány v automaticky stanovených časových intervalech. Časové prodlevy mezi jednotlivým odečtením hodnot jsou vypočteny rozdělením doby měřeného úseku na 5000 dílků. Volbou celkové doby jednotlivých měřených úseků tak lze „zahustit“ nebo „zředit“ počet odečtení hodnot měření během daného časového úseku. Programové vybavení umožňuje řízení procesu v ručním nebo automatickém režimu.

Vyhodnocování experimentů se provádí též v prostředí programů SETSOFT a výsledné křivky a parametry je možné přímo přenést do programů pro zhotovení dokumentace nebo technické zprávy. Programem lze také poměrně snadno zálohovat data, volit způsoby zobrazení výsledků a skládat jednotlivá měření do jednoho grafu. Tato funkce je zvlášť vhodná pro porovnávání výsledných křivek měření TMA a DTA, příp. TG. Programová část Processing je vybavena několika základními algoritmy pro výpočty z naměřených dat. Řídící systém je nastaven tak, aby bylo možno měřit současně na obou přístrojích, tzn. na dilatometru i na TG-DTA.

4. VÝSLEDKY A JEJICH DISKUSE

4.1.1. Al_2O_3

Měření na materiuu Al_2O_3 bylo zaměřeno na stanovení tepelně zabarvených procesů při teplotách do 1450 °C. Z výběru těchto měření byl sestaven příspěvek práce [95]. Pozornost byla soustředěna na dilatometrické chování technického korundu.



Obr. 29: Dilatometrické měření korundu 5a ve dvou kolmých směrech při prvním ohřevu. Teploty viz. tabulka 1.

odebrané z nástřiku silného cca 12 mm, byly podrobeny dilatometrické analýze ve dvou na sebe kolmých směrech. U prvního vzorku byla měřena teplotní roztažnost ve směru rovnoběžném

osou hořáku a tedy kolmém na podložku. Druhý vzorek byl měřen v rovině nástřiku, kolmo na osu hořáku (Obr. 29). Ve směru kolmém na osu hořáku je smrštění zapříčiněné

transformací $\gamma-Al_2O_3$ na $\alpha-Al_2O_3$ o 0,514 % menší než ve směru kolmém (Obr. 29, Tab. 31). Navazující větev dilatometrické křivky nad teplotou T₂ resp. T₄ je v podstatě shodná u obou směrů, co se týče průběhu i velikosti smrštění. Část nástřiku byla rozdrcena a analyzována DTA. Na křivce DTA se projevil pouze jeden exotermický pík v oblasti transformace $\gamma-Al_2O_3$ na $\alpha-Al_2O_3$.

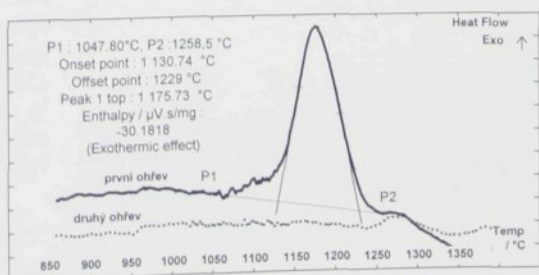
chování technického korundu. Dilatometrická měření byla doplněna tepelnou analýzou (DTA) pro upřesnění polohy a intenzity tepelně zabarvených dějů. Měření délkové roztažnosti bylo provedeno na vzorcích z silného nástřiku, na vzorcích odebraných ze stopy nástřiku vzniklé nájezdů hořáku při výrobě samonosných keramických trubek a na vzorcích nástřiků zhotovených při různých stříkacích vzdálenostech. Podrobné údaje o vzorcích viz kapitola 3.2.3. *Vzorky pro měření.*

Dva vzorky (5a-k, 5a-r),

odebrané z nástřiku silného cca 12 mm, byly podrobeny dilatometrické analýze ve dvou na sebe kolmých směrech. U prvního vzorku byla měřena teplotní roztažnost ve směru rovnoběžném

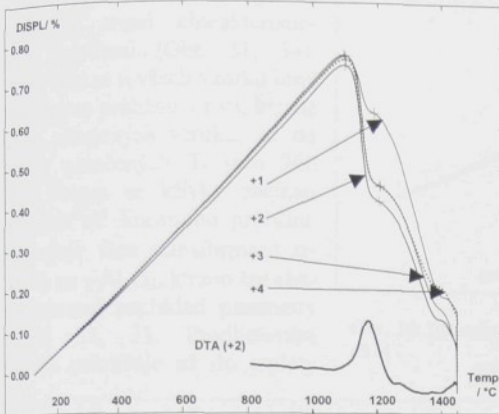
Vzorek	Teplota [°C]	Smrštění mezi T ₁ a T ₂ resp. T ₃ a T ₄ [%]	$\alpha \times 10^{-6} K^{-1}$ 150 – 800 °C
Nástřik kolmo na směr stříkání (5a-k)	T ₁ 1136,66	0,254	7,75
	T ₂ 1179,94		
Nástřik rovnoběžně se směrem stříkání (5a-r)	T ₃ 1121,56	0,768	7,68
	T ₄ 1171,85		

Tabulka 31: Teploty, smrštění a TEC pro nástřik korundu 5a



Obr. 30: DTA nástřiku technického korundu (vzorek 5a), první a druhý ohřev

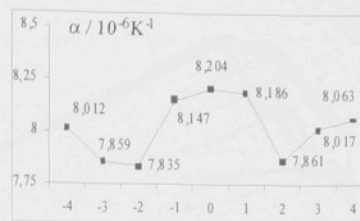
Vypočtené charakteristické teploty jsou v Obr. 30. Hodnoty koeficientu teplotní roztažnosti byly stanoveny do teploty 800 °C, protože na teplotě cca 810 °C se začínají dilatační křivky (5a-k, 5a-r) oddalovat. Počátek smršťování způsobeného transformací, jehož teplota je cca 1130 °C,



Obr. 31: Dilatační křivky vzorků s umístěním ve stopě +1 až +4 a výřez křivky DTA ze vzorku pozice +2

korundu v rovině nástřiku byl analyzován dilatometrickým měřením vzorků z různých sekcí stopy nástřiku, která byla rozdělena podle [8] na části stejnoměrně vzdálené od trajektorie osy hořáku. Vzdálenost od středu stopy se projevila na velikosti smršťení ve fázi transformace $\gamma\text{-Al}_2\text{O}_3$ na $\alpha\text{-Al}_2\text{O}_3$ (Obr. 31). Další průběh redukce délky vzorku probíhal u všech zkoušených vzorků podobně. Nejmenší transformační smršťení se projevilo u vzorku odebraného ze středu stopy nástřiku (Tab. 31). Střední koeficienty lineární teplotní roztažnosti byly zjištěny v teplotním rozsahu 200 – 850 °C a jsou uvedeny v Obr. 32.

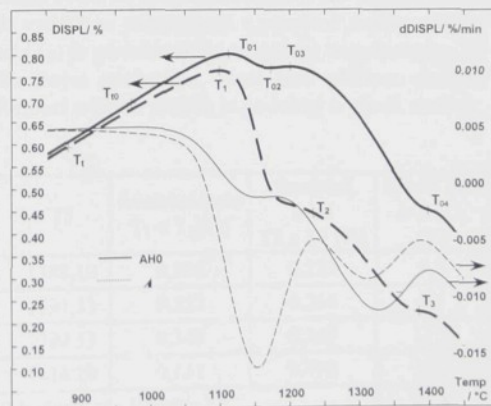
Pozice 0. Obsah modifikace α v této části nástřiku je vysoký a transformace γ - α tak nestačí překrýt další prodlužování vzorku způsobené nárůstem teploty. To se projevilo prodloužením po transformačním smršťení o dalších 0,003 %, což je sice hodnota na hranici měřitelnosti, přesto ale prokazatelně kladná Obr. 33. Při délce vzorku jde o prodloužení o 58,4 nm (citlivost přístroje deklarovaná výrobcem je 0,4nm). Hodnoty smršťení byly odečítány mezi lokálními maximy dilatační křivky - na rozdíl od ostatních křivek, kde byla použita lokální maxima derivace dilatační křivky (inflexní body).



Obr. 32: Vypočtené hodnoty TEC pro jednotlivé sekce nástřiku technického korundu v intervalu 200 až 800 °C

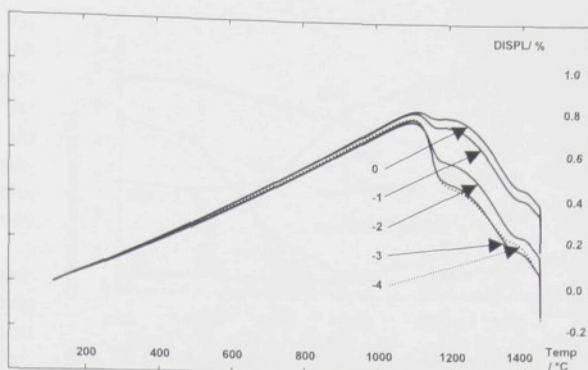
odpovídá počátkům první fáze smršťování na dilatačních křivkách nad teplotami T_2 a T_4 . Na křivce druhotného ohřevu se již žádný tepelně zabarvený děj v této oblasti neprojevil.

Vliv obsahu $\alpha\text{-Al}_2\text{O}_3$ na smršťování



Obr. 33: Výřez vysokoteplotních částí dilatačních křivek ze vzorků 0 a +4 s určením hlavních teplot a s teplotami počátku transforace $\alpha\text{-Al}_2\text{O}_3$ na $\gamma\text{-Al}_2\text{O}_3$ pro osový vzorek: $T_0 = 1087,1$ °C a pro polohu +4: $T_{t+4} = 1063,95$ °C.

Pozice -4 až +4: dilatační křivky vzorků oddělených z okrajových částí stopy se vyznačují třemi charakteristickými partiemi (Obr. 31, 34). První část se u všech vzorků blíží lineárnímu průběhu a trvá, kromě dvou okrajových vzorků, až do teplot označených T_t (cca 960 °C). Potom se křivky začínají odklánět od lineárního průběhu. Následuje fáze transformace α - Al_2O_3 na γ - Al_2O_3 , kterou lze charakterizovat například parametry z Tab. 32, 33. Prodlužování vzorku pokračuje až do teploty



Obr. 34: Dilatační křivky vzorků s umístěním ve stopě na pozicích 0 až -4

Vzorek	T_{01}	T_{02}	T_{03}	T_{04}	smrštění[%]
AH 0	1113,11	1172,96			0,032
		1172,96	1198,77		-0,003
			1198,77	1400,61	0,328

Tabulka 32: Teploty a smrštění v ose nástřiku AH [°C].

fáze α - Al_2O_3 ve struktuře nástřiku. Z lokálního minima na derivaci dilatační křivky byla v této fázi u všech vzorků stanovena teplota inflexního bodu na křivce smrštění. Tato teplota udává polohu nejrozvinutější transformace a u všech vzorků se pohybovala v poměrně úzkém rozpětí mezi 1147 a 1154 °C. Následující inflexní bod (T_2) je považován za ukončení transformace. Po transformaci ještě dochází ke slinování, nebo jiným pochodem, které jsou příčinou dalšího smrštění. Tyto děje nastupují vzápětí po transformaci a jejich průběh je podobný u všech vzorků.

T_1 , kde je dosaženo maximálního prodloužení. Za touto teplotou dochází ke smrštěním vzorku vlivem transformace. Velikost smrštění je v nepřímé závislosti na poměru

Vzorek	T_t	T_m	T_1 ,	T_2	T_3	Smrštění mezi T_1 a T_2 [%]	Smrštění mezi T_2 a T_3 [%]	Obsah fáze α - Al_2O_3 (%)
AH+4	880,5	1153,7	1099,68	1236,68	1388,10	0,326	0,223	9,8
AH+3	969,5	1153,8	1099,68	1235,20	1391,33	0,332	0,264	9,1
AH+2	975,5	1150,5	1097,35	1233,74	1399,53	0,348	0,269	11,5
AH+1	975,24	1151,01	1097,5	1200,2	1414,28	0,131	0,490	31,7
AH 0	972,37	1554,8				Další hodnoty viz Tabulka 32		47,8
AH-1	986,0	1147,85	1104,97	1190,58	1399,07	0,062	0,334	42,0
AH-2	966,5	1151,3	1098,54	1219,2	1394,22	0,193	0,332	16,2
AH-3	961,25	1153,07	1100,02	1231,71	1382,18	0,312	0,281	5,1
AH-4	885,1	1153,64	1099,13	1236,11	1367,15	0,337	0,22	9,5

Tabulka 33: Teploty a smrštění vzorků AH+4 až AH-4. Obsah fáze alfa stanoven RTG difrakcí.

Diskuse

Při průletu částice Al_2O_3 plazmovým proudem, po jejím dopadu a během následujícího ohřevu dochází k transformaci modifikace α na γ a částečně zpět na $\alpha \text{ Al}_2\text{O}_3$.

Dilatační křivky plazmového nástřiku ve směru kolmém a rovnoběžném s osou hořáku se liší v počátku transformace a v jejím kvantitativním průběhu. Měření v rovině nástřiku (5a-k) prokázalo třikrát menší smrštění vlivem transformace než ve směru k němu kolmém, tedy rovnoběžném s osou hořáku. Tento jev není možné vysvětlit rozdílným obsahem $\alpha\text{-Al}_2\text{O}_3$, protože v obou případech se jedná o jednu partii nástřiku se shodným obsahem fáze $\alpha\text{-Al}_2\text{O}_3$ a to pro vzorky z obou směrů. Rozvoj transformace uvedeným způsobem je v souladu s Obr. 5 (kap. 1.2.1.), kde došlo k podobnému rozdílu v transformaci ve dvou kolmých směrech nástřiku. Rozdíl ve smrštění pravděpodobně souvisí s orientací nově vzniklých zrn $\alpha\text{-Al}_2\text{O}_3$. Popsané chování nástřiku Al_2O_3 nabádá k domněnce, že k překrystalizaci dochází přednostně ve směru růstu dendritů vzniklých při tuhnutí a tvorbě splatu. Další upřesnění orientace vzniklých častic $\alpha\text{-Al}_2\text{O}_3$ bylo možné získat pomocí transmisní elektronové mikroskopie. Odchýlení dilatačních křivek mezi sebou je pravděpodobně zapříčiněno tvorbou zárodků $\alpha\text{-Al}_2\text{O}_3$. Je možné konstatovat, že **do teploty 800 °C jsou roztažnosti nástřiku Al_2O_3 shodné ve směru kolmém i rovnoběžném s podložkou**, rozdíl se začíná projevovat v okolí transformace. Další pochody, které následují po transformaci, jsou již pro oba směry shodné, co se týká tvaru dilatační křivky i velikosti smrštění. Posun exotermického píku DTA směrem k vyšším teplotám, než které patří k transformaci na dilatační kfivce, lze vysvětlit vyšší rychlosť ohřevu vzorku při DTA.

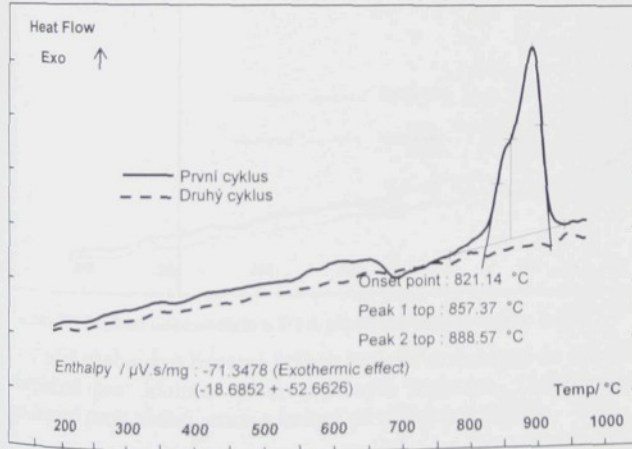
Měření teplotní roztažnosti v jednotlivých sekcích stopy nástřiku prokázalo souvislost mezi obsahem $\alpha\text{-Al}_2\text{O}_3$ a vzdáleností od středu osy nástřiku. **Největší smrštění způsobené transformací bylo zjištěno v okrajových vzorech nástřiku**, tam, kde nástřik pro průběh transformace během technologického procesu nebyl dostatečně vyhřátý. Nejvyšší obsah $\alpha\text{-Al}_2\text{O}_3$ a tím nejnižší smrštění od transformace měl vzorek vyříznutý z osy nástřiku. U tohoto vzorku nestačila transformace „překrýt“ celý úsek růstu prodloužení, proto ještě po ukončení transformace dochází k prodloužení vzorku. Ostatní vzorky v této fázi ohřevu pouze pozastavily nebo zmírnily zmenšování své délky.

Na vzorcích zhotovených z nástříků s různými stříkacími vzdálenostmi se prokázala **malá citlivost korundu na stříkací parametry** v použitém technologickém uspořádání. Dilatační křivky se téměř překrývají, teploty transformace odpovídají předchozím měřením. Křivky druhého ohřevu se lépe blíží lineárnímu průběhu teplotní roztažnosti. TEC je v obou teplotních cyklech pro obě stříkací vzdálenosti téměř shodný. Při druhém teplotním cyklu se dilatační křivky kryjí až do transformace při cca 1350 °C.

4.1.2. Čedič

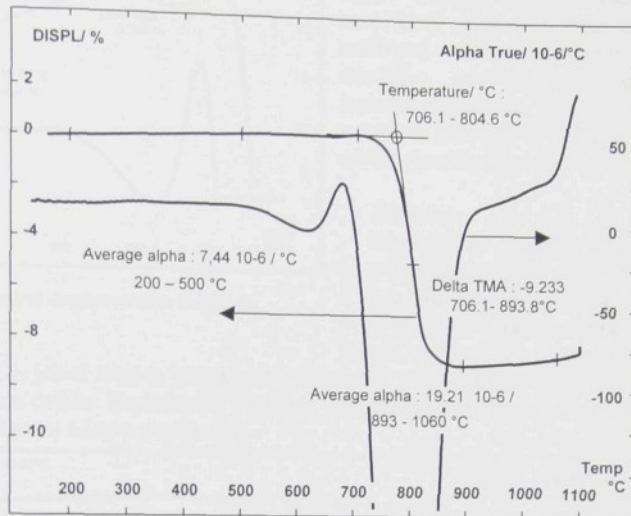
Nástrík čediče je plně amorfní, vyznačuje se uzavřenými a většinou okrouhlými póry. Porozita byla stanovena na 2,990 %. Přičinou nízké porozity je skelný stav struktury čediče a to, že póry tvoří uzavřené prostory, nekorespondující s povrchem. Měrná hmotnost nástríku se liší jen velmi málo od výchozího prášku ($2,831 \text{ g.cm}^{-3}$), protože oba materiály mají amorfní strukturu a nástrík navíc nízkou porozitu. Hořák s vodní stabilizací je charakteristický vysokou teplotou, a proto je schopen dokonalého natavení depovaného čediče.

Teplotní vlastnosti čediče byly zjištovány pomocí DTA (Obr. 38, 40) a dilatometrií (Obr. 37, 39, 40). Měření DTA bylo provedeno na jemně rozdrobeném nástríku, deponovaném ze stříkačí vzdálenosti 450 mm. Jako referenční látka byl použit kaolín a vsázka byla zkoumána v kelímci z Al_2O_3 .



Obr. 38: První a druhý cyklus měření DTA nástríku čediče (Ba10DTA, Ba10DTAII)

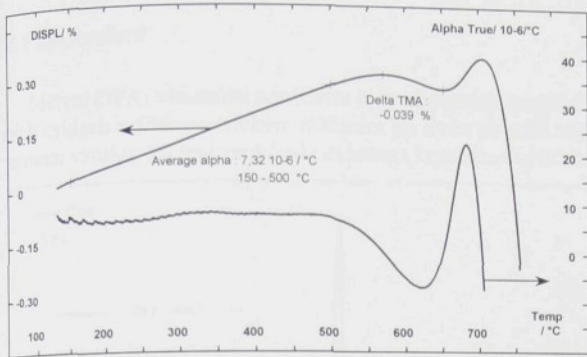
potvrdilo krystalizaci. Vzorek dlouhý 9,98 mm se po expozici na 1100 °C smrštíl o více než 9 %. Tomuto smrštění předchází nepatrné smrštění o 0,039 % mezi teplotami 570,4 a 652,1 °C, které uzavírá úsek lineárního růstu prodloužení. Použitá rychlosť ohřevu byla $5 \text{ K}\cdot\text{min}^{-1}$. Rozdílem



Obr. 37: Dilatometrická křivka plazmově deponovaného čediče (Ba5Dil)

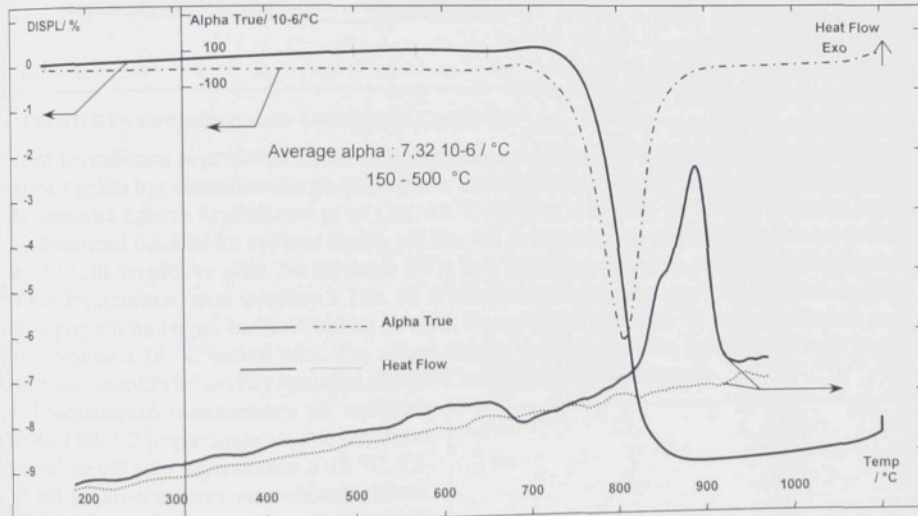
Měření ve dvou po sobě následujících cyklech prokázalo krystalizaci při teplotě cca 820 °C. Krystalizační pik má dva stupně, což znamená přednostní vylučování některé z krystalických fází. Ta potom může usnadnit krystalizaci dalších komponent. Krystalizační exotermická reakce se na druhém cyklu měření již neprojevila. Plně rozvinuté krystalizaci předchází snížení tepelného toku již od cca 660 °C.

Dilatometrické měření



Obr. 40: Dilatační křivka plazmově deponovaného čediče do krystalizační teploty (BaSDil)

vylučováním magnetitu Fe_3O_4 , jehož částice pravděpodobně působí jako krystalizační zárodky pro krystalizaci zbytku objemu čediče. Krystalizace proběhla plně během prvního cyklu ohřevu, v druhém se již žádná krystalizační odezva neobjevila.



Obr. 39: Měření dilatometrie a DTA plazmově deponovaného čediče

Čedič zachovává lineární průběh teplotní roztažnosti do cca 550 $^\circ C$. Tato hranice se jeví jako bezpečná pro odolnost proti zvýšeným teplotám. Těžiště využití čediče je však v oblasti odolnosti proti abrazi, erozi a korozi při nízkých teplotách.

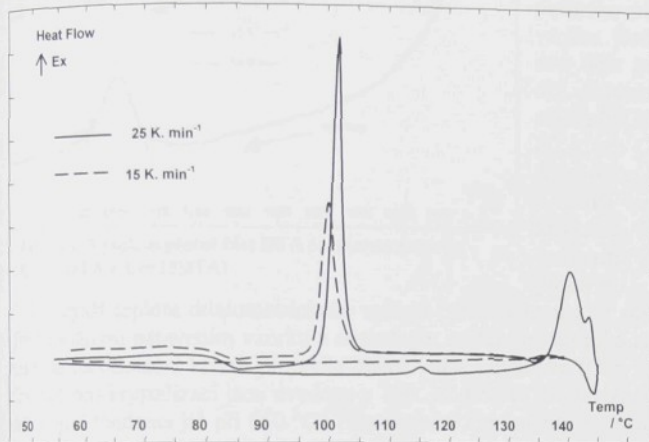
mezi rychlosťí ohřevu při DTA a dilatometrii lze vysvětlit posun teplot nejrozvinutější krystallizace, který se projevil mezi jednotlivými měřeniami. Hodnoty středního součinitele lineární teplotní roztažnosti byly určeny v úsecích blížících se lineárnímu nárůstu prodloužení (Obr. 40).

Diskuse

Krystallizace skelného čediče se projevila značným smrštěním o více než 9 %. Krystallizaci ve dvou na sebe těsně navazujících fázích lze vysvětlit přednostním

4.1.3. Cordierit

Měření DTA: vlastnosti cordieritu byly zkoumány termální analýzou při dvou různých teplotních cyklech a dilatometrickým měřením při dvou po sobě následujících teplotních cyklech na jednom vzorku. Měření prokázala existenci krystalizační odezvy okolo 1000 °C.

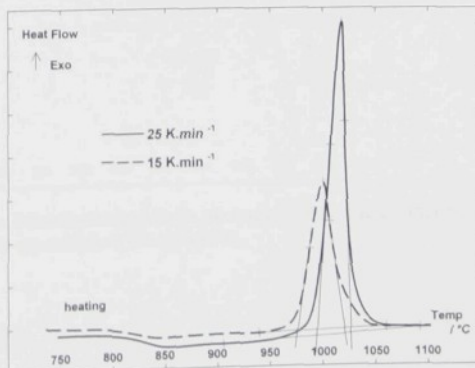


Obr. 41: DTA cordieritu (vzorky Cor25DTA a Cor15DTA)

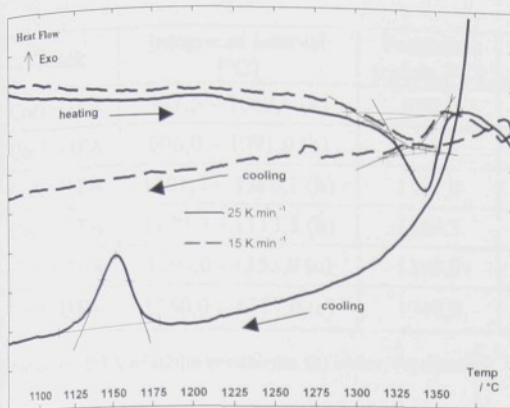
teplot krystalizace neprojevila žádná nestejnoměrnost. Jde tedy o nevratnou transformaci a její produkt může být identifikován po ochlazení z teplot nad vyrovnaním odchylky tepelného toku. Exotermická odezva krystalizace je na Obr. 41. Z obrázku je zřejmé, že vlivem rychlosti ohřevu a ochlazování dochází ke zvýšení teplot, při kterých se krystalizace začíná projevovat a zvětšuje se také velikost plochy píku. Na křivkách DTA byly stanoveny hodnoty teplot charakterizujících proces krystalizace. Jsou uvedeny v Tab. 35. Velikost tepelného toku se po krystalizaci ustálila u obou případů na stejně hodnotě blížící se nule. Posun odezvy je 18,5 °C pro vypočtenou počáteční teplotu a 18 °C vrchol píku. Pro určení plochy vymezené píkem krystalizace byla použita integrace od základní úsečky spojující okrajové body integračního intervalu.

Endotermická transformace při teplotách okolo 1300 °C je posunuta ve své počáteční teplotě stejně jako krystalizace o 18 °C. Závislost velikosti odezvy na rychlosti ohřevu, případně ochlazování se zde projevila silněji než u předešlého píku. Endotermický pík byl menší o 23 % při rychlosti 15 K·min⁻¹ než při rychlosti ohřevu 25 K·min⁻¹, na rozdíl od krystalizace, kde rozdíl činí 7 %. Po doběhu této transformace dochází pravděpodobně již k natavování materiálu vzorku. Tento proces je indikován těsně před koncem teplotního rozsahu měření, což znemožnilo jeho přesné popsání. Vzorek po ukončení této analýzy byl zcela kompaktní a smrštěný okolo středové části Pt kelímku.

DTA: Nástrík cordieritu byl rozdracen na prášek o velikosti zrna mezi dle kap. 3.3.1. DTA. Ve 100 µl Pt-kelímku vsázka vyplnila asi 2/3 objemu. Tepelně zabarvené děje bezprostředně se týkající krystalizace skelné fáze cordieritu začínají měnit průběh křivky okolo 800 °C endotermickým snížením tepelného toku. Na toto snížení navazuje odezva krystalizace, výrazný exotermický pík křivky DTA. Při ochlazování se v intervalu



Obr. 42: DTA cordieritu-odezva krystalizace pro rychlosti 15 a 25 K·min⁻¹. Vzorky Cor25DTA a Cor15.DTA

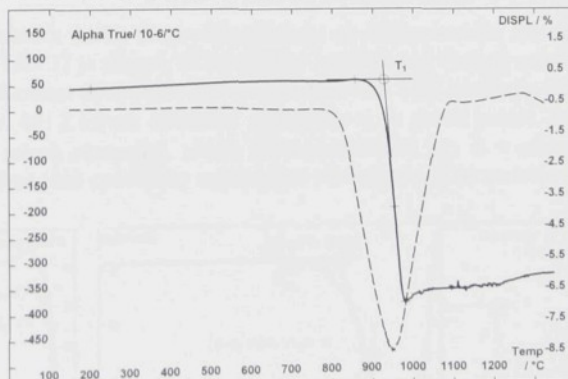


Obr. 43: Vysokoteplotní část DTA cordieritu (vzorky Cor25DTA a Cor15DTA)

Nejvyšší teplota dilatometrického měření byla stanovena na základě DTA 1350 °C z obavy před možným natavením vzorku a následným zničením vnitřního zařízení dilatometru. Krystallizace se na dilatační křivce projevila intenzivním smrštěním (Obr. 44, 45, 46). Teploty charakteristické pro krystallizaci jsou uvedeny v Tab. 36. Průběh prodloužení v závislosti na teplotě ztrácí stoupající tendenci již při 650 °C. Tam dochází k mírnému smrštění o cca 0,023 % (mezi teplotami 663 a 793 °C), což je asi 2,8 µm. Tento pokles v růstu prodloužení se, stejně jako krystallizace, neprojevil na dilatační křivce druhého cyklu. K vlastnímu projevu krystallizace na dilatační křivce dochází až po dalších 200 °C. Krystallizace cordieritu proběhla velmi intenzivně a v jejím průběhu došlo zřejmě k ohnutí vzorku. Tímto ohybem a následnou ztrátou rovnoběžnosti měřených ploch a tím i stability vzorku lze vysvětlit roztaženosť dilatační křivky za krystalizačním smrštěním a také (i přes zábrus na metalografické brusce) křivky druhotného ohřevu. Na dilatační křivce druhého teplotního cyklu se již žádný děj, způsobující nerovnoměrnosti v průběhu prodloužení vzorku neprojevil. Tepelně zabarvené děje při cca 1300 °C zjištěné DTA se nepodařilo indikovat dilatometrií mj. také z důvodu roztaženosnosti záznamu nad teplotou krystallizace a při druhém cyklu v celém intervalu zkušebních teplot.

Na ochlazovacích větvích se projevila exotermická reakce pouze v oblasti těsně pod horní teplotou měření (u Cor25DTA). Další děj s uvolněním tepla byl indikován jako vratný proces k transformaci okolo 1300 °C. Podle plošného obsahu píků na křivce DTA vzorku Cor25DTA lze považovat tyto dva děje za vratný tepelně zabarvený děj. Exotermická odezva na transformaci při 1300 °C se projevila i na křivce DTA pro Cor15DTA i když jen velmi slabě (Obr. 43).

Další tepelně zabarvené děje se na křivkách DTA plazmově stříkaného cordieritu při daných parametrech neprojevily.



Obr. 44: Dilatometrická křivka plazmově stříkaného cordieritu a průběh okamžitého TEC (Cor5Dil)

Vzorek	Integrační interval [°C]	Počáteční teplota [°C]	Vrchol piku [°C]	Koncová teplota [°C]	Typ děje (endo-exo)
Cor15DTA	941,5 – 1062,5 (h)	976,0	1000,0	1020,5	exo (106,97)*
Cor25DTA	906,0 – 1091,0 (h)	994,5	1018,0	1026,5	exo (115,09)*
Cor25DTA	1301,5 – 1366,5 (h)	1317,0	1343,0	1357,5	endo (2,64)*
Cor25DTA	1179,0 – 1113,5 (h)	1169,5	1151,5	1130,0	exo (2,61)*
Cor15DTA	1294,0 - 1355,0 (c)	1299,0	1335	1353,5	endo (2,04)*
Cor15DTA	1350,0 – 1317,0 (c)	1348,0	1336,0	1317,0	exo (0,19)*

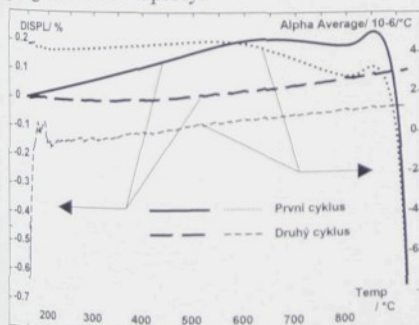
Tabulka 35: DTA nástříku cordieritu. (h) ohřev, (c) chlazení. * číslo vyjadřuje entalpii děje v $\mu\text{V.s.mg}^{-1}$

	T ₁ [°C]	T _m [°C]	T ₂ [°C]	Smrštění mezi T ₁ a T ₂
Cor5Dil	855,4	949,0	978,5	7,135 %

Tabulka 36: Teploty a smrštění v oblasti krystalizace plazmově stříkaného cordieritu

Střední součinitele délkové teplotní roztažnosti byly stanoveny z křivky prvního i druhého ohřevu a jsou uvedeny v Tab. 37. Hodnota smrštění a příslušné teploty v průběhu krystalizace jsou uvedeny v Tab. 36.

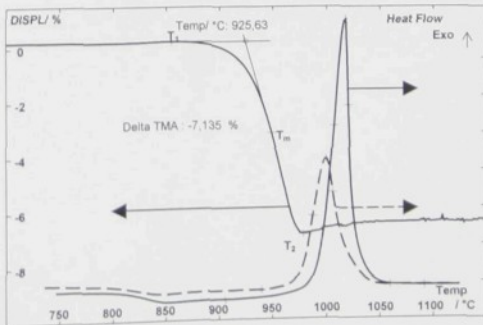
Součinitelé byly stanoveny v lineárním úseku do prvního vrcholu na dilatometrické křivce a do prvních projevů krystalizace. Z Tab. 37 je zřejmé, že krystalický cordierit má výrazně menší α než netransformovaný nástřík. Celá oblast dilatačního měření pro stanovení TEC cordieritu při prvním i druhém ohřevu je na Obr. 45. Z křivek středního součinitele α je dobře patrné, že krystalický cordierit si zachovává mírně stoupající, téměř lineární tendenci pro α v celém intervalu. Nestability na počátku měření jsou způsobeny regulačními odchylkami dilatometru od programované teploty.



Obr. 46: Dilatometrická křivka cordieritu do teplot krystalizace (Cor5Dil, Cor5DilIII). TEC

Vzorek	Teplotní rozsah		$\alpha_{T_1-T_2} [10^{-6}\cdot\text{K}^{-1}]$
	T ₁ [°C]	T ₂ [°C]	
Cor5Dil	200	660	4,0
Cor5Dil	200	855	3,2
Cor5IIDil	200	660	1,35
Cor5IIDil	200	855	0,9

Tabulka 37: Střední součinitel délkové teplotní roztažnosti v I. a II. cyklu ohřevu cordieritu



Obr. 45: Porovnání krystalizační fáze DTA (Cor15DTA, Cor25DTA) a dilatometrie (Cor5Dil) pro plazmově stříkaný cordierit

Na Obr. 46 je porovnání krystalizačních oblastí dilatometrického měření a DTA, ze kterého je zřejmý posun krystalizační odezvy v závislosti na použité rychlosti ohřevu.

Diskuse

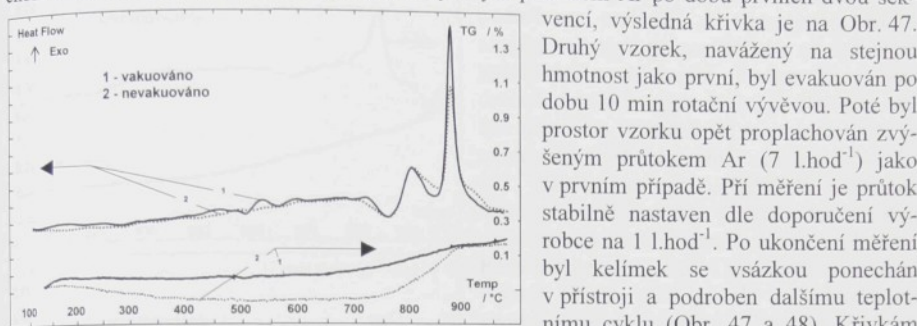
Termická analýza i dilatometrické měření plazmově naneseného cordieritu potvrdily výsledky citovaných prací. Tepelně zabarvené děje spojené s krystalizací se objevují při teplotě okolo 840 °C. Pro vratnou transformaci při cca 1340 °C nebylo nalezeno možné přiřazení v literatuře a proto by k popsání děje bylo potřeba dalších analytických metod.

Měřením teplotní roztažnosti bylo potvrzeno, že se cordierit vyznačuje velmi nízkým TEC. Bylo zjištěno, že nepřekrystalizovaný cordierit má vyšší TEC než uspořádanější modifikace po průběhu krystalizace. Závislost polohy odezvy na rychlosti ohřevu při DTA je zobrazena na Obr. 45. Pík vzniklý při vyšší rychlosti ohřevu je podle očekávání větší a je umístěn na vyšších teplotách. Obě odezvy jsou pak umístěny na teplotách vyšších, než je dilatometricky zjištěná krystalizace.

4.1.4. Granáty

Almandiny ze dvou různých nalezišť a pyrop, nerosty ze skupiny granátů, byly zkoumány termickou a termogravimetrickou analýzou pro doplnění dilatometrických měření z [51].

Pyrop byl analyzován při teplotním cyklu dle Tab. 23. První analýza byla spuštěna bez předchozí evakuace prostoru vzorku, pouze se zvýšeným průtokem Ar po dobu prvních dvou sek-



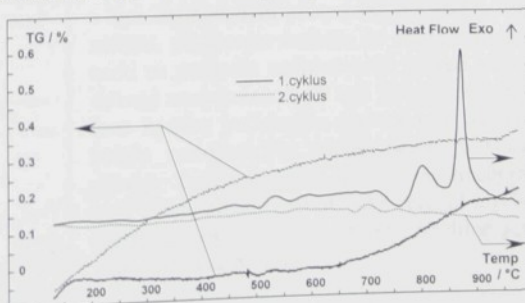
Obr. 47: DTA a TG nástříku pyropu. (Py10DTA_T, Py10DTAV) Měření s vakuováním a bez vakuování prostoru vzorku.

vencí, výsledná křivka je na Obr. 47. Druhý vzorek, navážený na stejnou hmotnost jako první, byl evakuován po dobu 10 min rotační vývěvou. Poté byl prostor vzorku opět proplachován zvýšeným průtokem Ar (7 l.hod^{-1}) jako v prvním případě. Při měření je průtok stabilně nastaven dle doporučení výrobce na 1 l.hod^{-1} . Po ukončení měření byl kelímek se vsázkou ponechán v přístroji a podroben dalšímu teplotnímu cyklu (Obr. 47 a 48). Křivkám DTA na Obr. 47 dominují tři odezvy tepelně zbarvených dějů. Začínají endotermickým píkem s počátkem na

Vzorek	Integrační interval [°C]	Počáteční teplota [°C]	Vrchol píku [°C]	Konečná Teplota [°C]	Typ děje (endo-exo)
PY10DTAV	720-783*-840	725,5	758,5	784,3	endo (8,61)**
PY10DTAV	dtto	784,3	802	833	exo (10,1)**
PY10DTAV	847 – 906	859,5	872	885,5	exo (33,46)**
PY10DTAP	710-783*-850	715,5	759	787	endo(9,894)**
PY10DTAP	dtto	787	802	838	exo(10,5)**
PY10DTAP	850-911,5	860	873	888,8	exo(22,02)**

Tabulka 38: Charakteristické teploty na křivkách DTA nástříku pyropu ze vzdalenosti 400mm. PY1P - bez vakuování, PY1V - s vakuováním. * teplota přechodu mezi endo- a exotermickým dějem, ** viz. Tabulka 35

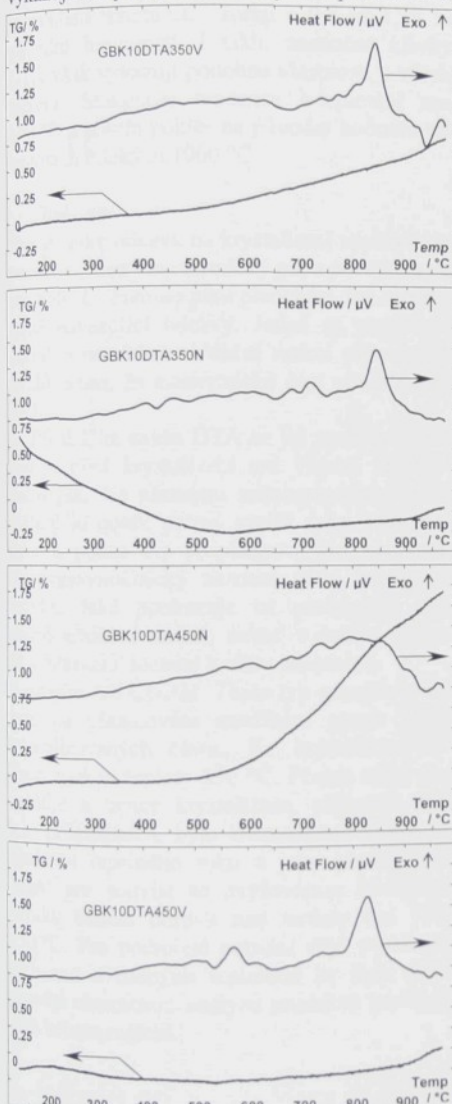
teplotě podle Tab. 38, následované exotermickým píkem a transformační odezvou exotermického charakteru. Teplota mezi endotermickým a těsně navazujícím exotermickým dějem byla odhadnuta z průběhu křivky tepelného toku. Její vypočtená hodnota je konečnou, resp. počáteční teplotou z Tab. 38. Tepelně zbarvený děj mezi 500 °C a 540 °C se projevil výrazněji pouze na křivce vakuovaného vzorku.



Obr. 48: První a druhý cyklus DTA nástříku pyropu (SD=400mm) (Py10DTAV, Py10DTAIIIV)

Termogravimetrická měření v případě vakuovaného i nevakuovaného vzorku prokázala nárůst hmotnosti v oblasti exotermické i endotermické reakce v oblasti od cca 700 do 900 °C. Při druhém cyklu se již tato změna hmotnosti neprojevila.

Křivka DTA druhého cyklu vykazuje pouze známky reakcí okolo 700 °C. Dvojice navazujících píků ani ostrá odezva při cca 870 °C se již neprojevily. Termogravimetrická křivka vykazuje stálý růst hmotnosti již od počátku měření.



Almandiny. Silikáty této skupiny byly podrobeny teplotní a termogravimetrické analýze ve stavu po nastříkání a po tepelném zpracování vychlazením. Postup TZ je podrobně popsán v kapitole 3.2.2. Nejvýraznějším dějem na křivkách DTA granátu GBK je exotermický pík na teplotě cca 840 °C (Obr. 49). Tato teplota není u GBK350 ovlivněna tepelným zpracováním. Vlastní odezva má u obou vzorků téměř shodnou velikost (plochu). Průběh tepelného toku v závislosti na teplotě v okolí tohoto píku je ale u jednotlivých vzorků značně rozdílný. Skutečný začátek děje je překryt jinou reakcí, pravděpodobně oxidačně-redukčního charakteru. Ta se vyznačuje nepravidelným zvýšením nulové osy v širokém spektru teplot od cca 350 °C až do převládnutí exotermní reakce související s píkem na 840 °C (resp. 830 °C pro nástřík GBK450). Měřením na vzorku GBK450 bez TZ se nepodařilo identifikovat žádnou výraznou odezvu na tepelně zbarvený děj. Tuto situaci lze vysvětlit průběhem termogravimetrické křivky. Přibývající hmotnost ukazuje na oxidaci, která se na křivkách DTA projevuje exotermickou odezvou. Křivka DTA vzorku GBK450 nástřiku klesá nad teplotami výrazné exotermické reakce rozeznatelně u předešlých vzorků. Tento jev, kdy hladina tepelného toku klesá až k výchozí hodnotě, nastal i u vzorků s lépe definovaným exotermickým píkem. Při měření, při kterém nedošlo ke zvýšení hmotnosti se projevila endotermická reakce následovaná exotermickou při cca 550 °C. Přítomnost kyslíku potřebného pro oxidaci lze vysvětlit nedokonalým vakuováním prostoru vzorku. Toto vysvětlení však zcela neobjasňuje danou situaci, neboť časy čerpání a průplachu Ar byly u všech měření rozdílné jen v toleranci cca 5 min.

Obr. 49: Almandin GBK - DTA a TG nástříku a vychlazeného vzorku.

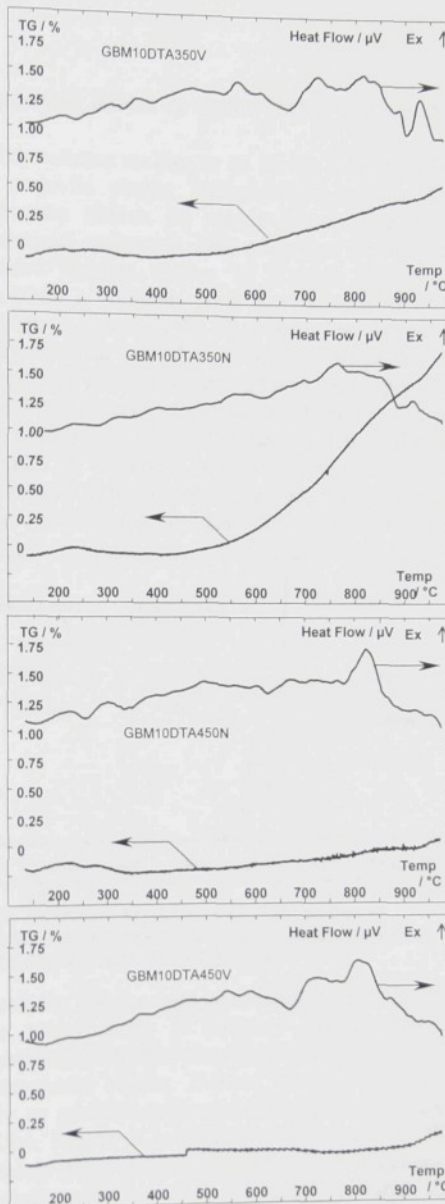
U vzorků GBM byla situace ještě komplikovanější, neboť se podařilo eliminovat oxidaci pouze u měření GBM450-nástřík (Obr. 50). Ostatní křivky DTA jsou značně zkreslené. Oxidační exotermická reakce nastupuje u všech měření při cca 500 až 550 °C. Jejím výsledkem je zvýšení hmotnosti vzorku o 0,5 až 1,75 % původní hmotnosti. I takto zastíněné křivky DTA však vykazují podobné vlastnosti u všech měření. Stoupající tendence k teplotám cca 800 °C a potom pokles na původní hodnotu při teplotách blízkých 1000 °C.

Diskuse

Pyrop: Jako odezvu na krystalizaci nástříku lze považovat ostrý exotermický pík s počátkem na cca 850 °C. Tomuto píku předchází dvě na sebe těsně navazující odezvy. Jedná se pravděpodobně o redukčně-oxidační reakci přítomných oxidů, s tím, že exotermická část přísluší oxidači.

Při dalším cyklu DTA se již neobjevila ani reakce před krystalizací ani vlastní krystalizační pík. Na záznamu termogravimetrického měření je dobře patrný rozdíl mezi vakuovaným a pouze Ar proplachovaným vzorkem. Termogravimetrický záznam růstu hmotnosti vzorku, také poukazuje na probíhající oxidačně-redukční reakci, neboť v daném teplotním intervalu dochází k růstu hmotnosti.

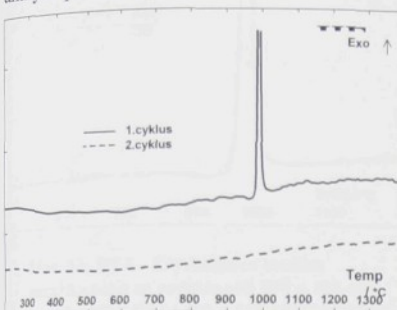
Almandin GBK, GBM: Tento typ granátu vykazuje po plazmovém nastříkání pouze stopy krystalizovaných částic. Ke krystalizaci dochází v okolí teploty 850 °C. Přesné stanovení začátku a konce krystalizace, případně dějů k ní přiléhajících, bylo znemožněno zvýšenou hladinou tepelného toku a jeho nestabilitou. Tento jev souvisí se zvyšováním hmotnosti vzorků během ohřevu nad teploty cca 700-750 °C. Pro podrobné popsání dějů probíhajících nad uvedenými teplotami by bylo třeba provést chemickou analýzu produktů vznikajících během měření.



Obr. 50: Almandin GBM - DTA a TG nástříku a vychlazeného vzorku.

4.1.5. Mullit

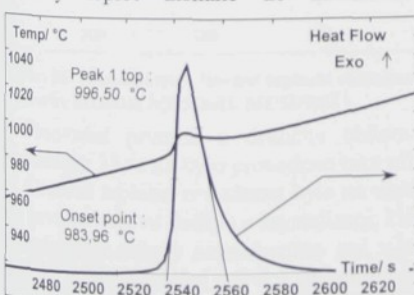
Na nástříčích mullitu bylo provedeno dilatometrické měření do teploty $1450\text{ }^{\circ}\text{C}$ a teplotní analýza při různých rychlostech ohřevu.



Obr. 51: DTA nástříku mullitu. První a druhý ohřev (vzorky MU15DTA400 a MU15DTA400II)

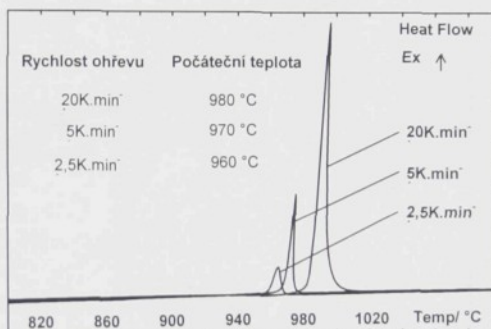
píku doprava. Jev, kdy se vrchol píku nachází v závislosti HF – T na teplotní ose dál než jeho konec (pata), znemožňuje použití výpočtových modulů programu Setsys. Z tohoto důvodu byly také teploty počátku krystalizace určeny vizuálně ze zvětšeného záznamu průběhu tepelný tok-teplota.

Odezvy krystalizace při různých rychlostech ohřevu vsázkou jsou na Obr. 52. Tepelný tok je znázorněn jako funkce teploty pro lepší názornost posunu teplot jednotlivých píků v závislosti na rychlosti ohřevu. Hodnoty počátečních teplot krystalizace v Obr. 52 jsou zaokrouhlené hodnoty teplot získané ze závislostí



Obr. 53: Detail odezvy krystalizace mullitu při rychlosti ohřevu $20\text{ K}\cdot\text{min}^{-1}$ (vzorek MU20DTA)

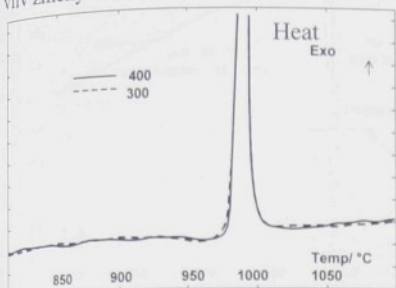
Krystalizace mullitu se na křivce DTA na Obr. 51 projevila ostrým exotermickým píkem. Při druhotém ohřevu již nebyla žádná odezva na krystalizaci zachycena. Jako odezvu na krystalizaci nechává rychlosť ohřevu $15\text{ K}\cdot\text{min}^{-1}$ vzniknout vysokému a štíhlému píku. Krystalizace probíhá v teplotním intervalu $40\text{ }^{\circ}\text{C}$, během kterého stačí vykristalizovat celý objem vsázkou. Před počátkem krystalizace (cca $25\text{ }^{\circ}\text{C}$) došlo ke snížení tepelného toku. Použitá rychlosť ohřevu je natolik vysoká, že při exotermické reakci dochází nejen k ohřevu kelímku se vsázkou a jeho bezprostředního okolí (diferenčně zapojený termočlánek), ale i prostoru peci. Následkem tohoto jevu dochází k „uklonění“



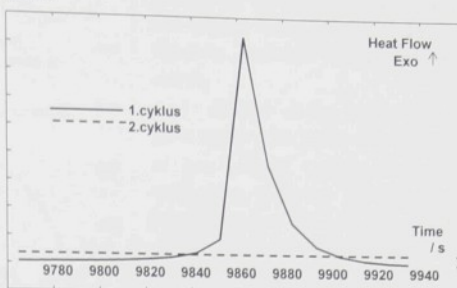
Obr. 52: Odezvy krystalizace nástříku mullitu na křivkách DTA při různých rychlostech ohřevu (vzorky MU2,5DTA, MU5DTA, MU20DTA).

teplotného toku na čase jako například na Obr. 53. Na tomto grafu je zřetelný prudký nástup krystalizace a také zvýšení teploty v peci účinkem exotermické reakce. Zvýšení teploty v peci má vliv na odečtení velikosti teploty píku. V situaci z Obr. 53 jde o zvýšení teploty o cca $10\text{ }^{\circ}\text{C}$. Teplota píku je tedy vzhledem k teoretickému nárůstu teploty o cca $10\text{ }^{\circ}\text{C}$ menší, tj. $986,5\text{ }^{\circ}\text{C}$. Podobný problém nastává při výpočtu konečné teploty píku, kde může také dojít ke zkreslení vlivem ohřevu pecního prostoru.

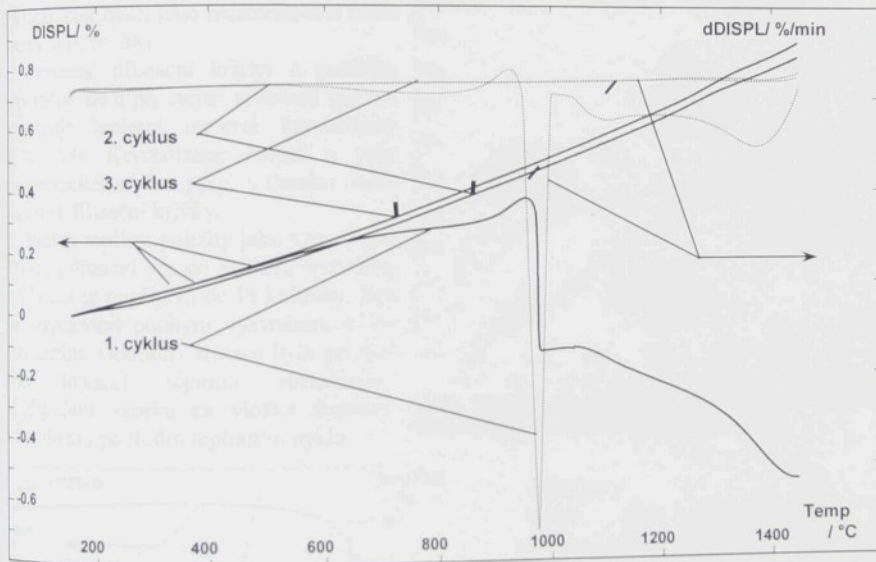
Vliv různých stříkacích vzdáleností na polohu a tvar krystalizační odezvy byl zjištován termickou analýzou při rychlosti ohřevu $15 \text{ K} \cdot \text{min}^{-1}$. Výsledný diagram na Obr. 54 neprokázal vliv změny stříkací vzdálenosti z 300 na 400 mm.



Obr. 54: DTA - krystaly mullitu
nastíkaného ze vzdálenosti 300 a 400 mm.
(vzorky MU15DTA300 a MU15DTA400)



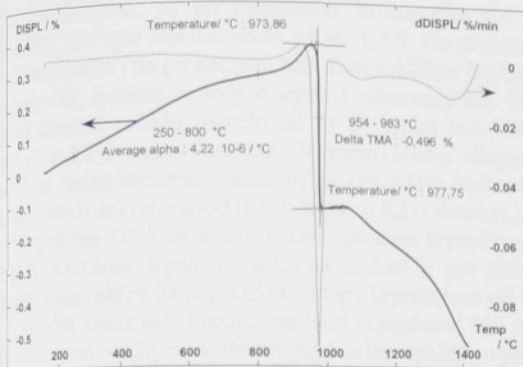
Obr. 55: DTA - odezvy krystaly mullitu při
rychlosti ohřevu $5 \text{ K} \cdot \text{min}^{-1}$. První a druhý ohřev.
(vzorky MU5DTA a MU5DTAII)



Obr. 56: Dilatometrie - lineární teplotní roztažnost nástřiku mullitu. První, druhý a třetí cyklus ohřevu.
(vzorky MU5Dil, MUSDilIII, MUSDilIII)

Porovnání prvního a druhého ohřevu vsázkového nadrceného nástřiku mullitu ze stříkací vzdálenosti 350 mm bylo provedeno také při rychlosti ohřevu $5 \text{ K} \cdot \text{min}^{-1}$ (Obr. 55).

Lineární teplotní roztažnost byla na vzorcích mullitu měřena při rychlosti ohřevu $5 \text{ K} \cdot \text{min}^{-1}$. Při prvním ohřevu došlo ke krystalizaci, která se projevila smrštěním o cca 0,5 %. Jevy spojené s krystalizací nebyly zaznamenány ani v jednom z následujících cyklů ohřevu (Obr. 56). Podrobný popis dilatační křivky prvního ohřevu je na Obr. 57. Střední koeficienty lineární teplotní roztažnosti byly vypočítávány od teploty 250°C , vzhledem k tomu, že od této teploty je podle křivky derivace prodloužení průběhu teplotní dilatace již ustálen. Pro první sadu hodnot byl zvolen koncový bod v inflexním bodě dilatační křivky v lokálním minimu její derivace před

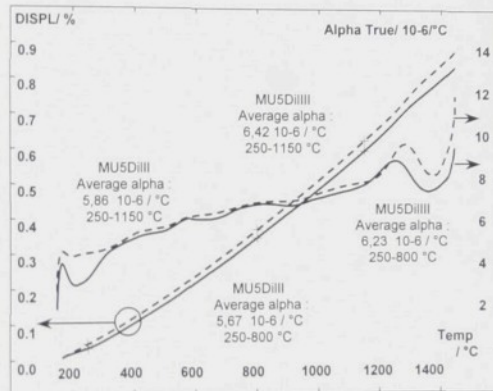


Obr. 57: Dilatační křivka prvního ohřevu nástřiku mullitu (SD=350 mm). Rychlosť ohrevu 5 K.min-1 (vzorek MU5Dil)

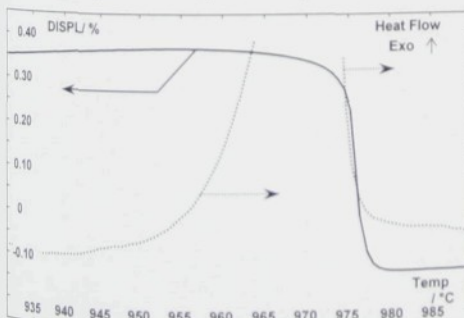
kách roztažnosti nezávisle na počtu ohřevů, což značí jeho neukončenost nebo vratnosť (Obr. 58).

Srovnání dilatační křivky a průběhu tepelného toku při stejné rychlosti ohřevu potvrzuje teplotní interval krystalizace (Obr. 59). Krystalizace začíná u paty exotermického píku resp. v těsném okolí maxima dilatační křivky.

Prášek mullitu použitý jako vzorek pro DTA neslinoval ani po druhém teplotním cyklu ani se nepřipekl do Pt kelímku. Ten šel vyprázdnit pouhým vysypáním a vysouknutím. Obdobná situace byla při měření lineární teplotní roztažnosti. K připečení vzorku na vložné destičky nedošlo ani po třetím teplotním cyklu.



Obr. 58: Dilatace nástřiku mullitu (vzorky MU5DilIII a III) druhý a třetí (čárkováně) ohřev



Obr. 59: DTA a dilatometrie - oblast krystalizace nástřiku mullitu (SD=350 mm) při rychlosťi ohřevu 5 K.min-1 (vzorek MU5Dil a MUSDTA)

krystalizací. Prodloužení dále roste a je při teplotě cca 980 °C ostře přerušeno krystalizačním smrštěním. Od tohoto bodu se začíná lineární teplotní roztažnosti rychle měnit.

U dalších dvou teplotních cyklů byla stanovena ještě střední hodnota α pro rozsah teplot do 1150 °C vzhledem k témuž lineárnímu průběhu tepelné roztažnosti do teplot okolo 1180 °C. Další ohřev vytváří pík na průběhu derivace, který poukazuje na transformaci v tuhém stavu, nebo případně jiné děje. Tento děj se projevuje na derivačních křiv-

Diskuse

Mullit, díky podílu skelné fáze v nástřiku, prochází při ohřevu krystalizací. Krystalizace byla indikována jak měřením teplotní roztažnosti, tak pomocí DTA. DTA mullitu provedené při různých rychlosťech ohřevu prokázalo závislost velikosti a polohy odezvy na rychlosť ohřevu. Se zvyšující se rychlosťí ohřevu se krystalační pík posouval k vyšším teplotám a rostla jeho výška.

Bыlo ověřeno, že po proběhnutí krystalizace již mullit neprodélává žádné polymorfni přeměny, jak bylo konstatováno v kap. 1.2.5. Při prvním teplotním cyklu pokračuje smršťování mullitu plynule i po proběhnuté transformaci. Tato fáze smršťování se na průběhu tepelného toku neprojevila, nejedná se tedy o tepelně zabarvený děj. Během dalších ohřevů mullit zachovává téměř lineární průběh roztažnosti až do teplot cca 1180 °C. Při těchto teplotách dochází ke změně a TEC začíná stoupat. V rovnovážném diagramu není v tomto teplotním intervalu uvedena žádná přeměna. Skutečný proces v této teplotní oblasti je možné popsat až s využitím dalších analytických metod (např. teplotní RTG difrakce).

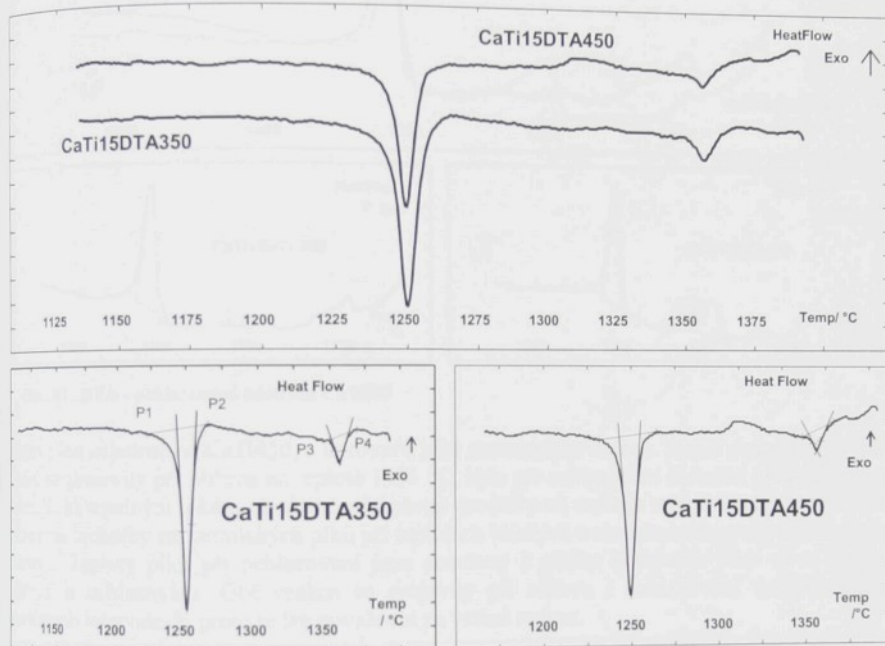
S využitím DTA byla zjištována závislost krystalizace na použitych stříkacích parametrech. Průběh závislosti tepelného toku na teplotě je pro obě zkoušené stříkací vzdálenosti shodný. Druhý a třetí ohřev již neprokázaly stopy krystalizace při odpovídající teplotě.

Střední koeficient lineární teplotní roztažnosti byl stanoven pro první, druhý i třetí ohřev. Rozdíl mezi druhým a třetím teplotním cyklem vyjádřený rozdílným TEC je důsledkem zpomalení teplotní roztažnosti do teploty cca 300 °C.

4.1.6. Perovskit

Perovskit CaTiO_3 byl zkoumán z hlediska stability plazmových nástříků při expozici na teploty do $1400\text{ }^\circ\text{C}$. Měření tepelně dilatačního chování bylo uskutečněno v několika cyklech, stejně tak DTA.

Teplotní roztažnost byla měřena při uspořádání vzorku mezi podložnými destičkami z Al_2O_3 . Nástříky ze stříkací vzdálenosti 350 a 450 mm byly analyzovány při rychlosti ohřevu $15\text{ K}\cdot\text{min}^{-1}$.



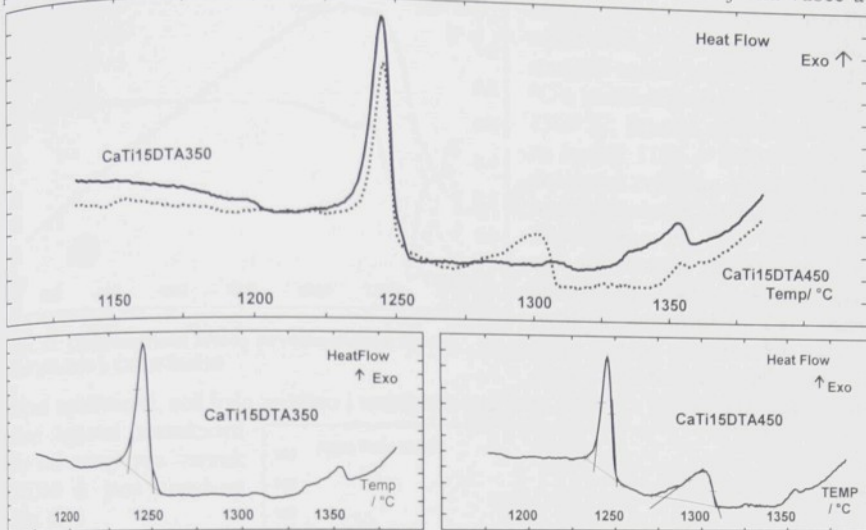
Obr. 60: DTA - ohřev nástřiku CaTiO_3 v oblasti $1100 - 1400\text{ }^\circ\text{C}$. $P_1 - P_4$ jsou okraje integračního intervalu.

Vzorek	Integrační interval [$^\circ\text{C}$]	Počáteční teplota [$^\circ\text{C}$]	Vrchol piku [$^\circ\text{C}$]	Koncová teplota [$^\circ\text{C}$]	Typ děje (endo-exo)
CaTi15DTA350	1221,5 – 1265	1243,5	1250	1257	endo (1,663)*
CaTi15DTA350	1350 – 1369	1351	1357	1363,5	endo (0,191)*
CaTi15DTA450	1232 – 1264,5	1243	1250	1255,5	endo (1,372)*
CaTi15DTA450	1348 – 1366	1351,5	1356	1362,5	endo (0,155)*

Tabulka 39: DTA - charakteristické teploty nástřiku CaTiO_3 , * viz. Tabulka 35

Na křivkách DTA ohřevu nástřiku CaTiO_3 (Obr. 60) se projevily dvě endotermické reakce při 1250 a $1356\text{ }^\circ\text{C}$. Obě transformace se projevily téměř shodně pro obě zkoušené stříkací vzdálenosti. Charakteristické teploty byly vypočteny programem Setsys ze zadaných integračních intervalů, jejichž okrajové teploty jsou vyznačeny v Obr. 60, 61 a číselné hodnoty v Tab. 39, 40.

Během ochlazování se na křivce CaTi450 objevila zřetelná exotermická reakce s vrcholem píku na teplotě cca 1310 °C. Tato reakce se při ochlazování CaTi350 neobjevila vůbec a při



Obr. 61: DTA - ochlazování nástříku CaTiO₃

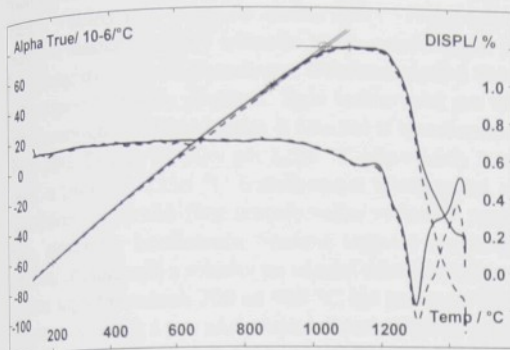
ohřevu jen nepatrně na CaTi450, a to rovněž jako exotermická reakce. Menší endotermické píky, které se projevily při ohřevu na teplotě 1356 °C, byly při ochlazování částečně překryty pomalu klesajícím tepelným tokem po skončení teplotní prodlevy na vrcholu teplotního cyklu. Přesto lze rozoznat vrcholky exotermických píků při teplotách blízkých transformacím probíhajícím během ohřevu. Teploty píků při ochlazování jsou posunuty k nižším hodnotám díky vlivu rychlosti ohřevu a ochlazování. Obě reakce se projevily při ohřevu i ochlazování v odpovídajících teplotních intervalech, proto je lze považovat za vratné reakce.

Vzorek	Integrační interval [°C]	Počáteční teplota [°C]	Vrchol píku [°C]	Koncová Teplota [°C]	Typ děje (endo-exo)
CaTi15DTA350	1255 – 1231	1250,5	1245	1236,5	exo (1,884)*
CaTi15DTA450	1254 - 1231,5	1250	1245,5	1238	exo (1,605)*
CaTi15DTA450	1310 – 1271	1278,5	1309,5	1301,5	exo (1,468)*

Tabulka 40: DTA - charakteristické teploty při ochlazování nástříků CaTiO₃, * viz. Tabulka 35

Vliv stříkací vzdálenosti na polohu píků se neprojevil, avšak lze konstatovat, že stříkání s menšími vzdálenostmi je přičinou větších píků a naopak.

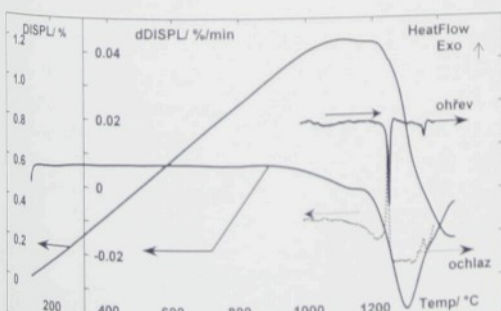
Měření lineární teplotní roztažnosti byla provedena na vzorcích vyříznutých v rovině nástřiku. Dilatometrické křivky na Obr. 62 prokázaly stabilní růst, blížící se lineárnímu, do teplot 900 °C. Při vyšších teplotách dochází ke smrštění, které probíhá v několika fázích. Tyto fáze jsou odděleny tepletami přeměn, zjištěných teplotní analýzou. Začátek smrštění se na křivce DTA neprojevil žádnou odezvou. Smrštění v druhém teplotním cyklu začalo probíhat při teplotách vyšších, až od 1250 °C. Do teploty přeměny, která se projevila na derivaci dilatační křivky, sleduje teplotní roztažnost perovskitu při druhém ohřevu lineární průběh, a to u nástříků z obou zkoušených vzdáleností (350, 450 mm).



Obr. 62: Dilatometrické křivky prvního ohřevu vzorků CaTi5Dil350 a CaTi5Dil450

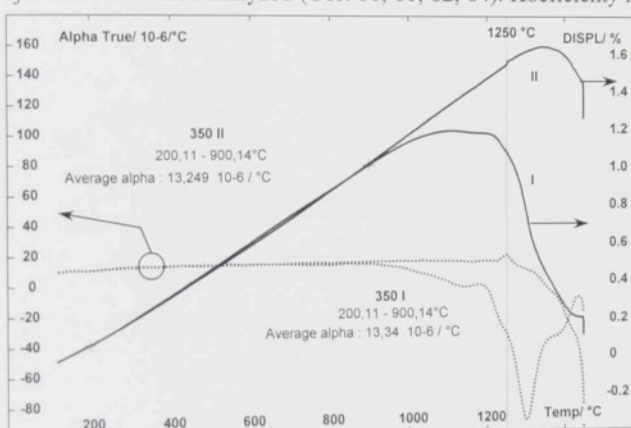
střikací vzdálenosti, což bylo zjištěno i termickou analýzou (Obr. 60, 61, 62, 64). Koeficienty lineární teplotní roztažnosti byly stanoveny pro vzorek CaTi350 a jsou uvedeny v Obr. 63.

Složením obou typů grafů (Obr. 64) lze získat přehled o tom, jaká fáze smrštění nástřiku je výsledkem tepelně zbarveného děje a kdy jsou příčinou smrštění „mechanické“ pochody, při kterých se nemění hladina tepelného toku během DTA. Termická analýza byla získána při rychlosti ohřevu a ochlazování $15 \text{ K} \cdot \text{min}^{-1}$ a měření teplotní roztažnosti při rychlosti $5 \text{ K} \cdot \text{min}^{-1}$.



Obr. 64: DTA - dilatometrie, srovnání prvního ohřevu vzorku CaTi5Dil350 a CaTi15DTA350

Porovnání měření obou cyklů poukázalo na totožné chování materiálu do teplot $900 \text{ } ^\circ\text{C}$. V prvním cyklu se smrštění začíná projevovat již od $900 \text{ } ^\circ\text{C}$ a maximální intenzity dosahuje při $1300 \text{ } ^\circ\text{C}$. Plynulé snižování objemu je na teplotě $1160 - 1170 \text{ } ^\circ\text{C}$ přerušeno dočasným zvýšením objemu. Tento jev se při následném ohřevu již neprojevil. Transformace při $1250 \text{ } ^\circ\text{C}$ má stejný vliv na chování nástřiku při druhém ohřevu, ale i během prvního způsobí rychlejší smrštění. Tato transformace probíhá u obou cyklů ohřevu při stejné teplotě. Nepodléhá ani vlivu



Obr. 63: První a druhý ohřev vzorku nástřiku perovskitu (vzorek CaTi5Dil350 a CaTi5Dil350II)

Diskuse

Nástřik materiálu CaTi_3O_6 byl shledán odolným proti účinkům zvýšené teploty až do $900 \text{ } ^\circ\text{C}$, a to i během ohřevu, který následoval jako první po skončení depozice nástřiku. Do této teploty je perovskit tvarově stálý. Po smrštění při prvním ohřevu je rozměr vzorku stabilizován do teplot první indikované přeměny. Transformace při $1250 \text{ } ^\circ\text{C}$ svým teplotním intervalom odpovídá přeměně ortorombické modifikace na tetragonální nebo kubickou (viz. kap. 1.2.6.). Změnu

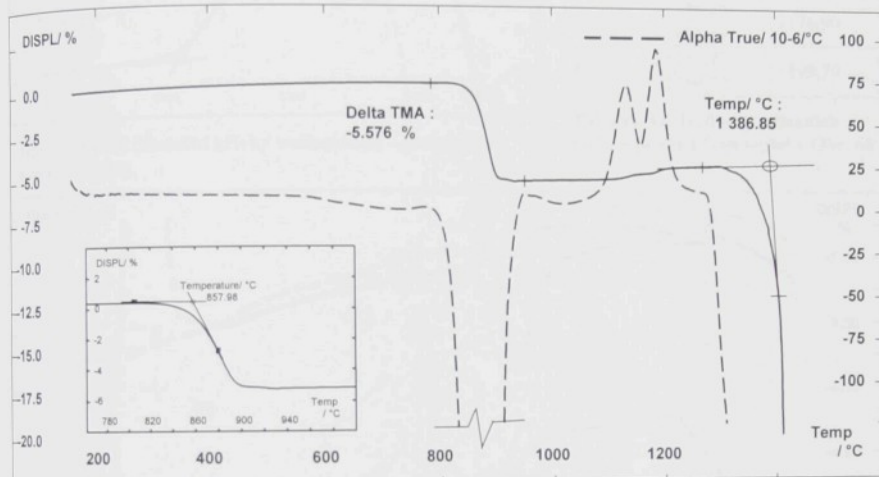
modifikaci ortorombické mřížky se nepodařilo zachytit metodou DTA ani dilatometrickým měřením. Vzhledem k tomu, že změna délky vzorku celkové transformace mřížky při 1250 °C se na derivaci dilatační křivky odrazila pouze minimálním píkem, je možné, že transformace proběhla bez zaregistrování dilatometrem. Otázkou zůstává vratná transformace při 1356 °C, která nebyla v dostupné literatuře popsána. Byla indikována pro obě stříkací vzdálenosti ve shodném teplotním intervalu. S přihlédnutím k údajům o transformaci při 1250 °C může být tato rozdělena do dvou fází. Potom by píky při 1250 °C odpovídaly transformaci ortorombické mřížky na tetragonální a píky při 1356 °C transformaci tetragonální mřížky na krychlovou. Při měření teplotní roztažnosti se druhá fáze transformace viditelně projevila pouze změnou na průběhu derivace, příp. středního koeficientu lineární teplotní roztažnosti nebo na průběhu koeficientu lineární teplotní roztažnosti a nikoliv na vlastní dilatační křivce.

Pro teplotní rozsah 200 až 900 °C byl stanoven střední koeficient délkové teplotní roztažnosti jak pro první, tak i pro následující ohřev nástřiku. Hodnoty se liší pouze o cca $0,1 \cdot 10^{-6}$, což je při velikosti středního koeficientu α okolo $13 \cdot 10^{-6} K^{-1}$ hodnota necelého procenta. Z technického hlediska lze tedy považovat koeficient α v uvedeném teplotním rozsahu za stálý.

4.1.7. Wollastonit

Stanovení teplotních vlastností nástřiku wollastonitu bylo provedeno měřením teplotní roztažnosti a diferenciální termální analýzou (DTA). Výsledky fázových přeměn byly zaznamenány rentgenovou difraccí.

Výchozí fáze prášku pseudo-wollastonitu $\alpha\text{-CaSiO}_3$ se během průletu plazmatem a v průběhu tuhnutí při tvorbě vrstvy přeměnila na amorfni fázi a $\beta\text{-CaSiO}_4$ (Larnite). Prostřík wollastonitu obsahoval fázi $\alpha\text{-CaSiO}_3$ a amorfni fázi.

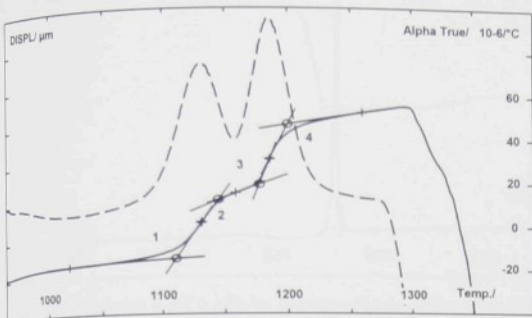


Obr. 65: Teplotní roztažnost wollastonitu, průběh skutečné hodnoty TEC (vzorek W5Dil)

Teplotní interval [°C]	TEC [$\times 10^{-6} \text{K}^{-1}$]
200 – 500	9,22
580 – 740	2,92

Tabulka 41: TEC nástřiku wollastonitu do teploty krytalizace (W5Dil)

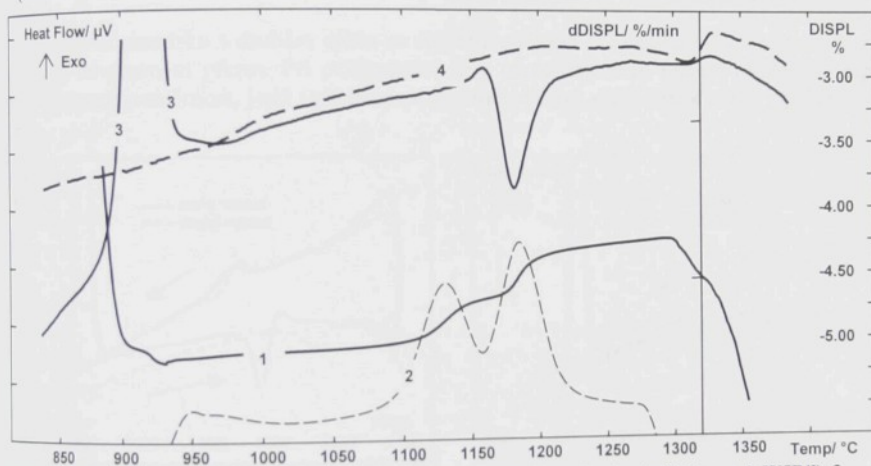
Dilatometrické měření bylo provedeno na vzorku o rozměrech $10 \times 5 \times 3$ mm do teploty 1400°C , rychlosť ohrevu $5 \text{ K} \cdot \text{min}^{-1}$ (Obr. 65, Tab. 41). I přes deklarovanou hodnotu teploty tání 1540°C [42], [80], [81] došlo již při 1350°C k pochodem, které při necelých 1400°C vedly ke zhroucení vzorku. Vzorek se ohnul a natavil na stěnu korundové trubice držáku vzorku. Měřící zařízení bylo nejdříve hrubě mechanicky očištěno a poté rozpouštěním v HF a postupným odškrabáváním produktů leptání zbaveno zbytků wollastonitu. Na dilatometrické křivce (Obr. 65, 66) je zřetelně rozeznatelná oblast fázových transformací. Teploty transformací byly určeny pomocí programu "Processing" ze software SETSOFT, stejným způsobem jako T_m měknutí wollastonitu (Obr. 65). Na křivce průběhu skutečného α jsou, kromě minima okolo teploty 857°C , ještě dvě zřetelná maxima při teplotách na Obr. 65.



Obr. 66: Detail dilatační křivky wollastonitu – první ohřev (vzorek W5Dil)

Teplota číslo	Inflexní body [°C]	Výsledná teplota [°C]
1	1020,04	1110,82
	1131,39	
2	1130,84	1144,76
	1158,25	
3	1158,25	1176,90
	1185,48	
4	1185,20	1199,79
	1259,39	

Tabulka 42: Hodnoty inflexních bodů a příslušných teplot v Obr. 66

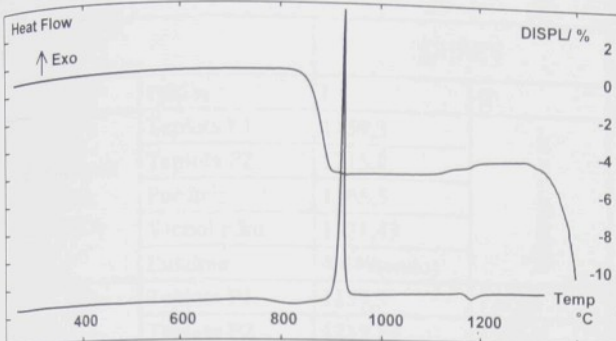


Obr. 67: Vysokoteplotní oblast wollastonitu. 1-dilatační křivka (prodloužení v %) (vzorek W5Dil), 2-derivace kř. I., 3-DTA první ohřev nástřiku (vzorek W15DTAN), 4-DTA druhý ohřev nástřiku (vzorek W15DTANII)

Během této přeměny se vzorek prodloužil o 0,796 % (mezi teplotami 1020,04 °C a 1259,39 °C). Pouze druhá ze změn se odrazila také na křivce DTA, což je patrné z Obr. 67. Jedná se o endotermickou reakci, která se projevila pouze při prvotním ohřevu. Počátek měknutí wollastonitu se na křivce DTA projevil zřetelným poklesem hodnoty tepelného toku již od 1330 °C. Měknutí wollastonitu je děj jehož nástup lze pozorovat již od teploty 1295 °C.

Nejvýraznějším jevem na dilatometrické křivce i na křivce DTA je smrštění začínající na teplotě 857 °C a jemu odpovídající exotermický pík na teplotě 910 °C (Obr. 68). Děje bezprostředně předcházející fázové transformaci začínají již při 730 °C, což vyplývá z měření DTA. Tato transformace se začala na dilatační křivce projevovat až při 858 °C. Výše uvedené počátky dějů v plazmovém nástřiku wollastonitu jsou, vzhledem k obtížnému určení přesného počátku děje, v souladu s teplotou fázové transformace 995K resp. 722 °C uváděnou v [81].

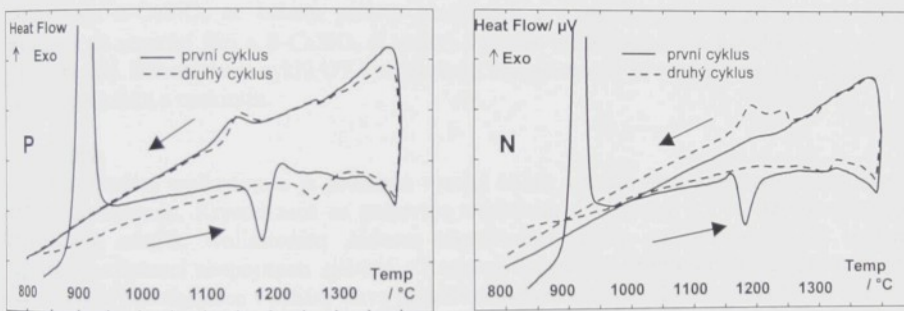
Sestupné větve měření DTA prokázaly rozdíl mezi nástřikem a prostříkem. Zatímco výsledky DTA prostříku lze z kvalitativního pohledu považovat za shodné (sestupná větve), na DTA ná-



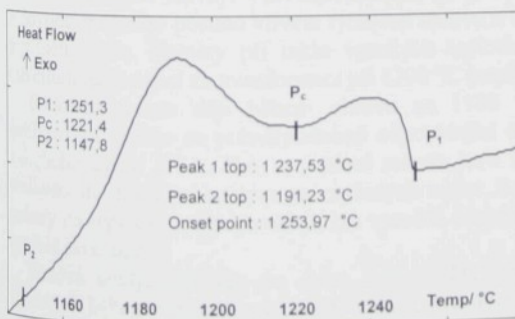
Obr. 68: Dilatační a DTA křivky plazmového nástřiku wollastonitu ze vzdálenosti 400 mm (vzorky W15Dil, W15DTAN)

rychlosti ohřevu, resp. ochlazování s tím, že velikosti entalpii protilehlých píků jsou téměř shodné.

Při ohřevu prostříku v druhém cyklu se objevila od 1235 °C endotermická reakce, která se projevila nevýrazným píkem. Při ochlazování se v obou případech měření okolo této teploty projevila nestejnoměrnost, jejíž vyhodnocení je však obtížné vzhledem k nízké tepelné odezvě děje.



Obr. 69: DTA - vysokoteplotní oblasti prostříku (P) (vzorky W15DTAP, W15DTAPII) a nástřiku (N) (vzorky W15DTAN, W15DTANII), wollastonitu



Obr. 70: DTA (II. cyklus) ochlazování nástřiku wollastonitu (vzorek W15DTANII)

střiku se projevila až při druhém cyklu exotermická reakce. Tuto transformaci tvoří dva přilehlé píky s vrcholy na teplotách z Obr. 69, 70.

Jiná situace nastává při ochlazování prostříku (Obr. 69). Exotermická reakce nastává při prvním i druhém cyklu. U prvního je však odezva téměř dvakrát větší než exotermická. Během druhého cyklu se projevil posun transformací vlivem protilehlých píků jsou téměř shodné.

Vzorky prášku po DTA vykazovaly velmi dobrou soudržnost. Vsázka byla spečena tak, že se oddělila od obvodových stěn kelímku a zůstala zachycena na výstupku ve dně. To působilo značné potíže při čištění kelímku pro další měření. Mechanické čištění v ultrazvukové lázně nebylo účinné. Kelímek se podařilo vyčistit až po cca $\frac{1}{2}$ hod ponoření do 50 % HF. Významné teploty DTA jsou shrnutы v Tab. 44.

		OHŘEV		OCHLAZOVÁNÍ	
	cyklus	I	II	I	II
Wollastonit nástrík 400DTA	Teplota P1	1159,3	Neprojevila se	Neprojevila se	Pík se dvěma vrcholy Viz Obr. 6
	Teplota P2	1215,8			
	Počátek	1165,5			
	Vrchol píku	1181,43			
	Entalpie	4,449(endo)			
Wollastonit prostřík DTA	Teplota P1	1159,3	1219,8	1183,0	1182,8
	Teplota P2	1215,83	1320,4	1108,1	1107,9
	Počátek	1164,7	1235,3	1175,9	1180,0
	Vrchol píku	1187,6	1267,4	1146,6	1152,0
	Entalpie	5,846(endo)	2,95(endo)	-2,369(exo)	-2,411(exo)

Tabulka 43: Význačné teploty [°C] transformací nástřiku a prostříku pseudowollastonitu při ohřevu a ochlazování během prvního a druhého cyklu měření DTA.

Fázová analýza byla provedena na vzorcích výchozího prášku, prostříku, vlastního nástřiku a na vzorku prášku prošlému dvakrát teplotním cyklem měření DTA. Výchozí fáze prášku pseudowollastonitu $\alpha\text{-CaSiO}_3$ se během průletu plazmatem a v průběhu tuhnutí při tvorbě vrstvy přeměnila na amorfní fázi a $\beta\text{-CaSiO}_4$ (Larnite). Prostřík wollastonitu obsahoval fázi $\alpha\text{-CaSiO}_3$ a amorfní fázi. Během dvou cyklů DTA wollastonit transformoval za vzniku pseudowollastonitu, cyklowollastonitu a rankinitu.

Diskuse

V nastříkaném wollastonitu je přítomen vysoký obsah amorfní fáze, která při teplotě okolo 855 °C krystalizuje. Krystallizace se projevuje smrštěním o více než 5,5 %. Do této teploty neprodélavá nástřík wollastonitu žádnou transformaci. DTA ani dilatometrická měření nepotvrdila existenci nespojitosti zjištěné v Ramanově spektru a měřením tepelné kapacity při 722 °C. Další transformace v tuhému stavu prokázané během ohřevu měřením délkové roztažnosti při 1110 °C a 1176 °C nelze jednoznačně přiřadit literárním odkazům, neboť rovnovážná teplota transformace wollastonit-pseudowollastonit je cca 1125 °C. Tato teplota leží mezi oběma píky na derivaci dilatační křivky. Pravděpodobnější je přiřazení teploty transformace k vyšší z nich z důvodu možného posunu vlivem rychlosti ohřevu a vzhledem k odrazu transformace na křivce tepelného toku. Poměry při takto vysokých teplotách navíc komplikuje počínající měknutí materiálu následující za transformací při 1200 °C (např. Obr. 65).

Endotermickému ději během ohřevu na 1180 °C neodpovídá žádná transformace při ochlazování, proto se pravděpodobně odpovídající exotermický pík objevuje při ochlazování z druhého cyklu DTA. Pro vysvětlení tohoto jevu by zřejmě bylo potřeba podrobit nástřík wollastonitu difrakční analýze za zvýšených teplot. Rozdíl mezi velikostmi píků, které si podle polohy na teplotní ose odpovídají, lze vysvětlit částečným natavením a překrystallizací přímo ze vzniklé taveniny.

Fázová analýza prášku po dvou cyklech DTA prokázala přítomnost minimálně tří fází vzniklých během krystalizace (viz Obr. 69), transformace při teplotách 1100 až 1200 °C, nebo vlivem částečného natavení při teplotách okolo 1400 °C. Je však třeba podotknout, že produkty vznikající při ohřevu wollastonitu nejsou stabilizovány do nízkých teplot. Fáze nalezené ve

vzorku při pokojové teplotě tedy neodpovídají fázovému složení wollastonitu nad teplotami 1050 °C až 1100 °C.

Nástrík wollastonitu je do teplot krystalizace materiálem, který vykazuje stabilní chování. Jeho nasazení do teplot 800 °C, nebo po proběhnutí krystalizace do 1150 °C, není omezeno náhlými rozměrovými změnami.

4.2. SHRNUTÍ VÝSLEDKŮ

Plynulý ohřev materiálu nástřiků způsobil u všech zkoumaných materiálů nástřiků změny, které se při dalším ohřevu neprojevily. Kromě těchto nevratných změn byly indikovány i změny vratné, ke kterým došlo při každém ohřevu (CaTiO_3). Některé z dějů byly doprovázeny tepelnými odezvami, jiné se projevily pouze změnou délky vzorku při měření teplotní roztažnosti. Na všech materiálech probíhalo měření po sejmouti z podložky, a tak byl vyloučen její vliv na chování nástřiku během zkušebního ohřevu.

Z prvních cyklů provedených měření teplotní roztažnosti u materiálů s vysokým podilem skelné fáze ve struktuře vyplynulo, že největší smrštění vlivem krytalizace proběhlo u čediče. Toto smrštění, v rozsahu až 9 %, proběhlo při teplotách cca 750 – 800 °C na rozdíl od ostatních materiálů, u kterých krytalizace proběhla při teplotách o 150 – 250 °C vyšších. Nejmenší smrštění během krytalizace bylo naopak zaznamenáno u mullitu, který se vyznačoval také nejvyššími tepletami počátku krytalizace.

Při plynulém ohřevu Al_2O_3 a perovskitu bylo během prvního cyklu zaznamenáno smrštění, které se neprojevilo tepelnou odezvou při DTA. V případě Al_2O_3 i perovskitu se toto smrštění v druhém cyklu ohřevu již neprojevilo a dilatační křivky se bližily lineárnímu průběhu až do teplot transformace (u Al_2O_3 nebyla dosud transformace při 1365°C identifikována).

Doplňení tepelně dilatačního měření o DTA umožnilo rozlišit děje v materiálu podle tepelné odesvy. Například při prvním cyklu ohřevu nástřiku technického korundu lze díky DTA rozlišit smrštění způsobené transformací fáze $\gamma\text{-Al}_2\text{O}_3$ na $\alpha\text{-Al}_2\text{O}_3$ a smrštění způsobené slinovacími pochody. Podobně je tomu i u ostatních materiálů zkoumaných v této práci. Krytalizace materiálů na bázi silikátů se projevila na průběhu tepelného toku při DTA zpravidla ostrým píkem a současně ve stejném rozsahu teplot rychlým smrštěním. Také při změně uspořádání perovskitu byly zaznamenány odesvy jak na průběhu dilatace, tak i na křivce DTA v odpovídajících teplotních intervalech. Zmínka o spojení těchto dvou analytických metod nebyla ve studované literatuře nalezena, přitom lze s jeho pomocí získat ve značné míře ucelenější představu o tepelně indukovanych dějích v PDM (plazmově deponovaných materiálech) a nejen v nich.

S výjimkou technického korundu nebyly samonosné prvky z materiálů zkoumaných v této práci dosud běžně používané v průmyslové praxi. Stanovení koeficientů teplotní roztažnosti a jejich vývoje ať již v závislosti na teplotě nebo na pořadí cyklu ohřevu a také znalost teplot transformací v tuhé fázi a dalších teplem vyvolaných dějů v PDM umožní značně postoupit kupředu v procesu uvádění těchto materiálů do oblasti každodenního využití v technické praxi.

Z vědeckého hlediska lze spatřovat přínos této práce v otevření problematiky krytalizace ne-tradičních plazmově stříkaných materiálů, zejména silikátů. V případě nástřiku granátů vstupují do zorného úhlu studia tepelných vlastností PDM ještě další jevy, které se projevily různě velkými odesvami při termogravimetrické analýze. Pro perovskit, který si jako jediný z nových materiálů zachoval svou krytalickou strukturu i po rychlém pfrechlažení při dopadu na podložku, je také možné konstatovat, že vlastnosti nástřiku se liší v porovnání s materiélem vyrobeným běžným keramickým postupem. Změny délky vzorku probíhající v prvním cyklu ohřevu se totiž neprojevily při dalších ohřevech.

Na základní popis průběhu krytalizace amorfních nástřiků lze navázat dalšími pracemi, ve kterých bude upřesňován vlastní proces krytalizace keramických materiálů. V následném vědeckém zkoumání lze kromě krytalizace sledovat i jiné vlastnosti amorfních materiálů. Tyto vlastnosti, jako například abrazivzdornost, odolnost proti tepelným šokům, mechanické vlastnosti nástřiků i samonosných prvků nebyly u materiálů tohoto typu dosud studovány. Lze předpokládat, že se budou lišit od materiálů běžně v keramickém průmyslu používaných, většinou krytalických.

5. ZÁVĚRY

Plazmové střikání a zejména pak rychlé ochlazování deponovaného materiálu po vlastním nanesení způsobilo u nástříků obsahujících SiO_2 vznik amorfní struktury. V případě Al_2O_3 došlo během prvního ohřevu k transformaci mezi modifikacemi α a γ . V nástřiku perovskitu ke změnám v krystalografickém uspořádání nedošlo, pouze při prvním ohřevu nad 900°C se projevilo smrštění způsobené pravděpodobně slinovacími pochody, neboť nebylo indikováno DTA.

Pro zkoumané materiály byly na samonosných částech nástříků stanoveny koeficienty lineární teplotní roztažnosti. Hodnoty byly vypočteny ve teplotních intervalech do teploty krystalizace, případně transformace materiálu. Dolní teploty intervalů pro výpočet TEC byly omezeny rozsahem instalovaného termočlánku a počátečními nestabilitami měření, například u mullitu v jeho druhém cyklu ohřevu. Horní teploty pak určovaly počátky krystalizace nebo transformace zkoumaného nástříku.

Teploty počátků krystalizace případně transformací byly stanoveny jak měřením teplotní roztažnosti, tak i pomocí DTA. Dominantním tepelně zabarveným dějem pro technický korund je transformace $\alpha\text{-Al}_2\text{O}_3$ na $\gamma\text{-Al}_2\text{O}_3$. Tato transformace se zřetelně projevuje i na dilatační křivce. Plazmové nástříky cordieritu, mullitu a wollastonitu mají po nástřiku vysoký obsah amorfní fáze a při ohřevu krystalizují v krátkém teplotním intervalu. Nástříky z materiálů typu granátu a čediče krystalizují pozvolnějším způsobem s přednostním vyloučováním pravděpodobně Fe_3O_4 , jehož částice působí jako zárodky pro další krystalizaci. Perovskit vzhledem k nepřítomnosti amorfní fáze v nástřiku neprokázal krystalizační odezvu.

Dilatometrickou analýzou technického korundu bylo potvrzeno, že lineární roztažnost ve směru střikání je stejná jako v rovině nástříku. Transformace fáze $\gamma\text{-Al}_2\text{O}_3$ na $\alpha\text{-Al}_2\text{O}_3$ probíhá naopak nestejnomořně ve směru kolmém a rovnoběžném s rovinou nástříku, protože transformační smrštění v rovině nástříku je menší než ve směru střikání. Ostatní smršťovací pochody jsou obdobně v obou směrech. Měřením teplotní roztažnosti jednotlivých sekcí stopy nástříku byly potvrzeny předpoklady o rozložení obsahu $\alpha\text{-Al}_2\text{O}_3$ a tím i vlastnosti nástříku v závislosti na vzdálenosti zkoumaného vzorku od trajektorie průsečíku osy hořáku s rovinou nástříku. Porovnáním vzorků stříkaných ze dvou různých stříkacích vzdáleností byla potvrzena malá citlivost technického korundu na změnu technologických parametrů.

Odezva na krystalizaci má zpravidla podobu výrazného, úzkého a vysokého píku na křivce DTA a intenzivního smrštění v řádu několika desetin až několika % na dilatační křivce. U všech zkoumaných materiálů s podílem skelné fáze ve struktuře nástříku proběhla krystalizace v plném rozsahu již při prvním ohřevu, při dalších tepelných cyklech již nebyla krystalační odezva zaznamenána. Krystalizace mullitu a cordieritu byla zkoumána pomocí DTA při různých rychlositech ohřevu a byla potvrzena závislost nejen polohy, ale i velikosti odezvy při DTA na rychlosť ohřevu. Pro technický korund, almandin, mullit a perovskit byl navíc zkoumán vliv stříkací vzdálenosti na následné teplotní chování nástříku.

Materiál perovskit (CaTiO_3) se projevil mimořádně vysokým TEC a odolností do teplot 900 °C, při dalším ohřevu až do 1250 °C. Byly stanoveny teploty reverzibilních transformací. CaTiO_3 je materiál, který nereaguje s Al_2O_3 při teplotách do 1450 °C. Vzhledem k jeho „necitlivosti“ na technologické parametry a vysokému TEC je nadějným materiálem pro nejrůznější technické aplikace v kombinaci s ocelí, případně jinými kovovými slitinami obecně.

Všechny vzorky nástříků pro dilatační měření byly zhotoveny ze samonosných prvků sejmůtých z podložky patentovaným postupem využívajícím rozdílné tepelné roztažnosti povlaku a podložky nebo vlivem použití specifických technologických parametrů.

Při měření teplotní roztažnosti byla použita rychlosť $5 \text{ K} \cdot \text{min}^{-1}$ vzhledem k převažujícímu použití v citovaných pracích. Termickou analýzou byly zkoumány vzorky hmotnosti 30 – 100 mg při rychlostech ohřevu $2,5 - 20 \text{ K} \cdot \text{min}^{-1}$.

Analýza chování plazmově deponovaných materiálů využívající dilatometrie, DTA a termogravimetrie se plně osvědčila při zjišťování přítomnosti a polohy tepelně indukovaných dějů. Porovnání výsledků těchto metod umožnilo určit původ tepelně indukovaných dějů přesněji, než by tomu bylo při použití jednotlivých metod.

Nástřiky materiálů s vysokým podílem skelné fáze ve struktuře lze pro technické aplikace doporučit z hlediska teplotní stability pouze do teplot krystalizace, neboť objemové změny způsobené krystalizací silně mění v krátkém teplotním intervalu geometrické rozměry materiálu nástřiku.

Z hlediska tepelných dějů v plazmově deponovaných materiálech (PDM) jsou provedena měření úvodem do problematiky dosud nepoužívaných materiálů pro plazmové stříkání (čedič, granát, perovskit, wollastonit). Měření teplotně-dilatačního chování a určení tepelně indukovaných dějů v PDM tohoto typu dosud nebylo publikováno. Výsledky měření potvrzují skutečnost, že vlastnosti PDM jsou rozdílné od vlastností materiálů zhotovených postupy klasické keramické výroby. V případech již použitých PDM (Al_2O_3 , cordierit, mullit) byly ověřeny průběhy krystalizace či teplotní intervaly transformací. Průběhy krystalizace jednotlivých nástřiků mohou být využity pro další sledování pomocí teplotní RTG difrakce. Právě intervaly teplot krystalizace budou užitečné v případě dalšího podrobného zkoumání průběhu krystalizace nástřiků. Naměřené teplotní intervaly krystalizace jsou základním předpokladem pro vývoj postupů výroby částečně krystalických a amorfálních materiálů zhotovených plazmovou depozicí.

Další výzkum může být zaměřen do oblasti popisu produktů krystalizace a transformací za vysokých teplot. Pro tyto práce bude třeba využít dalších analytických technik, např. vysokoteplotní RTG difrakce. Popis struktury nástřiku po proběhnuté krystalizaci lze provést optickou, případně elektronovou mikroskopii po ohřevu nástřiku těsně nad teploty ukončení krystalizace, které byly stanoveny v této práci.

Výsledné teploty přeměn a procesy zjištěné v této práci byly využity pro upřesnění technologických parametrů plazmového stříkání. Na základě dosažených výsledků lze nyní přesněji volit přídavné materiály podle požadovaných vlastností a předvídat jejich chování při tepelné expozici. S výhodou je možno výsledků použít pro předpověď chování povlaků na kovových podložných materiálech.

Autorovy publikované práce se vztahem k tématu dizertace

1. Rohan, P., Chráska, P., Ctibor, P., Neufuss, K.: Relation between thermal expansion coefficient and porosity in thick zircon and alumina coatings, ITSC 2000, Montreal, 2000
2. Ctibor, P., Rohan, P., Neufuss, K., Kolman, B., Dubský, J., Chráska, P.: Plasma spraying of Titanates I, ITSC 2000, Montreal, 2000
3. Ctibor, P., Rohan, P., Kolman, B., Dubský, J., Chráska, P.: Plasma spraying as a technique for preparation of dielectric ceramics, Metal 2000, sborník přednášek No.514, 2000
4. Neufuss, K., Ilavský, J., Kolman, B., Dubský, J., Rohan, P., Chráska, P.: Variation of plasma spray deposits microstructure and properties formed by particles passing through different areas of plasma jet, Ceramics-Silikáty v tisku, 2000
5. Ctibor, P., Kolman, B., Rohan, P.: Chemical and Microstructural Changes in Plasma Sprayed $MgTiO_3$ - $CaTiO_3$ System During Subsequent Annealing, proceedings of the 4th European Microbeam Analysis Society Regional Workshop, Ed. By V. Starý, K. Mašek, K. Horák, publ. By FME Czech Technical university in Prague, 2000, p.198

LITERATURA

- 1 Boulos, M.I., Fauchais, P., Heberlein, J., Hrabovský, M., Pfender, E.: Thermal plasma technology, Summer school on plasma chemistry – ISPC-14 Praha, 1999
- 2 Sampson, E.R.: Cored Wire application using electric arc spray (TAFA Inc.) Proceedings of ITSC 98 Nice, France, 1998
- 3 Thorpe, M.L.: Thermal spray industry in transition, Advanced materials and processes vol.5 p.50-61, 1993
- 4 Shao Long Chen: Deposition of Alumina Coatings by Atmospheric Plasma Spraying, Thesis, Tampere University of Technology pub.127, 1993
- 5 Loch, M., Barbezat, G.: Thermal sprayed thin coatings produced by LPPS, Proc. UTSC Dusseldorf, p. 278-281, 1999
- 6 Matejka, D.-Benko, B.: Plazmové striekanie kovových a keramických práškov, ALFA Bratislava, 1988
- 7 Firemní materiály: SNMI Avignon, Francie, 1998
- 8 Neufuss, K., Ilavský, J., Kolman, B., Dubský, J., Rohan, P., Chráska, P.: Variation of plasma spray deposits microstructure and properties formed by particles passing through different areas of plasma jet, Ceramics-Silikáty v tisku, 2000
- 9 Vardelle, M.: Osobní sdělení
- 10 Ctibor, P., Kolman, B.: Splat evaluation in thermal spraying, 4th Multinational congress on electron microscopy, proceedings, 1999
- 11 Ilavský, J., Allen, J.A., Long, G.G., Krueger, S.: Influence of spray angle on the pore and crack microstructure of plasma sprayed deposits, Journal of the american ceramic society, vol. 78, 1996
- 12 Neufuss, K., Chráska, P., Kolman, B., Sampath, S., Trávníček, Z.: Properties of Plasma-Sprayed Freestanding Ceramic Parts: Journal of Thermal Spray Technology 6 (4), 1997
- 13 Gansert, R., Sampath, S., Berndt, C.C., Herman, H., Chráska, P.: Free-Standing Ceramic Forms Fabricated By Plasma Technology, Proceedings of National Thermal Spray Conference, Houston, Texas, 1995
- 14 Ambrož, O.-Kašpar, J.: Žárové nástříky a jejich průmyslové využití, SNTL, 1990
- 15 Písáčka, J.: Transmisní elektronová mikroskopie rozhraní plazmově nanesená vrstva – podložka, Doktorská disertační práce, FE ČVUT Praha, 1998
- 16 Kuncipál, J.-Pilous, V.-Dunovský, J.: Nové technologie ve svařování, SNTL, 1984
- 17 Chráska, P.-Hrabovský, M.: An Overview of Water Stabilized Plasma Guns and Their Applications, Inter. Thermal. Spray Conf. Orlando USA, 1992
- 18 Hrabovský, M., Konrád, M., Kopecký, M., Semer, V.: Processes and Properties of Electric Arc Stabilized by Water Vortex, Transactions on plasma science, vol. 25, no. 5, 1997
- 19 Gerdien, H.-Lotz, A.: Wiss. Veröffentlichungen Siemenswerk, vol.2.p.489, 1922
- 20 Maecker, H.: Ein Lichtbogen für hohe Leistungen, Z.f.Phys., vol.129, p. 108-122, 1951
- 21 Burnhorn, R.-Maecker, H.: Feldstarkemessungen an wasserstabilisierten Hochleistungsbögen, Z.f.Phys., vol 129, p. 369-3761, 1951
- 22 Veselý, V., Kugler, T.: 3rd Inter. Metal Spray Conference, Madrid, Spain, 1962
- 23 Gross, B., Grycz, B., Miklossy, K.: Plasma Technology, London Iliffe Books, Ltd., 1968
- 24 Hlaváč, J.: Základy technologie silikátů, SNTL, ALFA, Praha, p.121-123, 1988
- 25 Zhou, R.S., Snyder, R.L.: Structures and Transformation Mechanisms of the η , γ and θ Transition Aluminas, Acta crystallographica vol.47, p.617-630, 1991

- 26 Pospíšil, Z., Koller, A., kol.: Jemná keramika-úvod a základy technologie SNTL, ALFA, Praha, 1981
- 27 Kendall, K.: Influence of Powder Structure on Processing and Properties of Advanced ceramics, Powder technology vol.58(3), p.151-161, 1989
- 28 Chu, M.Y., DeJonghe, L.C., Lin, M.K.F., Lin, F.J.T.: Precoarsening to Improve Microstructure and Sintering of Powder Compacts, J. of the Am. Cer. Soc. vol.74 (11), p.2902-2911, 1991
- 29 Wu, S.J., DeJonghe, L.C., Rahaman, M.N.: Sintering of Nanophase γ -Al₂O₃ Powder, J. of the Am. Cer. Soc. vol.79 (8), p.2207-2211, 1996
- 30 McPherson, R.: On the formation of thermally sprayed alumina coatings, J. of Material Science vol. 15 (12), p.3141-3149, 1980
- 31 Wang, E., Wang, D.: Phase transition stability within ceramics, J. of Austral. Cer. Soc. vol.17, p.359-364, 1992
- 32 Ilavský, J., Neufuss, K., Chráska, P.: Influence of spraying parameters on properties of Al₂O₃ deposits, 5th conference on Aluminium Oxide, 1990
- 33 Heintze, G.N., Uematsu, S.: Preparation and structures of plasma-sprayed α - and γ -Al₂O₃ coatings, Surface and Coatings Technology, vol.50 p.213-222, 1992
- 34 Damani, R.J., Marcoczy, P.: Heat treatment induced phase and microstructural development in bulk plasma sprayed alumina, J. of the European ceram. Society, vol. 20(7), p. 867-888, 2000
- 35 Solonenko, O.P., Fedorchenko, A.I., Lyagushin, V.P., Mihalchenko, A.A., Smirnov,A.V., Chraska,P., Kolman, B: Experimental studies of Al₂O₃ plasma sprayed particles under their parametres under their parameters control, Plasma Jets VSP, Proceedings Solonenko, Fedorchenko,p. 299-310, Frunze, USSR, 1990
- 36 Němec, F.: Klíč k určování nerostů a hornin SPN Praha p.158-159, 1967
- 37 Firemní materiály: EUTIT eurobasalt, Eutit s.r.o.-slévárna taveného čediče a eucoru, 4/2000
- 38 Crook, A., Beal, R.E.: Basalt: Properties and Application in Corrosion – Erosion Problems, Material performance vol.20 (1) p.45-50, 1981
- 39 Strnad, Z.: Skelně krystalické materiály, SNTL, Praha, 1983
- 40 Wang, H.G., Zhu, Y.M., Herman, H.: Structure of plasma-sprayed oxides in the MgO-Al₂O₃-SiO₂ systém, J. of materials science, vol.24, p.4414-4418, 1989
- 41 Oprea, C., Stan, C., Rotiu, E., Popescu, C.: Non-isothermal Crystallization of Cordierite Glasses, J.of Thermal analysis and calorimetry vol.56 p.611-615, 1999
- 42 Neufuss, K., Ilavský, J., Dubský, J., Kolman, B., Chráska, P., Plasma spraying of silicates II, UTSC, Dusseldorf, 1999
- 43 Lachman, M.J., Rodney, D.B., Lewis, R.M.: Thermal Expansion of Extruded Cordierite Ceramics, Ceramic Bulletin, vol.60(2), p.202-205, 1981
- 44 Wang, H.G., Herman, H.: Thermal-expansion behavior of plasma sprayed cordierite, Materials letters vol.7(3), p.69-71, 1988
- 45 Wang, H.G., Fischman, G.S., Herman, H.: Plasma-sprayed cordierite- structure and transformations, J. of Material Science vol.24, p.811-815, 1989
- 46 Bouška, V., Kouřimský, J.: Drahé kameny kolem nás, SPN, Praha, p.78-79, 1976
- 47 Ctibor, P., Neufuss, K.: Granátové nástříky pro povrchy nástrojů, Zpravodaj ČSPU, vol.1-2, 1999
- 48 Firemní materiály: Garmica, s.r.o., Měděnec, Hornická 164, Česká rep., 1998
- 49 ÚFP AV CR: Plazmové nanášení granátu na podkladové materiály a vytváření samonosných konstrukčních prvků, Patent ÚFP AV CRPV 1169 91, 1998
- 50 Neufuss, K., Kolman, B., Chráska, P., Dubský, J.: Plasma Spraying of Silicates, proc. of the 14th ITSC, NICE, 1998

- 51 Rada, M.: Zpráva z měření: Dilatometrické veličiny a viskozita vzorků o složení
granátu typu GBK a GBM, ÚSK VŠCHT, Praha, 1997
- 52 Thieblot, L., Roux, J., Richet, P.: High-temperature thermal expansion and
decomposition of garnets, *Europ. J. of Mineralogy*, vol.10(1), p.7-15, 1998
- 53 Anovitz, L.M., Essene, E.J., Metz, G.W., Bohlen, S.R., Westrum Jr., E.F., Hemingway,
B.S.: Heat capacity and phase equilibria of almandine $Fe_3Al_2Si_2O_12$, *Geochim. Cosmochim. Acta*, vol.57, p.4191-4204, 1993
- 54 Levin, E.M., Robbins, C.R., McMurdie, H.F.: Phase diagrams for ceramists, 2nd ed.
Amer. Ceram. Soc., Columbus, Ohio, p.601, 1964
- 55 Suzuki, I., Anderson, O.L.: Elasticity and thermal expansion of a natural garnet up to
1000K, *J.of physics of the Earth*, vol.31(2), p.125-138, 1983
- 56 Angel, R.J., Prewitt, C.T.: Crystal structure of mullite – a reexamination of the average
structure, *Am. Mineralogist* vol.71 p.1476-1482, 1986
- 57 Saks, M.D., Lee, H.W., Pask, J.A.: In *Mullite and mullite matrix composites*, Ceramic
transactions, vol. 6(The American Ceramic Soc. Inc.) p.167, 1990
- 58 Schneider, H., Okada, K., Pask, J.A.: *Mullite and mullite ceramics*, Jonhn Wiley&Sons
Ltd., Chichester, p.105, 1994
- 59 Baudín, C.: Fracture mechanisms in a stoichiometric $3Al_2O_32SiO_2$ mullite, *J. of
Material Science* vol.32 p.2077-2086, 1997
- 60 Klug, F.J., Prochazka, S.: Alumina-Silica Phase Diagram in the Mullite Region,
J.Am.Ceram.Soc., vol.70 [10] p.750-759, 1987
- 61 Schneider, H., Eberhard, E.: Thermal Expansion of Mullite, *J.Am.Ceram.Soc.*,
vol.73[7] p.2073-76, 1990
- 62 Firemní materiály: <http://www.kcm.co.uk/kcmtdswf.html>, Keith Ceramic Materials
Ltd., 2000
- 63 Guse, W., Mateika, D.: Growth of Mullite Single Crystals ($2Al_2O_3.SiO_2$) by the
Czochralski Method, *J.Cryst.Growth.*, vol.22, p.234-40, 1974
- 64 Simendic, B., Rodonjic, L.: Phase transformation during the heat treatment of sol-gel
mullite, *J.of Thermal Analysis and Calorimetry*, vol.56 p.199-204, 1999
- 65 Jeng, D.Y., Rahaman, M.N.: Sintering and crystallization of mullite powder prepared
by sol-gel processing, *J. of Mat.Sci.*, vol.28, p.4904-4909, 1993
- 66 Li, D.X., Thomson, W.J.: Effects of hydrolysis on the kinetics of high-temperature
transformations in aluminosilicate gels, *J.Am.Ceram.Soc* vol.74[3] p.574-578, 1991
- 67 Taylor, A., Holland, D.: The chemical synthesis and crystallisation sequence of mullite,
J. of Non-Crystalline Solids vol.152 p.1-17, 1993
- 68 Kanzaki, S., Tabata, H.: Sintering and Mechanical Properties of Stoichiometric Mullite,
J.Am.Ceram.Soc vol.68[1] C-6-C-7, 1985
- 69 Ramaswamy, P., Seetharamu, S., Varma, K.B.R., Rao, K.J.: Thermal Shock
Characteristics of Plasma Sprayed Mullite Coatings, *J. of Thermal Spray Technology*
vol.7(4) p.497-504, 1998
- 70 Pradier, C.M., Hinnen, C., Jansson, K., Dahl, L., Flodstrom, A.: Structural and surface
characterization of perovskite-type oxides; influence of A and B substitutions upon
oxygen binding energy, *J.of Materials Science*, vol.98(33), p.3187-3191, 1998
- 71 Guyot, F., Richet, P., Courtial, Ph., Gillet, Ph.: High-Temperature Heat Capacity and
Phase Transitions of $CaTiO_3$ Perovskite, *Physics and Chemistry of Minerals*, vol.20(3),
p.141-146, 1993
- 72 Redfern, S.A.T.: High-temperature structural phase transitions in perovskite ($CaTiO_3$),
J.of physics-cond. Mater. Vol.8(43), p.8267-8275, 1996
- 73 Knight, K.S., Street, N.J., Wood, I.G.: Equation of state and structural phase transitions
in $CaTiO_3$ perovskite, *ISIS experimental report*, Rutherford Appleton Lab. Nr.7844,

Prohlášení

Byl jsem seznámen s tím, že na mou diplomovou (*bakalářskou, doktorskou*) práci se plně vztahuje zákon č. 121/2000 o právu autorském, zejména § 60 (školní dílo) a § 35 (o nevýdělečném užití díla k vnitřní potřebě školy).

Beru na vědomí, že TUL má právo na uzavření licenční smlouvy o užití mé práce a prohlašuji, že **s o u h l a s í m** s případným užitím mé práce (prodej, zapůjčení apod.).

Jsem si vědom toho, že užít své diplomové (*bakalářské, doktorské*) práce či poskytnout licenci k jejímu využití mohu jen se souhlasem TUL, která má právo ode mne požadovat přiměřený příspěvek na úhradu nákladů, vynaložených univerzitou na vytvoření díla (až do jejich skutečné výše).

Datum

15.5.2002

Podpis

R. Blahau

- 1998
- 74 Rudajevová, A.: Zpráva z měření: Teplé vlastnosti plazmově nanesených povlaků MgCaTiO₃ a CaTiO₃, MFF UK Praha, HČ MFF č. 10600 9017, 1999
- 75 Ctibor, P., Rohan, P., Kolman, B., Dubský, J., Chráška, P.: Plasma spraying as a technique for preparation of dielectric ceramics, Metal 2000, sborník přednášek No.514, 2000
- 76 Ctibor, P.: Studium struktury a vlastností plazmových nástřiků z perovskitové keramiky, Disertační práce, FJFI ČVUT Praha, 2000
- 77 Yamanaka, T., Mori, H.: The Structure and Polytype of a-CaSiO₃ (Pseudowollastonite), Acta Crystallografica, sect B: Struct.crystall. B37 p.1010-17, 1980
- 78 Wenk, H.R.: Polymorphism of Wollastonite Contributions to mineralogy and petrology, vol.22(3), p.238-247. 1969
- 79 Angel, R.J.: Structural variation in wollastonite, Mineralogical magazine, vol.49(350), p.37-48, 1985
- 80 Adamkovičová, K., Kosal, L., Proks, I.: The Heat of Fusion of CaSiO₃, Silikáty vol.24 (3) p. 193-201, 1980
- 81 Richet, P., Robie, R.A., Hemingway, B.S.: Thermodynamic properties of wollastonite, pseudowollastonite and CaSiO₃ glass and liquid, Eur. J. Mineral. Vol.3 p. 475-484, 1991
- 82 Ohashi, Y., Finger, L.W.: The role of octahedral cations in pyroxenoid crystal chemistry. I. Bustamite, wollastonite, and pectolite-chizolite-serandite series, Am. Mineralogist vol.63 p.274-288, 1978
- 83 Dipple, G.M.; Hawley, G.C.: Wollastonite, Mining engineering, 2000
- 84 Nagel, W.: Wollastonite, CIM bulletin vol.92 (1031) p.12-13, 1999
- 85 Swamy, V., Dubrovinsky, L.S., Tutti, F.: High-temperature Raman Spectra and Thermal Expansion of Wollastonite, J.of the American ceramic society vol.9 s.80 p.2237-2247, 1997
- 86 Zýka, J. a kol.: Analytická příručka, dil II, SNTL, ALFA, Praha, 1988
- 87 Krupka, K.M., Hemingway, B.S., Robie, R.A., Kerrick, D.M.: High-temperature heat capacities and derived thermofynamic properties of antophyllite, diopside, dolomite, enstatite, bronzite,talc, tremolite and wollastonite, Am. Mineral vol.70 p.261-271, 1985
- 88 Krupka, K.M., Hemingway, B.S., Robie, R.A., Kerrick, D.M., Ito, J.: Low-temperature heat capacities and derived thermodynamic properties of antophyllite, diopside, enstatite, bronzite and wollastonite, Am Mineral vol.70 p.249-260, 1985
- 89 Weston, R.M., Rogers, P.S.: Anisotropic Thermal Expansion characteristics of Wollastonite, Mineralogical magazine, vol 40, p.649-51, 1976
- 90 Charlu, T.V., Newton, R.C., Kleppa, O.J.: Enthalpy of formation of some lime silicates by high-temperature solution calorimetry, with discussion of high pressure phase equilibria, Geochim. Cosmochim. Acta vol.42 p.367-375, 1978
- 91 Kiseleva, I.A., Ogorodova, L.P., Topor, N.D.: Wollastonite-pseudowollastonite inversion, Dokl. Akad. Nauk SSSR vol. 243 p.1277-1279, 1978
- 92 Kushiro, I.: Wollastonite-pseudowollastonite inversion, Carnegie Inst. Washington Yearb. Vol 63 p.83-84, 1964
- 93 Shanker, J., Kushwah, S.S.: Analysis of thermal equation of state of silicate perovskites, Physica B vol.245 p.190-194, 1998
- 94 Abrecht, J.: Stability relations in the system CaSiO₃ – CaMnSi₂O₆ – CaFeSi₂O₆, Contributions of mineralogy and petrology vol.74 (3) p.253-260, 1980
- 95 Rohan, P., Chráška, P., Ctibor, P., Neufuss, K.: Relation between thermal expansion coefficient and porosity in thick zircon and alumina coatings, ITSC 2000, Montreal,

- 2000
96 Ctibor, P., Rohan, P., Neufuss, K., Kolman, B., Dubský, J., Chráska, P.: Plasma spraying of Titanates I, ITSC 2000, Montreal, 2000
97 Blažek, A.: Termická analýza, Praha SNTL, 1972
98 Rosický, J.: Termická analýza, MŠMT ČSR Praha, 1989
99 Rath, J., Pospíšil, Z a kol.: Jemná kramika – metodika měření a zkoušek, SNTL, ALFA Praha, 1988
100 Zýka, J. a kol.: Analytická příručka, díl I: SNTL, ALFA, Praha, p.272-323, 1988
101 Firemní materiály: SETARAM, Francie, 1992-99
102 Pluhař, J. a kol.: Nauka o materiálech, SNTL, ALFA Praha, 1989
103 Taylor, R. E.-Ho, C. Y.: Thermal expansion of solids, ASM International, 1998
104 Paleček, M. a kol.: Sklářské praktikum, SNTL Praha, 1990
105 Maca, K., Hadraba, H., Cihlář, J: Study of sintering of ceramics by means of high-temperature dilatometry, Ceramics-Silikáty 42 (4) 151-158, 1998